



การเตรียมโลหะออกไซด์โครงสร้างระดับนาโนสำหรับการ  
ประยุกต์ใช้เป็นหัววัด

โดย

ไชยยันต์ โอรส  
มดี ห่อประทุม

สนับสนุนงบประมาณโดย

มหาวิทยาลัยเทคโนโลยีราชมงคลรัตนโกสินทร์

ประจำปีงบประมาณ 2557

Synthesis and Characterize of Metal oxide Nano-  
Structure for Sensors Application

By

Chaiyan Oros

Mati Horprathum

Granted by

Rajamangala University of Technology Rattanakosin

Fiscal year 2014



## กิตติกรรมประกาศ

การทำวิจัยครั้งนี้สำเร็จลงได้ ด้วยได้รับความอนุเคราะห์และความช่วยเหลือจากบุคคลหลายท่าน โดยเฉพาะอย่างยิ่ง ผู้วิจัยขอขอบคุณ ดร.อนุรัตน์ วิสิทธิ์สรรรถ ที่ปรึกษาโครงการวิจัยนี้ ซึ่งท่านเป็นนักวิจัยประจำห้องปฏิบัติการวิจัยนาโนอิเล็กทรอนิกส์และเครื่องกลจุลภาค (Nano-Electronics and MEMs Laboratory) ศูนย์เทคโนโลยีอิเล็กทรอนิกส์และคอมพิวเตอร์แห่งชาติ ที่คอยให้คำปรึกษาและข้อเสนอแนะ เพื่อเป็นแนวทางในการแก้ไขปัญหาและข้อคิดเห็นต่างๆ ที่เป็นประโยชน์ต่องานวิจัย ผู้วิจัยขอขอบคุณ ดร.มติ ห่อประทุม นักวิจัยประจำห้องปฏิบัติการวิจัยเทคโนโลยีฟิล์มบางเชิงแสง ศูนย์เทคโนโลยีอิเล็กทรอนิกส์และคอมพิวเตอร์แห่งชาติ ที่ให้ความช่วยเหลือด้านเครื่องมือและอุปกรณ์ในการสังเคราะห์ชิ้นงาน

ผู้วิจัยขอขอบคุณมหาวิทยาลัยเทคโนโลยีราชมงคลรัตนโกสินทร์ ที่ให้การสนับสนุนทุนวิจัยจนโครงการวิจัยนี้สำเร็จลงด้วยดี

ไชยันต์ ไอร์ส

กันยายน 2557



## บทคัดย่อ

รหัสโครงการ : A17/2557

ชื่อโครงการ : การเตรียมโลหะออกไซด์โครงสร้างระดับนาโน

สำหรับการประยุกต์ใช้เป็นหัววัด

ชื่อนักวิจัย : ดร.ไชยยนต์ โอรส

ในงานวิจัยนี้ได้ทำการวิจัยเป็น 2 ส่วน โดยในส่วนแรกทำการศึกษากาการเตรียมทั้งสแตนต์ไดรอกไซด์โครงสร้างระดับนาโนด้วยเทคนิคการเคลือบหมุนต่ำโดยวิธีการเคลือบแบบบรีแอกที่พแมกนีตรอนสปัตเตอร์ริง โดยการศึกษาคุณสมบัติทางกายภาพและสมบัติการตรวจวัดก๊าซเอทานอลของฟิล์มบางทั้งสแตนต์ไดรอกไซด์ที่เตรียมโดยเงื่อนไขการเอียงมุมแผ่นรองรับที่  $0^\circ$ ,  $45^\circ$ ,  $60^\circ$ ,  $70^\circ$  และ  $85^\circ$  พบว่าโครงสร้างผลึกของฟิล์มบางทั้งสแตนต์ไดรอกไซด์แสดงโครงสร้างอัญฐานทุกมุมของการเคลือบ เมื่ออบฟิล์มบางทั้งสแตนต์ไดรอกไซด์ ด้วยอุณหภูมิ  $300^\circ\text{C}$  พบว่าฟิล์มบางทั้งสแตนต์ไดรอกไซด์ มีการจัดเรียงตัวโครงสร้างผลึกเกิดขึ้น และมีลักษณะผิวเป็นโครงสร้างผลึกรูปร่างที่เพิ่มมากขึ้นที่มุมการเคลือบเพิ่มขึ้นจาก  $0^\circ$  ถึง  $85^\circ$  โดยแสดงลักษณะผิวเป็นโครงสร้างผลึกรูปร่างที่ดีที่มุมการเคลือบ  $85^\circ$  สำหรับสมบัติการตรวจวัดก๊าซเอทานอล พบว่าฟิล์มบางทั้งสแตนต์ไดรอกไซด์เป็นการกึ่งตัวนำชนิดพี เนื่องจากมีความต้านทานเพิ่มขึ้นเมื่ออยู่ในบรรยากาศของเอทานอลซึ่งเป็นก๊าซรีดิวซ์ และความไวในการตรวจวัดก๊าซเอทานอลจะมีค่าเพิ่มขึ้นที่มุมการเคลือบเพิ่มขึ้นจาก  $0^\circ$  ถึง  $85^\circ$  โดยฟิล์มบางทั้งสแตนต์ไดรอกไซด์ที่มุมการเคลือบ  $85^\circ$  สามารถตรวจวัดก๊าซเอทานอลได้ต่ำถึง 5 ppm ที่อุณหภูมิการวัด  $200^\circ\text{C}$

ในส่วนที่ 2 ได้ทำการศึกษากาการเตรียมทินออกไซด์โครงสร้างระดับนาโนด้วยเทคนิคการเคลือบหมุนต่ำโดยวิธีการเคลือบแบบบรีแอกที่พแมกนีตรอนสปัตเตอร์ริง โดยการศึกษาคุณสมบัติทางกายภาพและสมบัติการตรวจวัดก๊าซไนโตรเจนไดออกไซด์ของฟิล์มบางทินออกไซด์ที่เตรียมโดยเงื่อนไขการเอียงมุมแผ่นรองรับ  $87^\circ$  และไม่เอียงมุมแผ่นรองรับ และอบฟิล์มที่อุณหภูมิ  $300^\circ\text{C}$  และ  $400^\circ\text{C}$  พบว่าฟิล์มบางทินออกไซด์มีโครงสร้างผลึกโครงสร้างผลึกของทินออกไซด์ เฟส tetragonal จากการวิเคราะห์สมบัตินผิว พบว่าฟิล์มบางทินออกไซด์ที่เตรียมโดยการเอียงมุมแผ่นรองรับ  $87^\circ$  แสดงลักษณะเป็นโครงผลึกรูปร่างระดับนาโน สำหรับสมบัติการตรวจวัดก๊าซไนโตรเจนไดออกไซด์ที่อุณหภูมิการตรวจวัด  $60^\circ\text{C}$   $80^\circ\text{C}$   $100^\circ\text{C}$   $150^\circ\text{C}$   $200^\circ\text{C}$  และ  $250^\circ\text{C}$  พบว่าฟิล์มบางทินออกไซด์เป็นการกึ่งตัวนำชนิดเอ็น เนื่องจากมีความต้านทานเพิ่มขึ้นเมื่ออยู่ในบรรยากาศของก๊าซไนโตรเจนไดออกไซด์ซึ่งเป็นก๊าซออกซิไดซ์ และฟิล์มบางทินออกไซด์โครงสร้างแบบแท่งนาโนสามารถตรวจวัดก๊าซ

ไนโตรเจนไดออกไซด์ได้ดีกว่าฟิล์มบางทินออกไซด์ โดยมีการตอบสนองต่อก๊าซไนโตรเจนไดออกไซด์  
สูงสุดที่อุณหภูมิตรวจวัด 150°C และสามารถตรวจวัดก๊าซไนโตรเจนไดออกไซด์ได้ต่ำถึง 0.1 ppm  
รวมทั้งมีค่าความไวในการตรวจวัดประมาณ 5.9 นาที่ และช่วงเวลาดำเนินตัวประมาณ 2.6 นาที่

E-mail Address : [Chaiyan.Oro@rmutr.ac.th](mailto:Chaiyan.Oro@rmutr.ac.th)

ระยะเวลาโครงการ : 1 ตุลาคม 2556 – 30 กันยายน 2557



## Abstract

Code of project : A17/2557

Project name : Synthesis and Characterize of Metal oxide Nano-Structure for Sensors

### Application

Researcher name : Chaiyan Oros, Ph.D.

In this research are separated into two parts. In first part, we report the fabrication of tungsten trioxide ( $\text{WO}_3$ ) by glancing angle deposition (GLAD) technique with DC magnetron sputtering system, while the substrate was tilted at  $0^\circ$ ,  $45^\circ$ ,  $60^\circ$ ,  $70^\circ$  and  $85^\circ$  with respect to the vapor incident flux (the vertical axis) and rotated at a speed of 1.6 rpm and study of crystal structure, morphology and tested toward ethanol gas sensing. Characterization results showed that the as-deposited structures exhibited amorphous phase and crystallinity was improved after annealing at  $300^\circ\text{C}$ . From morphological characterization,  $\text{WO}_3$  thin films prepared with the substrate tilted at  $85^\circ$  comprise isolated good columnar nanorod structures. The gas-sensing results indicated that  $\text{WO}_3$  thin films exhibited p-type conductivity with increased resistance when exposed to ethanol, which was reducing gas. The ethanol sensing of  $\text{WO}_3$  thin films was increased with the substrate tilted from  $0^\circ$  to  $85^\circ$ . In addition,  $\text{WO}_3$  thin films were capable of detecting ethanol gas at concentrations lower than 5 ppm at operating temperature  $200^\circ\text{C}$ .

In the second part, we report the fabrication of tin oxide ( $\text{SnO}_2$ ) by glancing angle deposition (GLAD) technique with DC magnetron sputtering system, while the substrate was tilted at  $0^\circ$  and  $85^\circ$  with respect to the vapor incident flux (the vertical axis) and annealed  $\text{SnO}_2$  thin films at  $300^\circ\text{C}$  and  $400^\circ\text{C}$ . Then, study of crystal structure, morphology and tested toward nitrogen dioxide ( $\text{NO}_2$ ) gas sensing. Characterization results showed that the structure of tin oxide thin films exhibited tetragonal phase and crystallinity was improved after annealing at 300 and  $400^\circ\text{C}$ . From morphological characterization, tin oxide thin films prepared with the substrate tilted at  $87^\circ$  comprise isolated columnar nanorod structures. The gas-sensing results indicated that nanorod structure provides significant improvement on  $\text{NO}_2$  response

at operating temperature 60°C, 80°C, 100°C, 150°C, 200°C and 250°C. As a result, tin oxide thin films exhibited n-type conductivity with increased resistance when exposed to nitrogen dioxide, which was oxidize gas. tin oxide nanorods exhibited a high NO<sub>2</sub> response at the optimal operating temperature of 150°C. The tin oxide nanorods were capable of detecting nitrogen dioxide gas at concentrations lower than 0.1 ppm at operating temperature 150 °C. In addition, tin oxide nanorods exhibit relatively fair response time of ~5.9 min and recovery time of ~2.6 min.

E-mail Address : [Chaiyan.Oro@rmutr.ac.th](mailto:Chaiyan.Oro@rmutr.ac.th)

Period of project : 1 October 2013 – 30 September 2014



## สารบัญ

	หน้า
กิตติกรรมประกาศ	ก
บทคัดย่อภาษาไทย	ข
บทคัดย่อภาษาอังกฤษ	ง
สารบัญ	ฉ
สารบัญตาราง	ณ
สารบัญภาพ	ญ
บทที่	
1 บทนำ	1
บทนำ	1
หลักการและเหตุผล	3
วัตถุประสงค์ของโครงการ	4
คำถามการวิจัย	4
นิยามศัพท์เฉพาะ	4
ขอบเขตการวิจัย	4
ผลการวิจัยที่คาดว่าจะได้รับ	5
ประโยชน์ที่คาดว่าจะได้รับจากโครงการ	5
แนวทางในการนำผลการวิจัยไปใช้ประโยชน์	5
2 วรรณกรรมและงานวิจัยที่เกี่ยวข้อง	6
หลักการตรวจจับทางเคมีของสารกึ่งตัวนำ	6



## สารบัญ (ต่อ)

บทที่	หน้า
สถานะพื้นผิว (Surface State) ในการตรวจจับทางเคมี	7
การดูดซับออกซิเจน	13
ผลจากขอบเกรน (Grain boundary effect)	14
การเคลือบฟิล์มภายใต้สภาวะสุญญากาศ	16
การเคลือบฟิล์มบางด้วยวิธีสปัตเตอริง	16
อันตรกิริยาระหว่างไอออนและผิวเป้าสารเคลือบ	17
กระบวนการโกลว์ดีสชาร์จ (Glow Discharge)	18
ระบบการเคลือบฟิล์มแบบ ดีซี แมกนีตรอนสปัตเตอริง	20
กระบวนการเคลือบโดยไอเชิงฟิลิกส์ด้วยเทคนิคเอียงมุมและหมุนแผ่นรองรับ	23
งานวิจัยที่เกี่ยวข้อง	25
<b>3 วิธีดำเนินการวิจัย</b>	27
วิธีดำเนินการวิจัย	27
<b>4 ผลการดำเนินการวิจัย</b>	30
การประดิษฐ์ Cr-Au Electrode สำหรับใช้เป็นขั้วไฟฟ้าในการตรวจวัดก๊าซด้วยเทคนิคการเคลือบแบบแมกนีตรอนสปัตเตอริง	30
ผลการศึกษาสมบัติทางกายภาพและสมบัติการตรวจวัดก๊าซของทั้งสแตนไดรออกไซด์โครงสร้างระดับนาโนด้วยเทคนิคการเคลือบมุมต่ำโดยวิธีการเคลือบแบบรีแอคทีฟแมกนีตรอนสปัตเตอริง	31
ผลการศึกษาสมบัติทางกายภาพและสมบัติการตรวจวัดก๊าซของทินออกไซด์โครงสร้างระดับนาโนด้วยเทคนิคการเคลือบมุมต่ำโดยวิธีการเคลือบแบบรีแอคทีฟแมกนีตรอนสปัตเตอริง	36

## สารบัญ (ต่อ)

บทที่		หน้า
5	สรุปผลการวิจัย	47
	สรุปผลการศึกษาสมบัติทางกายภาพและสมบัติการตรวจวัดก๊าซของ ทั้งสแตนไดรออกไซด์โครงสร้างระดับนาโนด้วยเทคนิคการเคลือบมุ่มต่ำ โดยวิธีการเคลือบแบบรีแอคทีฟแมกนีตรอนสปัตเตอริง	47
	สรุปผลการศึกษาสมบัติทางกายภาพและสมบัติการตรวจวัดก๊าซของทิน ออกไซด์โครงสร้างระดับนาโนด้วยด้วยเทคนิคการเคลือบมุ่มต่ำโดยวิธีการ เคลือบแบบรีแอคทีฟแมกนีตรอนสปัตเตอริง	48
	บรรณานุกรม	51
	ประวัติผู้วิจัย	53



## สารบัญตาราง

ตารางที่		หน้า
1.1	การเปรียบเทียบสมบัติหัววัดก๊าซชนิดต่างๆ	2
1.2	การเปรียบเทียบหัววัดก๊าซประเภทเซรามิก ฟิล์มหนา และฟิล์มบาง	3
3.1	เงื่อนไขการเคลือบ Cr-Au Electrode	27
3.2	เงื่อนไขการเคลือบฟิล์มบางทั้งสแตนออกไซด์	28
3.3	เงื่อนไขการเคลือบฟิล์มบางทินออกไซด์	29



## สารบัญภาพประกอบ

ภาพที่		หน้า
2.1	แบบจำลองการเกิดประจุที่ผิวของสารกึ่งตัวนำ อะตอมผู้ให้ (D) และอะตอมผู้รับ (A) สถานะผิวจะแสดงที่ความหนาแน่นของระดับพลังงาน N(E)	9
2.2	ลักษณะแบบจำลองแถบพลังงาน Double layer ชนิดต่างๆ	12
2.3	โครงสร้างและแบบจำลองของสารกึ่งตัวนำ (กำแพงศักย์ที่เกิดจากการดูดซับออกซิเจนที่ผิว) (ก) แบบจำลองทางฟิสิกส์ (ข) แบบจำลองแถบพลังงาน	15
2.4	พลังงานศักย์ที่ทางเดินกระแส (Current path) ของสารกึ่งตัวนำไททาเนียมได-ออกไซด์ เมื่อความยาวของเส้นผ่านศูนย์กลางจะน้อยกว่า Debye length EF คือระดับพลังงานเฟอร์มิ EC คือระดับพลังงานต่ำสุดของแถบความนำในชั้นปลอดประจุพาหะ Es คือกำแพงศักย์	15
2.5	อันตรกิริยาระหว่างไอออนและเป้าสารเคลือบ	18
2.6	ลักษณะการโค้วดิสซาร์ระหว่างขั้วอิเล็กโทรด	20
2.7	ระบบการเคลือบฟิล์มแบบ ดีซี สปีดเตอริง	21
2.8	การเคลื่อนที่ของอิเล็กตรอนในสนามแม่เหล็ก	22
2.9	การจัดสนามแม่เหล็กและแนวการจัดเป้าสารเคลือบในระบบเคลือบฟิล์มพลาสมาแม่กนีตรอนสปีดเตอริง	23
2.10	การเคลือบฟิล์มบางด้วยเทคนิคสปีดเตอริง (a) แบบปกติ และ (b) Oblique angle deposition	24
2.11	การเกิดโครงสร้างแท่งนาโนแบบเอียงด้วยเทคนิค Oblique angle deposition	24
2.12	(a) การเคลือบฟิล์มบางด้วยเทคนิคสปีดเตอ และ (b) การเกิดโครงสร้างแท่งนาโนแบบเอียงด้วยเทคนิค glancing angle deposition	25

## สารบัญภาพประกอบ (ต่อ)

ภาพที่		หน้า
4.1	แผนภาพไดอะแกรมหัววัดก๊าซ	30
4.2	แผนภาพการเลี้ยวเบนรังสีเอ็กซ์ของฟิล์มบางทั้งสแตนไดรออกไซด์ที่มุมการเคลือบ $0^{\circ}$ , $45^{\circ}$ , $60^{\circ}$ , $70^{\circ}$ และ $85^{\circ}$	32
4.3	แผนภาพการเลี้ยวเบนรังสีเอ็กซ์ของฟิล์มบางทั้งสแตนไดรออกไซด์ที่มุมการเคลือบ $0^{\circ}$ , $45^{\circ}$ , $60^{\circ}$ , $70^{\circ}$ และ $85^{\circ}$ ที่อบด้วยอุณหภูมิ $300^{\circ}\text{C}$	32
4.4	แผนภาพพื้นผิวของฟิล์มบางทั้งสแตนไดรออกไซด์ที่มุมการเคลือบ $0^{\circ}$ , $45^{\circ}$ , $60^{\circ}$ , $70^{\circ}$ และ $85^{\circ}$	33
4.5	แผนภาพความต้านทานของฟิล์มบางทั้งสแตนไดรออกไซด์โครงสร้างแบบแท่งสำหรับการตรวจวัดก๊าซเอทานอลที่อุณหภูมิ $200^{\circ}\text{C}$	34
4.6	ความไวในการตรวจวัดก๊าซเอทานอลของฟิล์มบางทั้งสแตนไดรออกไซด์โครงสร้างแบบแท่งกับปริมาณก๊าซเอทานอลที่อุณหภูมิ $200^{\circ}\text{C}$	34
4.7	แผนภาพพื้นผิวของฟิล์มบางทั้งสแตนไดรออกไซด์ที่มุมการเคลือบ $85^{\circ}$ และอัตราการหมุน $1.6\text{ rpm}$ , $10\text{ rpm}$ , $20\text{ rpm}$ และ $30\text{ rpm}$	35
4.8	แผนภาพแสดง average diameter ของโครงสร้างรูปร่างของฟิล์มบางทั้งสแตนไดรออกไซด์ที่มุมการเคลือบ $85^{\circ}$ และอัตราการหมุน $1.6\text{ rpm}$ , $10\text{ rpm}$ , $20\text{ rpm}$ และ $30\text{ rpm}$	36
4.9	แผนภาพการเลี้ยวเบนรังสีเอ็กซ์ของฟิล์มบางทินออกไซด์ที่เตรียมด้วยวิธีการเคลือบแบบรีแอคทีฟแมกนีตรอนสปีดเตอริง	37
4.10	แผนภาพการเลี้ยวเบนรังสีเอ็กซ์ของฟิล์มบางทินออกไซด์ที่เตรียมด้วยเทคนิคการเคลือบมุ่มต่ำโดยวิธีการเคลือบแบบรีแอคทีฟแมกนีตรอนสปีดเตอริง	38
4.11	แผนภาพทินออกไซด์ที่เตรียมด้วยวิธีการเคลือบแบบรีแอคทีฟแมกนีตรอนสปีดเตอริงและอบด้วยอุณหภูมิ $300^{\circ}\text{C}$ และ $400^{\circ}\text{C}$	39
4.12	แผนภาพทินออกไซด์ที่เตรียมด้วยเทคนิคการเคลือบมุ่มต่ำโดยวิธีการเคลือบแบบรีแอคทีฟแมกนีตรอนสปีดเตอริงและอบด้วยอุณหภูมิ $300^{\circ}\text{C}$ และ $400^{\circ}\text{C}$	39

## สารบัญภาพประกอบ (ต่อ)

ภาพที่		หน้า
4.13	แผนภาพความต้านทานของฟิล์มบางทินออกไซด์และฟิล์มบางทินออกไซด์ โครงสร้างแบบแท่งสำหรับการตรวจวัดก๊าซไนโตรเจนไดออกไซด์ที่อุณหภูมิ 60°C	41
4.14	แผนภาพความต้านทานของฟิล์มบางทินออกไซด์และฟิล์มบางทินออกไซด์ โครงสร้างแบบแท่งสำหรับการตรวจวัดก๊าซไนโตรเจนไดออกไซด์ที่อุณหภูมิ 80°C	41
4.15	แผนภาพความต้านทานของฟิล์มบางทินออกไซด์และฟิล์มบางทินออกไซด์ โครงสร้างแบบแท่งสำหรับการตรวจวัดก๊าซไนโตรเจนไดออกไซด์ที่อุณหภูมิ 100°C	42
4.16	แผนภาพความต้านทานของฟิล์มบางทินออกไซด์และฟิล์มบางทินออกไซด์ โครงสร้างแบบแท่งสำหรับการตรวจวัดก๊าซไนโตรเจนไดออกไซด์ที่อุณหภูมิ 150°C	42
4.17	แผนภาพความต้านทานของฟิล์มบางทินออกไซด์และฟิล์มบางทินออกไซด์ โครงสร้างแบบแท่งสำหรับการตรวจวัดก๊าซไนโตรเจนไดออกไซด์ที่อุณหภูมิ 200°C	43
4.18	แผนภาพความต้านทานของฟิล์มบางทินออกไซด์และฟิล์มบางทินออกไซด์ โครงสร้างแบบแท่งสำหรับการตรวจวัดก๊าซไนโตรเจนไดออกไซด์ที่อุณหภูมิ 250°C	43
4.19	แผนภาพการตอบสนองต่อก๊าซไนโตรเจนไดออกไซด์ของฟิล์มบางทิน ออกไซด์และฟิล์มบางทินออกไซด์โครงสร้างแบบแท่งที่อุณหภูมิ 150°C	44
4.20	(a) แผนภาพการตอบสนองต่อก๊าซไนโตรเจนไดออกไซด์ที่ปริมาณ 0.1 – 5 ppm ของฟิล์มบางทินออกไซด์และฟิล์มบางทินออกไซด์โครงสร้างแบบ แท่งที่อุณหภูมิ 150°C (b) แผนภาพความไวในการตอบสนองต่อก๊าซ ไนโตรเจนไดออกไซด์ของฟิล์มบางทินออกไซด์และฟิล์มบางทินออกไซด์ โครงสร้างแบบแท่งที่อุณหภูมิ 150°C (c) แผนภาพช่วงเวลาคืนกลับการ ตอบสนองต่อก๊าซไนโตรเจนไดออกไซด์ของฟิล์มบางทินออกไซด์และฟิล์ม บางทินออกไซด์โครงสร้างแบบแท่งที่อุณหภูมิ 150°C	46

## บทที่ 1

### บทนำ

#### บทนำ

ปัจจุบันปัญหาทางด้านมลภาวะสิ่งแวดล้อมทางอากาศเป็นปัญหาที่สำคัญมากทั้งภายในและต่างประเทศ โดยต้นเหตุของปัญหาส่วนใหญ่เกิดจากกระบวนการเผาไหม้ที่มาจากโรงงานอุตสาหกรรมและยานยนต์ ทำให้เกิดก๊าซจำพวกคาร์บอนไดออกไซด์ ( $\text{CO}_2$ ) คาร์บอนมอนอกไซด์ ( $\text{CO}$ ) ไนโตรเจนออกไซด์ ( $\text{NO}_x$ ) และอื่นๆ อุปกรณ์ที่ใช้สำหรับตรวจจับก๊าซดังกล่าวที่ใช้ในปัจจุบันจึงมีหลายชนิดและได้มีการประดิษฐ์และผลิตออกมาในรูปแบบต่างๆ เช่น หัววัดก๊าซแบบไฟเบอร์ออปติก (Fiber Optic Sensors) หัววัดก๊าซแบบเพียโซอิเล็กทริก (Piezoelectric Sensors) หัววัดก๊าซแบบ SAW (Surface Acoustic Wave Sensors) เป็นต้น แต่ที่นิยมใช้คือ หัววัดก๊าซที่ทำจากสารกึ่งตัวนำ โดยเฉพาะจากสารกึ่งตัวนำชนิดเอ็น เช่น ดีบุกออกไซด์ ( $\text{SnO}_2$ ) ซิงค์ออกไซด์ ( $\text{ZnO}_2$ ) ทังสเตนออกไซด์ ( $\text{WO}_3$ ) ไททาเนียมออกไซด์ ( $\text{TiO}_2$ ) และโมลิบดีนัมไตรออกไซด์ ( $\text{MoO}_3$ ) นอกจากนี้ยังได้มีการนำหัววัดก๊าซหรือก๊าซเซนเซอร์ (Gas Sensors) ไปใช้งานในด้านอื่น ๆ อีก เช่น หัววัดก๊าซสำหรับวัดการเผาไหม้ในสถานะไร้ออกซิเจน หัววัดก๊าซแอลกอฮอล์ในปอดสำหรับผู้ขับขี่ยานยนต์ และงานอุตสาหกรรมอีกมากมาย เช่น อุตสาหกรรมน้ำหอม อุตสาหกรรมอาหาร งานทางด้านทางการแพทย์และการประยุกต์ใช้ในบ้านเรือน

ปัจจุบันก๊าซเซนเซอร์แบบสารกึ่งตัวนำ (Semiconductor Gas Sensors) เป็นก๊าซเซนเซอร์ที่กำลังได้รับความสนใจเป็นอย่างมาก จะเห็นได้จากการเปรียบเทียบสมบัติในข้อดีดังตารางที่ 1.1 ซึ่งพบว่า ก๊าซเซนเซอร์แบบสารกึ่งตัวนำจะมีข้อดีอยู่หลายข้อยกเว้น การใช้พลังงานมาก กล่าวคือ โดยส่วนมากก๊าซเซนเซอร์จะตอบสนองต่อก๊าซทดสอบที่อุณหภูมิสูง (High Operating Temperature) จึงต้องมีการให้อุณหภูมิแก่เซนเซอร์ในขณะที่ตรวจจับก๊าซ

ตารางที่ 1.1 การเปรียบเทียบสมบัติหัววัดก๊าซชนิดต่างๆ

Name	Sensor structure	Sensitivity	Selectivity	Stability	Cost	Power consumption
Catalytic gas sensor	O	O	X	Δ	Δ	X
Semiconductor gas sensor	O	O	Δ	Δ	O	X
Electrochemical gas sensor	Δ	Δ	O	Δ	Δ	Δ
Gas FET	Δ	Δ	Δ	Δ	O	Δ
QCM & SAW gas sensor	O	O	X	X	Δ	O
Optical gas sensor	X	O	O	Δ	X	Δ

O:good , Δ:fair and X:poor

อย่างไรก็ตาม ด้วยข้อดีหลายประการยังทำให้ผู้วิจัยหลายกลุ่ม สนใจที่จะพัฒนาก๊าซเซนเซอร์ชนิดสารกึ่งตัวนำให้ดีขึ้นโดยการค้นหาวสดุ วิธีการและเงื่อนไขในการผลิตเซนเซอร์ ก๊าซเซนเซอร์แบบสารกึ่งตัวนำนั้น เป็นก๊าซเซนเซอร์ที่อาศัยประโยชน์จากลักษณะสมบัติของสารกึ่งตัวนำ กล่าวคือเมื่อมีโมเลกุลของก๊าซมาดูดซับ (Adsorb) ที่ผิวของสารกึ่งตัวนำจะทำให้เกิดการถ่ายเทอิเล็กตรอนระหว่างโมเลกุลของก๊าซกับสารกึ่งตัวนำขึ้น ซึ่งมีผลทำให้ความต้านทานไฟฟ้าของสารกึ่งตัวนำเปลี่ยนไป ดังนั้น โดยการวัดการเปลี่ยนแปลงความต้านทานของสารกึ่งตัวนำ จะทำให้เราทราบความเข้มข้นของก๊าซได้ ลักษณะการนำไฟฟ้าที่เกิดขึ้นนั้นสามารถแบ่งออกได้เป็น 2 แบบคือ การเปลี่ยนแปลงการนำไฟฟ้าที่ผิว และการเปลี่ยนแปลงการนำไฟฟ้าในบัลค์ (Bulk) แบบแรกนั้นส่วนใหญ่จะมีลักษณะเป็นฟิล์มบางหรือฟิล์มหนา (Thin or Thick films) ส่วนแบบหลังนั้นจะมีความหนามากโดยมีลักษณะเป็นก้อนเซรามิก (Sintered Block) กรณีฟิล์มบางก๊าซเซนเซอร์แบบสารกึ่งตัวนำ ปัจจุบันกำลังได้รับความสนใจมาก เพราะคุณสมบัติของมันมีประโยชน์หลายประการเมื่อเทียบกับ แบบฟิล์มหนาและเซรามิก เช่น การควบคุมตัวแปรในกระบวนการผลิตง่าย ความเร็วในการตอบสนอง ใช้พลังงานต่ำและต้นทุนในการผลิตต่ำ เป็นต้น แต่ถ้าดูจากตารางที่ 1.2 จะพบว่าข้อเสียเด่นชัดอยู่ประการหนึ่ง ก็คือ ความไวในการตรวจจับ (Sensitivity) ต่ำ ดังนั้นปัจจุบันจึงมีความพยายามพัฒนาโครงสร้างทางกายภาพของฟิล์มบางเพื่อให้ก๊าซเซนเซอร์แบบฟิล์มบางมีคุณสมบัติดีขึ้น



ตารางที่ 1.2 การเปรียบเทียบหัววัดก๊าซประเภทเซรามิก ฟิล์มหนา และฟิล์มบาง

Characteristics	Sintered	Thick films	Thin films
Manufacturing process	Δ	Δ	O
Reproducibility	X	Δ	O
Microelectronics compatibility	X	Δ	O
Sensitivity	O	Δ	X
Power consumption	Δ	Δ	O
Fast response	X	Δ	O
cost	Δ	Δ	O

O:good , Δ:fair and X:poor

#### หลักการและเหตุผล

ปัจจุบันประเทศไทยมีการนำเข้าหัววัดเซ็นเซอร์ชนิดต่างๆ เข้ามามากมายปีละหลายร้อยล้านบาท ไม่ว่าจะเป็นเซ็นเซอร์ที่ใช้ในโรงงานอุตสาหกรรมหรือตามบ้านเรือน เนื่องจากยังไม่มีงานวิจัยดังกล่าวที่สามารถนำไปผลิตเชิงพาณิชย์ในราคาถูก ด้วยเทคโนโลยีระบบเครื่องกลไฟฟ้าจุลภาค (Micro electromechanical systems: MEMS) จะช่วยให้เราสามารถสร้างเซ็นเซอร์ขนาดเล็กและมีราคาถูก สามารถนำไปใช้ทดแทนเซ็นเซอร์ต่างๆ ที่จะต้องนำเข้า จึงเกิดโครงการนี้ขึ้นเพื่อที่จะเน้นการผลิตต้นแบบเชิงพาณิชย์อุปกรณ์ประเภทเซ็นเซอร์ขึ้นใช้เองภายในประเทศ เช่น Gas sensor array ขนาดเล็กสำหรับตรวจวัด Carbonmonoxide (CO), Nitrus oxide (NOx), landfilled gases เป็นต้น และสามารถถ่ายทอดองค์ความรู้ได้อย่างมีประสิทธิภาพ

นาโนเทคโนโลยีเป็นศาสตร์เกี่ยวกับการสร้างสิ่งประดิษฐ์ที่มีขนาดเล็กมากในระดับนาโนเมตร หรือในระดับเดียวกับขนาดโมเลกุลนั่นเอง การสร้างสิ่งประดิษฐ์ที่มีขนาดเล็กมากนี้มีประโยชน์ อยู่มากมายทั้งในด้านเทคโนโลยีวัสดุ (nanomaterials) อิเล็กทรอนิกส์ (nanoelectronics) และชีวภาพ (nanobiotechnology) เทคโนโลยีด้านวัสดุนาโนเป็นเทคโนโลยีพื้นฐานที่สำคัญที่จะรองรับนาโนเทคโนโลยีด้านอื่นๆ วัสดุที่มีโครงสร้างแบบนาโนมีอยู่หลายอย่าง เช่น ผงขนาดนาโน(nano-powders) ท่อขนาดนาโน(nanotubes) และโครงสร้างอื่นขนาดนาโน เช่น nanofibre nanorod nanowires เป็นต้น วัสดุเหล่านี้เป็นวัสดุที่มีประโยชน์มากต่อ เทคโนโลยีก๊าซเซ็นเซอร์ เนื่องจากคุณสมบัติอัตราส่วนของพื้นที่ผิวต่อปริมาตรสูง (high surface to volume ratio) ซึ่งคุณสมบัตินี้จะ

ทำให้เราได้วัสดุที่มีความไวในการตรวจจับก๊าซสูงเพราะการเพิ่มพื้นที่ผิวของวัสดุจะทำให้ความสามารถในการตรวจจับโมเลกุลของก๊าซเป็นไปได้ง่ายขึ้น

โครงการนี้จะเน้นเน้นการพัฒนาเทคโนโลยี และประยุกต์ใช้ในการสร้างเซ็นเซอร์ชนิดใหม่ๆ รุนุ่มๆ ที่มีความไวสูงขึ้นโดยอาศัยนาโนเทคโนโลยี เช่น โครงสร้างระดับนาโนเมตรของทังสเตนออกไซด์ ( $WO_3$ ) และ ทินออกไซด์ ( $SnO_2$ ) โดยการเตรียมวิธี Chemical vapor deposition และ Physical vapor deposition เป็นพื้นฐานสำหรับช่วยเพิ่มการดูดซับ (adsorption) ซึ่งจะทำให้ Sensor มีความไว (Sensitivity) สูงขึ้นกว่าเดิม

### วัตถุประสงค์ของโครงการ

1. เพื่อพัฒนาและประยุกต์ใช้นาโนเทคโนโลยีเพื่อการเพิ่มประสิทธิภาพ ความไวสำหรับอุปกรณ์ เซนเซอร์ขนาดเล็ก โดยใช้นาโนเทคโนโลยีคือ โครงสร้างระดับนาโนของทังสเตนออกไซด์ และทินออกไซด์ เป็นพื้นฐาน ร่วมกับเทคโนโลยีฟิล์มบาง และเทคโนโลยีระบบเครื่องกลไฟฟ้าจุลภาค (MEMS)

2. เพื่อสร้างบุคลากร และนักวิจัย ที่เชี่ยวชาญด้านนาโนเทคโนโลยีและเซนเซอร์ และวัสดุอื่น ๆ เพื่อการพึ่งพาตัวเองในระยะยาวต่อไป

### คำถามการวิจัย

การหาตัวแปรที่เหมาะสมสำหรับการสังเคราะห์ทังสเตนออกไซด์และทินออกไซด์โครงสร้างระดับนาโนด้วยวิธีการเคลือบแบบรีแอคทีฟแมกนีตรอนสเปตเตอริง

การทดสอบหาความสัมพันธ์ระหว่างโครงสร้างของทังสเตนออกไซด์และทินออกไซด์ โครงสร้างระดับนาโนกับคุณสมบัติการตรวจวัดก๊าซ

### นิยามศัพท์เฉพาะ

ทังสเตนออกไซด์, ทินออกไซด์, แมกนีตรอนสเปตเตอริง, การตรวจวัดก๊าซ

### ขอบเขตของการวิจัย

1. ศึกษาเงื่อนไขการสังเคราะห์  $WO_3$  หรือ  $SnO_2$  nanostructures โดยวิธี PVD และ CVD
2. สังเคราะห์  $WO_3$  หรือ  $SnO_2$  nanostructures ลงบน Si-wafer และ Cr-Au electrode
3. นำ  $WO_3$  หรือ  $SnO_2$  nanostructures ที่ได้จากการเตรียมมาวิเคราะห์สมบัติต่าง ๆ

ดังนี้ คือ

- สมบัติเชิงโครงสร้างด้วยเครื่อง XRD, AFM และ SEM
- สมบัติการตรวจวัดก๊าซ ( $NO_2$ , Ethanol)

#### 4. สรุปผลการวิจัย

##### ผลการวิจัยที่คาดว่าจะได้รับ

มีความรู้ความเข้าใจถึงอิทธิพลของเงื่อนไขการสร้างโมลิตินีมไตรออกไซด์และทินออกไซด์  
โครงสร้างระดับนาโนสำหรับเพิ่มประสิทธิภาพการตรวจวัดก๊าซ

มีความรู้ ทักษะ และความสามารถทางของการเคลือบฟิล์มด้วยเทคนิคสเปตเตอร์ริง

##### ประโยชน์ที่คาดว่าจะได้รับจากโครงการ

สามารถเพิ่มประสิทธิภาพของคุณสมบัติการตรวจวัดก๊าซของทั้งสแตนออกไซด์และทินออกไซด์  
โครงสร้างระดับนาโนให้ดียิ่งขึ้น

##### แนวทางในการนำผลการวิจัยไปใช้ประโยชน์

เผยแพร่ผลงานวิจัยในการตีพิมพ์ในวารสารนานาชาติแก่ผู้ที่สนใจ



## บทที่ 2

### วรรณกรรมและงานวิจัยที่เกี่ยวข้อง

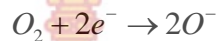
อุปกรณ์ที่ใช้สำหรับตรวจจับก๊าซดังกล่าวที่ใช้ในปัจจุบันมีหลายชนิดและได้มีการประดิษฐ์และผลิตออกมาในรูปแบบต่างๆ เช่น หัววัดก๊าซแบบไฟเบอร์ออปติก (Fiber Optic Sensors) หัววัดก๊าซแบบเพียโซอิเล็กทริก (Piezoelectric Sensors) หัววัดก๊าซแบบ SAW (Surface Acoustic Wave Sensors) เป็นต้น แต่ที่นิยมใช้คือ หัววัดก๊าซที่ทำจากสารกึ่งตัวนำ โดยเฉพาะจากสารกึ่งตัวนำชนิดเอ็น เช่น ดีบุกออกไซด์ ( $\text{SnO}_2$ ) ซิงค์ออกไซด์ ( $\text{ZnO}_2$ ) ทังสเตนออกไซด์ ( $\text{WO}_3$ ) และโมลิบดีนัมไตรออกไซด์ ( $\text{MoO}_3$ )

ก๊าซเซนเซอร์แบบสารกึ่งตัวนำนั้น เป็นก๊าซเซนเซอร์ที่อาศัยประโยชน์จากลักษณะสมบัติของสารกึ่งตัวนำ กล่าวคือเมื่อมีโมเลกุลของก๊าซมาดูดซับ (Adsorb) ที่ผิวของสารกึ่งตัวนำจะทำให้เกิดการถ่ายเทอิเล็กตรอนระหว่างโมเลกุลของก๊าซกับสารกึ่งตัวนำขึ้น ซึ่งมีผลทำให้ความต้านทานไฟฟ้าของสารกึ่งตัวนำเปลี่ยนไป ดังนั้น โดยการวัดการเปลี่ยนแปลงความต้านทานของสารกึ่งตัวนำ จะทำให้เราทราบความเข้มข้นของก๊าซได้ ซึ่งก๊าซเซนเซอร์แบบสารกึ่งตัวนำได้มีการพัฒนาอย่างต่อเนื่องเพื่อเพิ่มประสิทธิภาพ ความไวของอุปกรณ์ก๊าซเซนเซอร์ จึงมีความพยายามจะหาวัสดุเข้ามาโด๊ป (Doping Material) เพื่อให้ก๊าซเซนเซอร์มีคุณสมบัติดีขึ้น ต่อมาได้มีการศึกษาในด้านวัสดุนาโน เทคโนโลยีกันอย่างแพร่หลาย ซึ่ง เทคโนโลยีด้านวัสดุนาโนเป็นเทคโนโลยีพื้นฐานที่สำคัญที่จะรองรับนาโนเทคโนโลยีด้านอื่นๆ วัสดุที่มีโครงสร้างแบบนาโนมีอยู่หลายอย่าง เช่น ผงขนาดนาโน (nanopowders) ท่อขนาดนาโน (nanotubes) และโครงสร้างอื่นขนาดนาโน เช่น nanofibre, nanorod, nanowires เป็นต้น วัสดุเหล่านี้เป็นวัสดุที่มีประโยชน์มากต่อ เทคโนโลยีก๊าซเซนเซอร์ เนื่องจากคุณสมบัติอัตราส่วนของพื้นที่ผิวต่อปริมาตรสูง (high surface to volume ratio) ซึ่งคุณสมบัตินี้จะทำให้เราได้วัสดุที่มีความไวในการตรวจจับก๊าซสูงเพราะว่าการเพิ่มพื้นที่ผิวของวัสดุจะทำให้ความสามารถในตรวจจับโมเลกุลของก๊าซเป็นไปได้ง่ายขึ้น

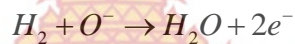
#### หลักการตรวจจับทางเคมีของสารกึ่งตัวนำ

หัววัดก๊าซชนิดกึ่งตัวนำของโลหะออกไซด์ (Metal Oxide) เช่น  $\text{SnO}_2$ ,  $\text{WO}_3$ ,  $\text{MoO}_3$ ,  $\text{ZnO}$  จะแสดงการเปลี่ยนแปลงความต้านทานไฟฟ้าในขณะทำการตรวจจับก๊าซ ตัวแปรที่มีอิทธิพลต่อพฤติกรรมตอบสนองของหัววัดก๊าซชนิดนี้คือ สมบัติพื้นผิว (Surface State) และสมบัติขอบของเกรน (Grain Boundary) ของวัสดุที่ใช้ในหัววัดก๊าซ

บริเวณผิวสัมผัสของโลหะออกไซด์ อะตอมจะมีพันธะไม่สมบูรณ์ทำให้เกิดเป็นพันธะแขวนห้อย (Dangling bonds) ซึ่งจะไม่มีการชดเชยของส่วนที่ขาดหายไป และจะไม่มีการรวมกับอะตอมรอบข้างได้ โลหะออกไซด์ส่วนใหญ่ ไอออนลบและไอออนบวกจะมีพันธะอย่างหลวมๆ จากปรากฏการณ์นี้เมื่อมีการให้ความร้อนแก่โลหะออกไซด์ ออกซิเจนในบรรยากาศจะรับอิเล็กตรอนจากโลหะออกไซด์ และจะดูดซับ (Adsorb) ที่ผิวเกรนของโลหะออกไซด์ในสภาพของไอออน



ทำให้ที่ผิวเกรนของโลหะออกไซด์ ถูกปกคลุมด้วยชั้นไอออนของออกซิเจน กระบวนการที่เกิดขึ้นนี้จะทำให้เกิดกำแพงพลังงานศักย์ (Potential Barrier) ขึ้นที่ผิวของโลหะออกไซด์ หากในอากาศขณะนั้นประกอบด้วยก๊าซรีดิวซ์ เช่น  $H_2$  ก๊าซรีดิวซ์ในอากาศจะถูกดูดซับที่ผิวของโลหะออกไซด์ และจะส่งอิเล็กตรอนให้แก่โลหะออกไซด์



เนื่องจากความสูงของกำแพงศักย์นั้น พิจารณาได้จากปริมาณของประจุที่ถูกแลกเปลี่ยน ดังนั้นค่าความนำไฟฟ้าของโลหะออกไซด์จึงสามารถพิจารณาได้จากความเข้มข้นของออกซิเจนในบรรยากาศ โดยถ้าในบรรยากาศไม่มีก๊าซรีดิวซ์ (Reducing gas) เป็นองค์ประกอบจะทำให้ไอออนของออกซิเจนมีปริมาณมากส่งผลให้ความต้านทานของโลหะออกไซด์มีค่าสูง ในทางกลับกันหากมีก๊าซรีดิวซ์มากก็จะส่งผลให้ความต้านทานของโลหะออกไซด์ลดลง

ในการปรับปรุงคุณสมบัติการตรวจวัดก๊าซของโลหะออกไซด์นอกจากจะขึ้นอยู่กับสมบัติพื้นผิว และสมบัติของขอบเกรนแล้ว ยังขึ้นอยู่กับคุณสมบัติอัตราส่วนของพื้นที่ผิวต่อปริมาตรสูง (high surface to volume ratio) จึงจำเป็นต้องศึกษาการสังเคราะห์โลหะออกไซด์ที่มีโครงสร้างระดับนาโนในรูปแบบต่างๆ เช่น โครงสร้างแบบ nanofibre nanorod และ nanowires เป็นต้น เพื่อเพิ่มประสิทธิภาพในการตรวจวัดของโลหะออกไซด์

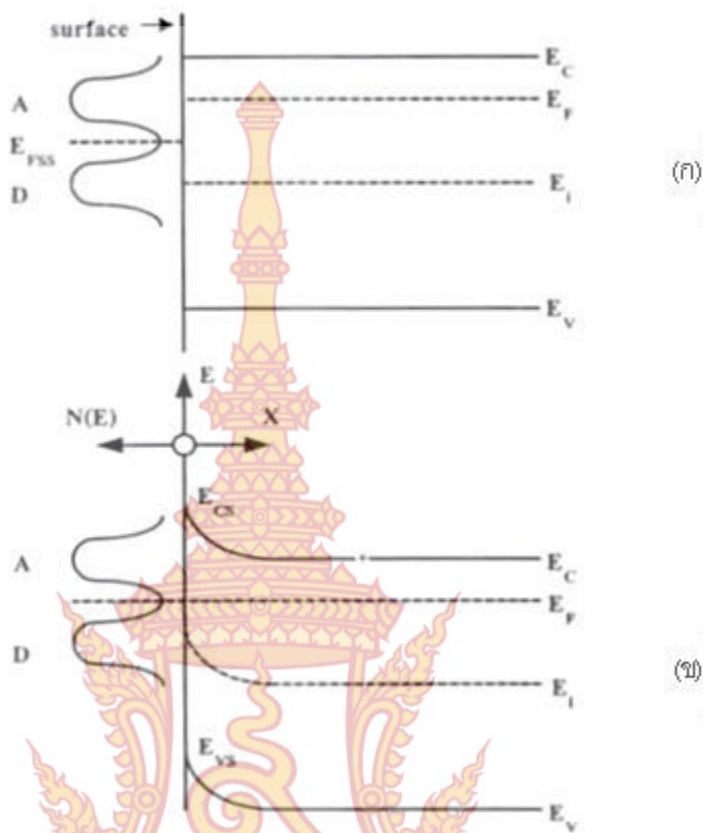
### สถานะพื้นผิว (Surface State) ในการตรวจจับทางเคมี

บริเวณที่ผิวสัมผัสของเนื้อสารกึ่งตัวนำ อะตอมจะมีพันธะขาดไป 1 หรือ 2 อะตอมทำให้เกิดพันธะแขวนห้อย (Dangling bonds) ซึ่งจะไม่มีการชดเชยของส่วนที่ขาดหายไป และจะไม่มีการรวมกับอะตอมรอบข้างได้ โลหะออกไซด์ส่วนใหญ่ ไอออนลบและไอออนบวกจะมีพันธะอย่างหลวม ๆ ประจุบวกของโลหะไอออน จะมีประจุลบของ  $O^-$  ไอออนลบล้อมรอบอยู่ เมื่อมีปริมาณไอออนลบรอบๆ ตัวมันน้อย ไอออนบวกจะสามารถเกิดปฏิกิริยากับอิเล็กตรอน ดังนั้นการจัดเรียงของแถบความนำในกรณีนี้จะมีพลังงานต่ำกว่าแถบความนำจริง และสามารถดึงอิเล็กตรอนจากเนื้อสารได้ ซึ่งเหมือนกับว่าที่ผิวมีเฉพาะไอออนลบ จึงทำให้แถบพลังงานของประจุลบมีค่าสูงกว่าแถบวาเลนซ์ที่เป็นจริง ไอออนเหล่านี้สามารถดึงโฮลหรือให้อิเล็กตรอนแก่เนื้อสารได้ เหตุผลดังกล่าวจะสามารถ

อธิบายได้จากแถบพลังงานที่อยู่ในเทอมของสถานะผิว ซึ่งจะมีทั้งสถานะผู้ให้และสถานะผู้รับของอะตอมที่ผิวดังรูปที่ 2.1 แบบจำลองแถบพลังงานที่ผิว  $E_C$  คือพลังงานที่แถบความนำ  $E_V$  คือพลังงานที่แถบวาเลนซ์  $E_i$  เป็นพลังงานที่ระดับครึ่งของแถบพลังงาน และ  $E_F$  คือแถบพลังงานเฟอร์มิที่สถานะผิว สามารถกล่าวได้ว่า ความหนาแน่นของแถบพลังงาน  $N(E)$  เป็นฟังก์ชันกับพลังงาน  $E$  ซึ่งมีเหตุผลหลายข้อที่สนับสนุนข้อเสนอนี้ เช่น ชั้นของผิวที่มีอยู่หลายชั้นที่แสงสามารถทะลุผ่านผลึกได้ โดยที่แต่ละชั้นจะมีระดับพลังงานไม่เท่ากัน ดังนั้นจึงมีแถบพลังงาน 2 ระดับที่อยู่ภายในสถานะผู้รับ (A) ที่เชื่อมโยงกับไอออนลบที่ผิว

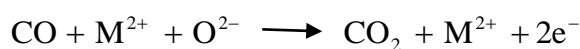
จากรูปที่ 2.1 (ก) เป็นการแบบจำลองแถบพลังงานขณะไม่มีการแลกเปลี่ยนประจุระหว่างสถานะผิวและสารกึ่งตัวนำ “Flat Bands” ซึ่งในกรณีนี้จะทำให้ระดับพลังงานเฟอร์มิในสารกึ่งตัวนำ ( $E_F$ ) ไม่ต่อเนื่องกับระดับพลังงานเฟอร์มิที่มีสถานะผิว ( $E_{FSS}$ ) ส่วนในรูปที่ 2.1(ข) แสดงกรณีที่มีสถานะสมดุล อิเล็กตรอนจะเคลื่อนที่จากระดับพลังงาน ( $E_F$ ) ที่มีค่าสูงกว่า ซึ่งอยู่ใกล้ๆ ผิวของสารกึ่งตัวนำไปยังขอบเขตที่มีระดับพลังงานต่ำ ( $E_F$ ) บริเวณสถานะผิวการแยกกันของประจุจะทำให้เกิดเป็นความต่างศักย์สองชั้น (Double-layer) สถานะนี้ทำให้เกิดการยกระดับพลังงานที่ชั้นผิว ( ทั้ง  $E_{CS}$  และ  $E_{VS}$  ที่ผิว) เมื่อความต่างศักย์สองชั้น ( Double-layer voltage) มีค่ามากพอ จะทำให้ระดับพลังงานเฟอร์มิมีค่าเท่ากันทั้งระบบ ( $E_F = E_{FSS}$ ) และระบบจะเข้าสู่สมดุล การเคลื่อนย้ายของแถบพลังงานบริเวณใกล้ๆ ผิวนี้จะเรียกว่า Band bending และทำให้ฟังก์ชันการกระจายของพลังงานเฟอร์มิที่เกิดการเปลี่ยนแปลงอยู่ในระดับประมาณครึ่งหนึ่งของตำแหน่งอะตอมผู้ให้และอะตอมผู้รับ และถ้ามีเพียง 1 ระดับพลังงาน ระดับพลังงานเฟอร์มิจะเข้าสู่ระดับที่สมดุล ซึ่งอาจจะกล่าวได้ว่า เมื่อเข้าสู่สมดุลจะเกิดการโค้งงอของแถบพลังงาน ( Band bending ) ขึ้น





รูปที่ 2.1 แบบจำลองการเกิดประจุที่ผิวของสารกึ่งตัวนำ อะตอมผู้ให้ (D) และอะตอมผู้รับ (A) สถานะผิวจะแสดงที่ความหนาแน่นของระดับพลังงาน  $N(E)$  (ก) ในกรณีที่ไม่มีการแลกเปลี่ยนประจุระหว่างสารกึ่งตัวนำและสถานะผิว (ข) ในกรณีที่อิเล็กตรอนจากผิวของสารกึ่งตัวนำเคลื่อนที่ไปยังสถานะผิวจนถึงสมดุล

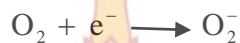
จุดที่น่าสนใจที่จะพิจารณา ก็คือความสามารถในการดูดซับที่สถานะผิวซึ่งเป็นการฉีดอิเล็กตรอนเข้าไปในสารกึ่งตัวนำหรือการรับอิเล็กตรอนจากสารกึ่งตัวนำ (Oxidizing agents) เช่น ไฮโดรเจนเมื่อถูกดูดซับก๊าซ จะฉีดิอิเล็กตรอนเข้าไปในสารกึ่งตัวนำและจะได้เป็น  $H^+$  ส่วนออกซิเจนเมื่อขณะดูดซับก๊าซจะรับอิเล็กตรอนจากสารกึ่งตัวนำและจะได้เป็น  $O^-$  ที่ผิว การอธิบายทางคณิตศาสตร์จะสามารถแสดงในลักษณะที่คล้ายๆกับกรณีที่สถานะผิว หรืออาจจะใช้เทอมของสถานะผิวในการอธิบายระดับพลังงานที่ผิวขณะดูดซับก็ได้ อย่างเช่น  $CO$  เมื่อเคลื่อนที่เข้าสู่ผิวและทำปฏิกิริยากับโลหะออกไซด์ จะทำให้  $O^{2-}$  เปลี่ยนไปเป็นสถานะก๊าซ



กระแสไฟฟ้าในรูปแบบ Double layer ดังแสดงในรูปที่ 2.1(ข) จะสามารถแบ่งเป็น 3 ชนิด ซึ่งทั้ง 3 ชนิดสามารถสร้างแบบจำลองการดูดซับที่สถานะผิวโดยจะสมมติให้มีระดับพลังงานอยู่เพียง 1 ระดับ ดังนั้นระดับพลังงานของผู้ให้มันจะเป็นกลางเมื่อไม่ถูกแรงยึดเหนี่ยว เช่น



หรืออะตอมผู้รับจะแสดงความเป็นกลางเมื่อไม่ถูกยึดเหนี่ยว เช่น



แบบที่หนึ่ง ถ้าอิเล็กตรอนถูกฉีดเข้าไปในการกึ่งตัวนำชนิดเอ็น จะเกิดชั้นสะสมของประจุ (Accumulation layer) ซึ่งแสดงในรูปที่ 2.2(ก) การเกิดชั้น Double layer ระหว่างประจุบวกที่สถานะผิวและประจุที่ฉีดเข้าไป เพราะว่าอิเล็กตรอนที่ฉีดเข้าไปจะเกิดการเคลื่อนที่จนอิเล็กตรอนเหล่านี้เคลื่อนที่มากปิดที่ผิวและผลทางไฟฟ้าจากชั้น Double layer ที่ไม่ลึกมาก โดยอยู่ในช่วงประมาณ  $10\text{\AA}$  ของเนื้อสารกึ่งตัวนำ ระดับพลังงานเฟอร์มิที่ผิวจะเปลี่ยนไป  $d\psi$  เมื่อ  $\psi$  เป็น ศักดาที่ Double layer ดังรูปที่ 2.2 (ก) ระยะทางระหว่างประจุ  $d$  จะมีความสัมพันธ์กับค่าเก็บประจุที่ชั้น Double layer (ฟารัด/พื้นที่หนึ่งหน่วย) ดังสมการ

$$C = q \frac{dN}{d\psi} = \frac{\epsilon\epsilon_0}{d}$$

เมื่อ  $N$  เป็นความหนาแน่นของประจุที่สถานะผิวต่อพื้นที่  $\epsilon$  เป็นค่าคงที่ไดอิเล็กตริก และ  $\epsilon_0$  เป็นค่าเพอร์มิติวิตี (Permittivity) ในสุญญากาศ สำหรับชั้นสะสม ค่า  $d$  จะมีค่าน้อย ดังนั้นที่สถานะสมดุลค่า  $N$  จะมีค่ามากตามสมการ การเคลื่อนย้ายประจุเข้าไปในเนื้อสารกึ่งตัวนำจนกระทั่งเข้าสู่สมดุลที่ระดับพลังงานเฟอร์มิในสารกึ่งตัวนำ เป็นการอธิบายการเกิดการยึดเหนี่ยวที่สถานะผิว ชั้นสะสมจะเกิดขึ้นบนสารกึ่งตัวนำชนิดพี เมื่อโฮลถูกฉีดเข้าไปในแถบวาเลนซ์ (อิเล็กตรอนจะเคลื่อนที่ออกจากชั้นวาเลนซ์โดยตัวรับประจุที่แข็งแรง) ชั้นสะสมจะเกิดขึ้นระหว่างประจุลบที่สถานะผิวและโฮลที่ฉีดเข้าไปในแถบวาเลนซ์

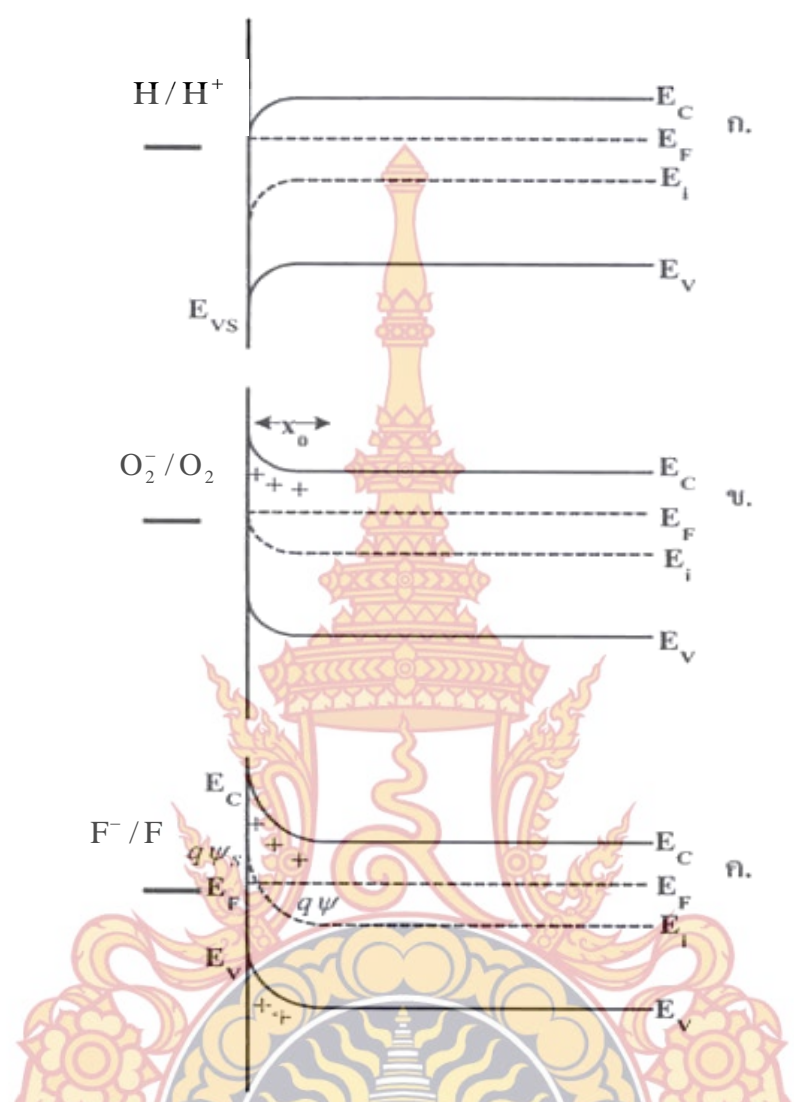
แบบที่ 2 ถ้าอิเล็กตรอนถูกดึงออกจากชั้นแถบความนำของสารกึ่งตัวนำชนิดเอ็น โดยผู้รับประจุที่สถานะผิวจะเกิดเป็นชั้นปลอดประจุพาหะ (Depletion layer) หรือ Space-Charge layer ที่ผิวซึ่งจะแสดงในรูป 2.2 (ข) หลังจากนั้นจะเกิด Double layer ระหว่างประจุบวกที่สถานะผิวและประจุบวกของอะตอมผู้ให้ในสารกึ่งตัวนำชนิดเอ็น การดึงอิเล็กตรอนจะยังคงดำเนินต่อไปจนกระทั่งถึงระดับพลังงานเฟอร์มิในสารกึ่งตัวนำซึ่งเป็นสถานะผิวของวัสดุตรงจذب โดยทั่วไปแล้วประจุนี้มีค่า ๆ หนึ่งในชั้น Double layer อย่างไรก็ตามในสารกึ่งตัวนำประจุจะถูกแบ่งเป็นอะตอมผู้ให้และจะมีจำนวนจำกัด การกำหนดจำนวนประจุจะแสดงถึงความหนาของชั้น Double layer ที่ขยายค่าเข้า



ไปในสารกึ่งตัวนำ ค่า  $d$  จะมีค่ามาก เมื่อกรณีของ Depletion layer มีความหนาแน่นของประจุที่สถานะผิวต่ำ ซึ่งอยู่ในช่วง 0.001 ของ Monolayer ส่วนการเกิดขึ้นปลดปล่อยประจุพาหะของสารกึ่งตัวนำชนิดพี โ هولจะถูกดึงจากแถบวาเลนซ์โดยอะตอมผู้ให้ซึ่งออกมาจาก Double layer ที่อยู่ระหว่างประจุลบของอ็อนผู้รับในเนื้อสารใกล้ ๆ ผิวและประจุบวกที่สถานะผิว

แบบที่สาม จะเรียกว่า Inversion layer ซึ่งจะได้รับการสนใจในการนำมาสร้างก๊าซ เซนเซอร์ชนิดมอสเฟตอยู่น้อย ในสารกึ่งตัวนำชนิดเอ็น จะเกิดขึ้น Inversion layer เมื่อมีความต้องการรับประจุอย่างรุนแรง (Oxidizing agent) ที่ผิว ในรูปที่ 2.2 (ค) ตัวที่มีความสามารถ Oxidizing agent สูง เช่น ฟลูออไรท์ (F) ระดับพลังงานที่สถานะผิวจะมีค่าเข้าใกล้กับแถบวาเลนซ์ ซึ่งทำให้ระดับพลังงานเฟอร์มิที่ผิวที่เข้าสู่แถบวาเลนซ์ และถ้ามีมากกว่าแถบความนำจะทำให้มีความหนาแน่นของโฮลเกิดขึ้น ในทางกลับกันอะตอมผู้รับที่สถานะผิวจะมีค่าน้อยในแถบความนำ ซึ่งแสดงว่าจะเกิดการดึงอิเล็กตรอนในแถบวาเลนซ์ ในรูปที่ 2.2 (ค) ที่ผิวจะเกิด “Inverted” ทำให้สารชนิดเอ็นเปลี่ยนเป็นชนิดพี ที่ผิว ในกรณีของมอสเฟต Inverted layer จะถูกการเหนี่ยวนำ โดยการป้อนศักย์ไฟฟ้าที่เกท การป้อนสนามไฟฟ้าด้วยค่าที่มากจะทำให้เกิดประจุบวกที่สารชนิดเอ็น ถ้าค่าสนามไฟฟ้ามีค่ามากพอ บางส่วนของประจุบวกจะกลายเป็นโฮลในชั้นวาเลนซ์





รูปที่ 2.2 ลักษณะแบบจำลองแถบพลังงาน Double layer ชนิดต่างๆ

- (ก) ชั้นสะสมเมื่อที่ผิวมีสภาพทางไฟฟ้าเป็นบวกมาก อิเล็กตรอนจะถูกดึงดูดเข้าไปในแถบความนำโดยปล่อยให้บริเวณผิวมีประจุบวกและประจุลบที่สารกึ่งตัวนำ
- (ข) ชั้นปลอดประจุพาหะ เมื่ออิเล็กตรอนที่แถบความนำถูกยึดไว้ที่ผิว ซึ่งจะถูกดเซยที่ผิวของสารกึ่งตัวนำ
- (ค) ชั้นกลับ (Inversion layer) เกิดขึ้นเมื่ออิเล็กตรอนถูกยึดไว้มาก ซึ่งแสดงว่ามีการดึงอิเล็กตรอนจากชั้นแถบความนำและชั้นวาเลนซ์

เป็นที่แน่ชัดว่า ชนิดที่สำคัญที่สุดของ Surface layer ในก๊าซเซนเซอร์ คือ ชนิดชั้นปลอดประจุพาหะ (Depletion layer) ซึ่งจะได้รับการพิจารณามาวិเคราะห์ โดยการวิเคราะห์จะใช้สถานะผิวง่าย ๆ เช่น ในขณะที่โมเลกุลของออกซิเจน ซึ่งเป็นตัวรับประจุในสารกึ่งตัวนำชนิดเอ็น โดยการกำหนดเงื่อนไขเราจะสมมติว่าที่สถานะผิวมีระดับพลังงานเพียงระดับเดียวและความหนาแน่น

ของสารที่เจอเข้าไปจะขึ้นอยู่กับระยะทาง ดังนั้นจะพิจารณาเฉพาะผลที่เกิดการดูดซับที่ทำให้สภาพความต้านทานของสารกึ่งตัวนำเปลี่ยนไป โดย  $\psi$  แสดงศักดา (เป็นฟังก์ชันกับ  $x$ ) ที่สัมพันธ์กับพลังงานศักย์ในเนื้อสาร สถานะผิวที่แสดงโดยรูปแบบง่าย ๆคือ ที่ Single layer ถ้ามีการยึดเหนี่ยวที่ชั้นนี้ ที่ว่างจะเกิด Reducing agent เช่น  $O_2^-$  แต่ถ้าไม่มีการยึดเหนี่ยวในชั้นนี้ บริเวณที่ว่างจะเกิด Oxidizing agent เช่น  $O_2$

### การดูดซับออกซิเจน

แบบจำลองของแถบพลังงานที่ผิวสารกึ่งตัวนำชนิดเอ็นที่ดูดซับ  $O_2^-$  ในสภาวะสมดุล ดังแสดงในรูปที่ 2.2 (ข) นั้น เมื่อเกิดชั้น Double layer การเลื่อนตำแหน่งของระดับเฟอร์มิที่ผิวไปยังตำแหน่งอื่นขึ้นอยู่กับอัตราส่วนของ  $O_2^- / O_2$  เพราะฟังก์ชันการกระจายของพลังงานเฟอร์มิที่สมดุลจะมีค่าไม่ต่างไปจากระดับพลังงานที่สถานะผิว ออกซิเจนที่ถูกดูดซับจะเกิดขึ้นที่ Double layer ในสารกึ่งตัวนำชนิดเอ็น ขณะเดียวกัน Negative layer จะเป็นการดูดซับออกซิเจนและประจุบวกจะเป็นผู้ให้อิเล็กตรอนในเนื้อสาร โดยที่ประจุรวมในชั้นปลอดประจุพาหะจะสมดุลกับประจุที่ดูดซับออกซิเจน จะได้ว่า

$$N_s = N_D x_0$$

$N_s$  คือ ความหนาแน่นของประจุที่ผิวต่อพื้นที่ (l/m<sup>2</sup>)

$N_D$  คือ ความหนาแน่นของประจุผู้ให้ (l/m<sup>2</sup>)

$X_0$  คือ ความหนาแน่นของบริเวณเขตปลอดประจุพาหะ (m)

ซึ่งพิจารณาได้โดยใช้สมการ Poisson's equation พิสูจน์ใน 1 มิติ

$$d^2\psi/d^2x^2 = -qN_D/\epsilon\epsilon_0$$

$\psi$  คือ ศักดาที่เทียบกับเนื้อสารในรูปที่ 2.2 ในกรณีของชั้นปลอดประจุพาหะ กำหนดให้  $\psi = 0$  ที่ตำแหน่ง  $x = x_0$  (ในเนื้อสาร) การลดลงของ  $\psi$  ที่ตำแหน่ง  $\psi_s$  ซึ่งอยู่ที่ผิวจะได้

$$\psi = -(qN_D/2\epsilon\epsilon_0)(x_0 - x)^2$$

ใช้เงื่อนไขรอยต่อ  $\psi = 0$  และ  $d\psi/dx = 0$  ที่  $x=x_0$  ดังนั้นที่ผิว ( $x = 0$ ) เราได้

$$\psi_s = -qN_D x_0^2 / 2\epsilon_r \epsilon_0$$

จาก  $N_s = N_D x_0$  และ  $\psi_s = -qN_D x_0^2 / 2\epsilon_r \epsilon_0$  จะได้ว่า

$$\psi_s = -qN_s^2 / 2\epsilon\epsilon_0 N_D$$

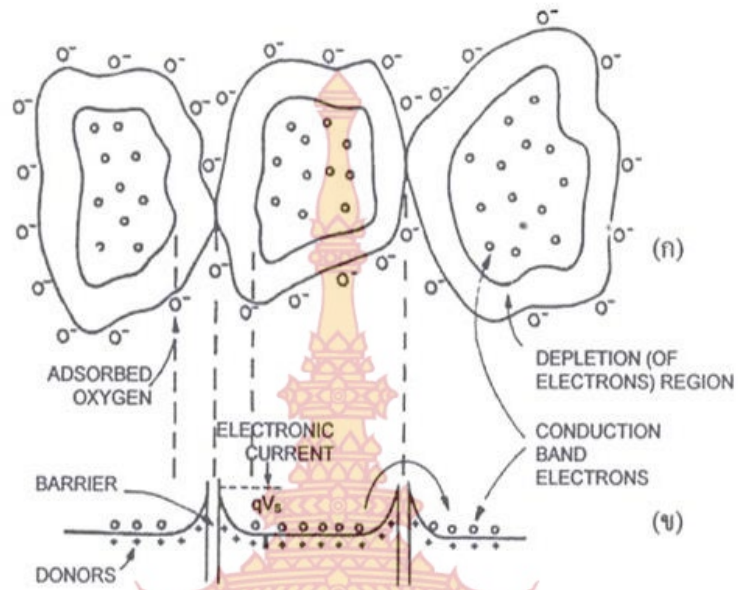
ให้ค่าแก่งศักย์คือฟังก์ชันความหนาแน่นของออกซิเจนที่ถูกดูดซับ พอร์มตัวอยู่ในรูป Schottky equation โดยที่  $n_s$  คือความหนาแน่นประจุพาหะที่ผิวต่อปริมาตร กำหนดโดย Boltzmand factor คือ

$$n_s = N_D \exp(q\psi_s / kT)$$

#### ผลจากขอบเกรน (Grain boundary effect)

การเปลี่ยนแปลงที่ผิวของฟิล์มบางซึ่งจะเกี่ยวเนื่องจากการดูดซับและคายไอออน จะมีค่าไม่มากพอที่จะทำให้ค่าสภาพความต้านทานผิวมากนัก แต่ส่วนที่จะมีผลมากต่อค่าความต้านทานผิวก็คือขอบเกรน โดยทั่วไปผลึกของโลหะออกไซด์จะเป็นสารกึ่งตัวนำชนิดเอ็นที่ล้อมรอบด้วยแลทติซของออกซิเจนซึ่งจะประพฤติตัวเป็นผู้ให้อิเล็กตรอน เมื่ออะตอมของออกซิเจนเคลื่อนที่อิเล็กตรอนจากอะตอมผู้ให้ที่ผิวจะถูกดูดซับ โดยไอออนลบจะเกิดขึ้นตลอดประจุพาหะขึ้นตามค่าของค่าแก่งศักย์ไดอะแกรมของแถบพลังงาน แบบจำลองทางฟิสิกส์สำหรับการจับคู่ของเกรนที่แสดงเขตปลอดประจุ(Space charge region) และผลจากการ Deoxidizing ก็าจะแสดงดังรูปที่ 2.3

ความกว้างของเขตปลอดประจุพาหะ หมายถึง Debye length และเมื่อขนาดของผลึกมีค่ามากกว่าสองเท่าของ Debye length ค่าค่าแก่งศักย์ที่ขอบเกรนจะมีผลต่อค่าความต้านทานของสารกึ่งตัวนำเป็นอย่างมาก เมื่อความหนาแน่นของไอออนลบของออกซิเจนมีค่ามาก ค่าค่าแก่งศักย์ก็จะมีค่าสูง ผลที่ได้คือ สารกึ่งตัวนำมีค่าความต้านทานที่สูง แต่เมื่อความหนาแน่นของออกซิเจนมีค่าลดลง เมื่อให้ก๊าซเข้าสู่ระบบ ค่าค่าแก่งศักย์ก็จะลดลงซึ่งจะทำให้ค่าความต้านลดลงด้วย ในทางกลับกันเมื่อสารกึ่งตัวนำมีขนาดของเกรนเล็กกว่าสองเท่าของ Debye length ดังแสดงในรูปที่ 2.4 แต่ละผลึกจะแสดงตัวเหมือนช่องทางเดินกระแสและประจุลบที่ผิวของออกซิเจนลบจะแสดงตัวคล้ายแรงดันเกต ทำให้มีผลต่อระดับพลังงานศักย์ EC ภายในผลึก



รูปที่ 2.3 โครงสร้างและแบบจำลองของสารกึ่งตัวนำ (กำแพงศักย์ที่เกิดจากการดูดซับออกซิเจนที่ผิว) (ก) แบบจำลองทางฟิสิกส์ (ข) แบบจำลองแถบพลังงาน



รูปที่ 2.4 พลังงานศักย์ที่ทางเดินกระแส (Current path) ของสารกึ่งตัวนำไททาเนียมไดออกไซด์ เมื่อความยาวของเส้นผ่านศูนย์กลางจะน้อยกว่า Debye length  
 $E_F$  คือระดับพลังงานเฟอร์มี  
 $E_C$  คือระดับพลังงานต่ำสุดของแถบความนำในชั้นปลอดประจุพาหะ  
 $E_V$  คือกำแพงศักย์

## การเคลือบฟิล์มภายใต้สภาวะสุญญากาศ

ปัจจุบันได้มีการนำเอาเทคนิคการเคลือบฟิล์มในสภาวะที่เป็นสุญญากาศมาใช้งานกันมากขึ้น เนื่องจากในสภาวะสุญญากาศนี้ จะสามารถควบคุมปริมาณของก๊าซและการเกิดปฏิกิริยาได้ง่ายกว่าในสภาวะความดันบรรยากาศ โดยทั่วไปอากาศจะประกอบไปด้วยก๊าซต่างๆมากมาย ดังนั้นการเกิดปฏิกิริยาต่างๆ ของก๊าซในสภาวะความดันบรรยากาศจึงไม่สามารถกำหนดได้ ข้อดีของการเคลือบฟิล์มในสภาวะสุญญากาศคือ สามารถใช้กับสารเคลือบได้หลายประเภท ทำให้ฟิล์มที่ได้มีสมบัติในด้านต่างๆ ดีกว่าการเคลือบในสภาวะบรรยากาศ และการกำหนดตัวแปรในการเคลือบได้แก่ อุณหภูมิขึ้นงาน อัตราการเคลือบ ปริมาณออกซิเจน เป็นต้น นอกจากนี้ยังสามารถกำหนดสมบัติของฟิล์มที่เคลือบได้ เช่น ส่วนประกอบของฟิล์ม ความเสถียร โครงสร้างผลึกของฟิล์ม ซึ่งสามารถควบคุมตัวแปรได้แน่นอนกว่าการเคลือบในสภาวะความดันบรรยากาศ ในปัจจุบันการเคลือบฟิล์มในสภาวะสุญญากาศมีหลากหลายวิธีด้วยกัน อย่างเช่น ดีซี สปีดเตอริง อาร์เอฟ สปีดเตอริง ไอออนเพลตติง หรือ การระเหยสาร เป็นต้น โดยแต่ละวิธีจะเหมาะกับการนำไปใช้งานที่ต่างกัน ซึ่งงานที่ผ่านการเคลือบจะมีอยู่หลายประเภทอย่างเช่น ในด้านงานเคลือบกระจก ( Low Emissivity Coating , Solar Control Coating , AR Coating ) ในด้านงานเคลือบแข็งหรืองานเคลือบตกแต่งเพื่อความสวยงาม หรือจะเป็นงานเคลือบประเภท Protective Coating และ Metallic Effect Coating เป็นต้น

## การเคลือบฟิล์มบางด้วยวิธีสปีดเตอริง

การสปีดเตอริง หมายถึง กระบวนการที่อะตอมของสารเคลือบหลุดออกจากผิวหน้าของเป้า โดยการชนด้วยอนุภาคที่มีพลังงานสูง ลำของไอออนที่มีพลังงานสูงในกระบวนการสปีดเตอริงสามารถสร้างได้หลายแบบวิธี ในกระบวนการเคลือบจะเกิดการเรืองแสง (Glow Discharge) จากก๊าซเฉื่อยหรือบางที่เป็นก๊าซที่ทำปฏิกิริยา(Reactive)ที่แสดงว่าเกิดการเคลื่อนที่ในการเคลือบฟิล์มสำหรับค่า Sputtering yield หากจากอัตราการเคลือบโดยขึ้นอยู่กับเป้าของสารเคลือบ มวลของไอออนที่มาชน พลังงานของอนุภาคเคลื่อนที่และมุมตกกระทบ ในกระบวนการสปีดเตอริงนี้อนุภาคที่วิ่งชนอาจเป็นกลางทางไฟฟ้า หรือมีประจุก็ได้ดังนั้นสิ่งที่จำเป็นในกระบวนการสปีดเตอริงคือ

1. มีสารเคลือบเป็นเป้า (Target) ให้อนุภาคพลังงานสูงวิ่งเข้าชนจนมีการปลดปล่อยอะตอมของสารเคลือบลงบนแผ่นรองรับ
2. มีอนุภาคพลังงานสูงวิ่งเข้าชนเป้าสารเคลือบ โดยปกติอนุภาคพลังงานสูงนี้อาจเป็นกลางทางไฟฟ้า เช่น นิวตรอนหรืออะตอมของธาตุต่างๆ แต่การทำให้อนุภาคที่เป็นกลางมีพลังงานสูงเกิน 10 eV เพื่อใช้ในกระบวนการสปีดเตอริงทำได้ค่อนข้างยาก วิธีการหนึ่งที่ยอมรับทั่วไปคือ การเร่งอนุภาคประจุภายใต้สนามไฟฟ้า ซึ่งสามารถควบคุมระดับพลังงานของไอออนได้ตามต้องการ

อิเล็กตรอนเป็นอนุภาคประจุชนิดหนึ่งที่ย่อยต่อการผลิตและเร่งให้มีพลังงานสูงภายใต้สนามไฟฟ้าได้ แต่อิเล็กตรอนมีมวลน้อยกว่าอะตอมของสารเคลือบมาก ทำให้การถ่ายเทพลังงานและโมเมนตัมต่ออะตอมสารเคลือบเป็นไปอย่างไม่มีประสิทธิภาพ และไม่สามารถทำให้กระบวนการสปัตเตอร์ริงเกิดขึ้นได้ตามทฤษฎีฟิสิกส์ การชนระหว่าง 2 อนุภาค ที่ให้การส่งถ่ายพลังงาน และโมเมนตัมที่ดีที่สุดเมื่อมวลของอนุภาคทั้งสองมีค่าเท่ากัน ดังนั้นเราจึงเลือกการเร่งไอออนของก๊าซในสนามไฟฟ้าเป็นอนุภาควิ่งชนเป้าสารเคลือบ ซึ่งให้อัตราการปลดปล่อยเป้าสารเคลือบสูงเพียงพอกับความต้องการ

3. อนุภาคพลังงานสูงนี้ต้องถูกผลิตขึ้นอย่างต่อเนื่อง เพื่อให้กระบวนการเคลือบสารเกิดขึ้นได้อย่างต่อเนื่องจนได้ความหนาของฟิล์มตามต้องการ ซึ่งสามารถทำได้โดยการใช้ลำอนุภาคจากปืนไอออน (Ion Gun) ที่มีปริมาณการผลิตไอออนในอัตราสูง หรือผลิตได้จากกระบวนการโกลว์ดีสชาร์จ (Glow Discharge) เนื่องจากปืนไอออนมีราคาค่อนข้างสูงและให้ไอออนในพื้นที่แคบ กระบวนการสปัตเตอร์ริงทั่วไป จึงนิยมใช้กระบวนการโกลว์ดีสชาร์จ ซึ่งจะกล่าวรายละเอียดต่อไป

#### **อันตรกิริยาระหว่างไอออนและผิวเป้าสารเคลือบ**

เมื่อพิจารณาอันตรกิริยาระหว่างไอออนและผิวเป้าสารเคลือบขณะที่ไอออนพลังงานสูงวิ่งชนผิวหน้าวัสดุ จะเกิดปรากฏการณ์ต่างๆ ดังนี้

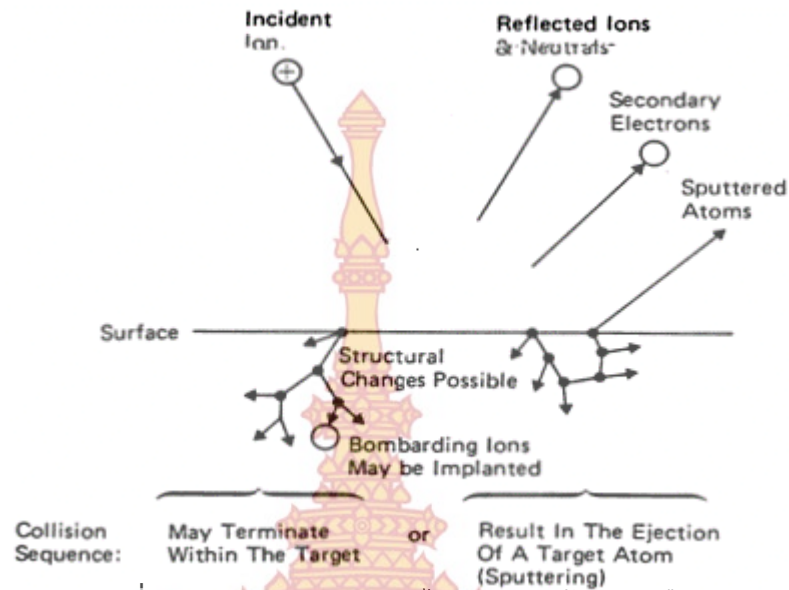
1. การสะท้อนที่ผิวหน้าของไอออน (Reflected ion and Neutrals) ไอออนอาจสะท้อนกลับจากผิวหน้าซึ่งส่วนใหญ่จะสะท้อนออกมาในรูปของอะตอมที่เป็นกลางทางไฟฟ้าอันเกิดจากการรวมตัวกับอิเล็กตรอนที่ผิวเป้าสารเคลือบ

2. การปลดปล่อยอิเล็กตรอนทุติยภูมิ (Secondary Electron Emission) จากการชนของไอออนอาจทำให้เกิดการปลดปล่อยอิเล็กตรอนทุติยภูมิจากเป้าสารเคลือบ ถ้าไอออนที่เข้าชนนั้นมีพลังงานสูงพอ

3. การฝังตัวของไอออน (Ion Implanatation) ไอออนที่วิ่งชนเป้าสารเคลือบนั้นอาจฝังตัวลงในเนื้อของเป้าสารเคลือบ โดยความลึกของการฝังตัวจะแปรผันโดยตรงกับพลังงานไอออน

4. การเปลี่ยนแปลงโครงสร้างของผิวเป้าสารเคลือบ (Target Material Structural Rearrangement) บางครั้งการชนของไอออนบนผิวเป้าสารเคลือบอาจทำให้เกิดการเรียงตัวของอะตอมที่เป้าสารเคลือบใหม่ และเกิดความบกพร่องของโครงสร้างผลึก (Lattice Defect) เราเรียกการจัดเรียงตัวใหม่ของโครงสร้างผิวนั้นว่า Altered Surface Layers

5. ในกระบวนการสปัตเตอร์ริง การชนของไอออนอาจทำให้เกิดกระบวนการชนแบบ ต่อเนื่องระหว่างอะตอมของสารเคลือบปรากฏการณ์ดังกล่าวแสดงได้ดังรูปที่ 2.5



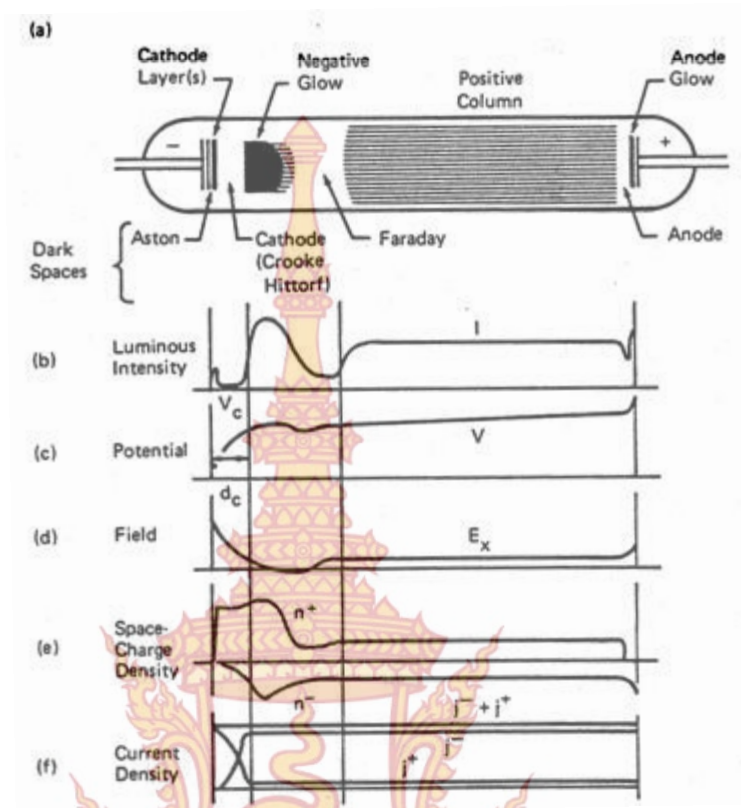
รูปที่ 2.5 อันตรกิริยาระหว่างไอออนและเป้าสารเคลือบ

### กระบวนการโกลว์ดิสชาร์จ ( Glow Discharge)

ในการผลิตอนุภาคที่มีพลังงานสูงนั้นวิธีที่นิยมและใช้กันมาก ได้แก่ กระบวนการโกลว์ดิสชาร์จ ซึ่งในกระบวนการโกลว์ดิสชาร์จจะเกิดขึ้นโดยการป้อนแรงดันไฟฟ้าให้ขั้วอิเล็กโทรดทั้ง 2 ขั้ว ภายใต้ความดันบรรยากาศที่ต่ำ ( $10^{-3} - 10^{-1}$  Torr) ดังรูปที่ 2.6 เมื่อเริ่มดันแรงดันไฟฟ้าน้อย กระแสจะเกิดจากอิเล็กตรอนและไอออนบวก ซึ่งได้จากการแตกตัวของก๊าซเนื่องจากการชนกันเอง หรือถูกชนโดยรังสีคอสมิก อิเล็กตรอนจะวิ่งเข้าหาขั้วบวก (Anode) และไอออนบวกจะวิ่งเข้าหาขั้วลบ (Cathode) ซึ่งทำให้เกิดกระแสไฟฟ้าไหลผ่านระหว่างขั้วไฟฟ้าทั้งสอง แต่กระแสไฟฟ้าที่เกิดขึ้นนี้จะมีค่าต่ำมาก เมื่อทำการเพิ่มศักย์ไฟฟ้าระหว่างขั้วทั้งสองจนถึงแรงดันพังทลาย (Breakdown Voltage) พลังงานของประจุจะถูกเร่งภายใต้สนามไฟฟ้าจนมีค่าสูงขึ้น สามารถชนกับโมเลกุลของก๊าซที่อยู่ใน 챔เบอร์ ทำให้โมเลกุลของก๊าซเกิดการแตกตัวเป็นอิเล็กตรอนและไอออนบวก เรียกว่าการไอออไนซ์ของก๊าซ โดยไอออนบวกจะวิ่งเข้าหาขั้วคาโทดที่ติดเป้าสารเคลือบไว้ด้านบน ทำให้อิเล็กตรอนชุดที่สองและอะตอมที่ผิวหน้าของเป้าสารเคลือบที่ถูกชนหลุดออกมาจากเป้าสารเคลือบด้วยการถ่ายเทโมเมนตัม โดยอะตอมของเป้าสารเคลือบที่ถูกชนจะฟุ้งกระจายภายในระบบสุญญากาศ ซึ่งพร้อมที่จะตกลงบนแผ่นรองรับ ส่วนอิเล็กตรอนก็จะเคลื่อนที่เข้าสู่ขั้วแอโนดและทำให้เกิดการไอออไนซ์ก๊าซอย่างต่อเนื่อง ทำให้กระแสเพิ่มขึ้นอย่างรวดเร็วจนมีปริมาณไอออนมากพอที่จะผลิตอิเล็กตรอนได้ในจำนวนคงที่ เพื่อรักษาสภาวะโกลว์ดิสชาร์จต่อไป หลังจากการไอออไนซ์ของก๊าซ ไอออนซึ่งมีมวลมากกว่าอิเล็กตรอนจะเคลื่อนที่ได้ช้ากว่าทำให้บริเวณขั้วคาโทดมีประจุบวกเกาะกลุ่มกัน (Positive Space Charge) เกิดขึ้นสูง ส่วนอิเล็กตรอนจะเคลื่อนที่เข้าสู่ขั้วแอโนดอย่าง



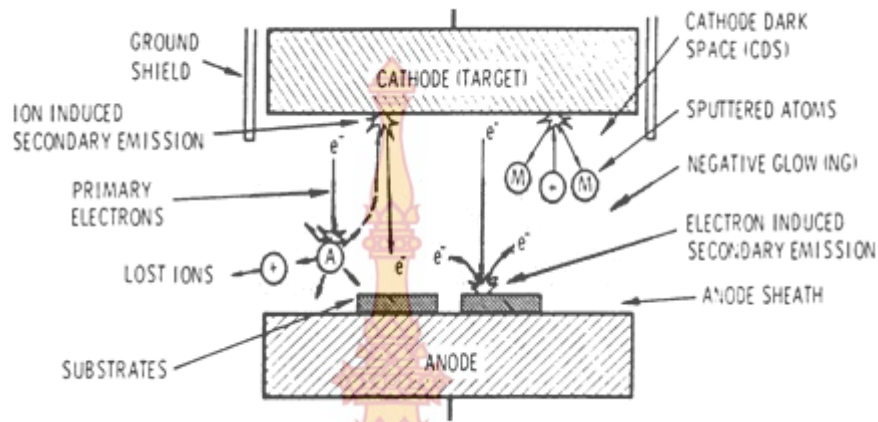
รวดเร็วทำให้สนามไฟฟ้าบริเวณขั้วคาโทดมีค่าสูง ศักย์ไฟฟ้าส่วนใหญ่ตกคร่อมบริเวณนี้เกือบทั้งหมด  
พ้นจากบริเวณนี้สนามไฟฟ้าจะมีค่าต่ำลง อิเล็กตรอนหลังการไอออไนซ์หลายๆ ครั้งใกล้คาโทดจะ  
สูญเสียพลังงานไปมากไม่สามารถเพิ่มพลังงานให้กับตัวเองภายใต้สนามไฟฟ้าที่ต่ำนี้ เพื่อให้มีพลังงาน  
สูงเพียงพอที่จะไอออไนซ์ก๊าซครั้งต่อไปได้จึงเคลื่อนที่เข้าหาขั้วอโนด โดยระหว่างนี้อาจทำเพียง  
กระตุ้น (Excited) อะตอมของก๊าซเท่านั้น เมื่ออะตอมของก๊าซที่อยู่ในสถานะกระตุ้นกลับสู่สภาวะ  
พื้น จะปลดปล่อยคลื่นแม่เหล็กไฟฟ้าออกมา จึงเกิดเป็นสีต่างๆ ตามชนิดก๊าซเรียกว่า เกิดโกลด์ส  
ซาร์จ ส่วนไอออนบวกที่วิ่งเข้าสู่คาโทดจะเกิดการรวมตัวกับอิเล็กตรอนที่คาโทดให้เป็นกลางทาง  
ไฟฟ้า และกลับจากสภาวะไอออไนซ์สู่สภาวะพื้น โดยคลื่นแม่เหล็กไฟฟ้าของอะตอมของก๊าซจาก  
สภาวะไอออนสู่สภาวะพื้นนี้ มีความถี่ในช่วงอัลตราไวโอเล็ต ทำให้เกิดเป็นบริเวณมืดและบริเวณมืดนี้  
จะเกิดขึ้นในช่วงระยะปลอดการชนจากผิวคาโทดโดยเป็นระยะปลอดการชนเฉลี่ย (Mean Free Path)  
) ระหว่างอิเล็กตรอนและอะตอมของก๊าซ โดยระยะของแถบมืดจะเปลี่ยนไปตามความดันบรรยากาศ  
ภายใน และแรงดันไฟฟ้าที่จ่ายให้ระหว่างขั้วอิเล็กโทรด พบว่าผลคูณระหว่างความดันกับระยะของ  
แถบมืดมีค่าคงที่ เมื่อความดันลดลงแถบมืดจะมีระยะยาวขึ้น ทำให้การผลิตไอออนในระบบมี  
ปริมาณน้อยลง กระแสลดลง ดังนั้นอะตอมที่ถูกสปีดเตอริงจะมีปริมาณลดลงด้วย แต่เมื่อความดัน  
เพิ่มขึ้น แถบมืดจะมีค่าลดลง การผลิตไอออนมีปริมาณสูงขึ้น กระแสไฟฟ้าที่ไหลในวงจรเพิ่มขึ้น  
ทำให้กระบวนการสปีดเตอริงสูงขึ้นตามความดันก๊าซ ขณะที่ความดันก๊าซในระบบสูงขึ้นระยะปลอด  
การชนจะมีค่าลดลง อะตอมของสารเคลื่อนที่หลุดออกจากเป้าสารเคลื่อนที่จะถูกส่งผ่านลงเคลื่อนบน  
แผ่นรองรับได้ยากขึ้น เนื่องจากการชนกันกับโมเลกุลของก๊าซและเคลื่อนที่ย้อนกลับสู่เป้าสารเคลื่อน  
หรือสูญเสียสู่ผนังแชมเบอร์ ทำให้ค่าyieldของการสปีดเตอริงมีค่าลดลงเมื่อมีความดันสูงขึ้น ดังนั้น  
อัตราการเกิดสปีดเตอริงจะขึ้นอยู่กับความดันก๊าซและแรงดันไฟฟ้าที่จ่ายให้กับขั้วอิเล็กโทรด  
แรงดันไฟฟ้าพ่วงหลายในกระบวนการโกลด์สซาร์จ จะมีค่าเปลี่ยนแปลงไปกับระยะทาง  $d$  ระหว่าง  
ขั้วอิเล็กโทรด และระยะปลอดการชนระหว่างอิเล็กตรอนชุดที่สองกับโมเลกุลของก๊าซ (ระยะปลอด  
การชนจะแปรผกผันกับความดันก๊าซ) ถ้าความดันก๊าซต่ำเกินไปหรือระยะทาง  $d$  มีค่าน้อยเกินไป  
อิเล็กตรอนชุดที่สองจะไม่สามารถผลิตไอออนให้มากพอก่อนการชนกับอโนด ถ้าความดันก๊าซสูง  
เกินไป หรือระยะทาง  $d$  มากเกินไป อิเล็กตรอนชุดที่สองจะไม่สามารถเพิ่มพลังงานให้กับตัวเองใน  
สนามไฟฟ้าได้มากพอในการไอออไนซ์ก๊าซ ดังนั้นทั้งสองกรณีนี้จะต้องใช้แรงดันไฟฟ้าพ่วงหลายที่มีค่า  
ค่อนข้างสูง



รูปที่ 2.6 ลักษณะการโกลว์ดิสชาร์จระหว่างขั้วอิเล็กโทรด

### ระบบการเคลือบฟิล์มแบบ ดีซี แมกนีตรอนสปัตเตอริง

ปัจจุบันการเคลือบฟิล์มด้วยระบบ ดีซี สปัตเตอริงจะเป็นที่นิยมใช้น้อยกว่าระบบ ดีซี แมกนีตรอนสปัตเตอริง เพราะการเคลือบฟิล์มด้วยระบบ ดีซี แมกนีตรอนสปัตเตอริงนั้นจะให้อัตราการสปัตเตอร์มากกว่า สำหรับงานวิจัยนี้ก็ได้อาศัยระบบ ดีซี แมกนีตรอนสปัตเตอริงในการเคลือบฟิล์มโลหะเพื่อสร้างขั้วไฟฟ้าและฮีตเตอร์ จึงจะอธิบายพอเป็นสังเขปดังนี้

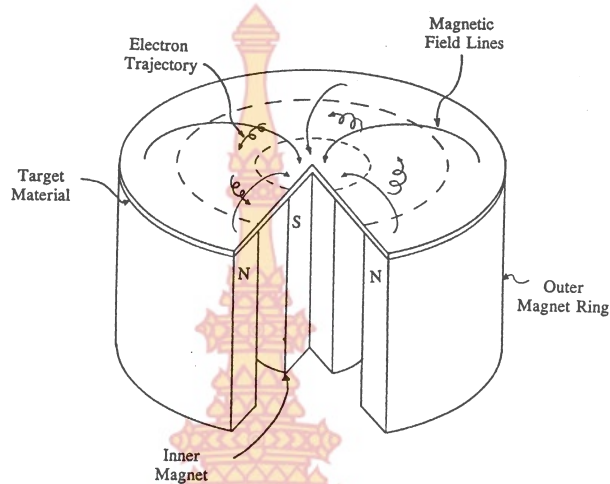


รูปที่ 2.7 ระบบการเคลือบฟิล์มแบบ ดีซี สปีดเตอร์ริง

ระบบการเคลือบฟิล์มแบบ ดีซี แมกนีตรอนสปีดเตอร์ริง (D.C. Magnetron Sputtering) ได้พัฒนามาจากระบบ ดีซี สปีดเตอร์ริง เพราะเนื่องจากว่าอัตราการสปีดเตอร์ริงนั้นจะขึ้นกับผลคูณระหว่างอีลด์และปริมาณไอออนที่วิ่งชนเป้าสารเคลือบ ดังนั้นการเพิ่มอัตราการสปีดเตอร์ อาจทำได้ 2 วิธี คือโดยการเพิ่มอีลด์หรือโดยการเพิ่มปริมาณไอออนที่วิ่งชนเป้าสารเคลือบ แต่ในระบบ ดีซี สปีดเตอร์ริง ทำได้เพียงการเพิ่มแรงดันไฟฟ้าระหว่างขั้วอิเล็กโทรดหรือเพิ่มความดัน ซึ่งจะมีขีดจำกัดสูงสุดที่ความหนาแน่นกระแสประมาณ 1 มิลลิแอมแปร์ต่อตารางเซนติเมตร และความดันประมาณ 100 มิลลิทอร์ นอกจากนี้ในระบบ ดีซี สปีดเตอร์ริง ทั่วไปอะตอมของก๊าซที่เกิดการไอออไนซ์มีค่าน้อยกว่า 1% และเมื่อความดันสูงขึ้นจะทำให้ปริมาณก๊าซแทรกตัวในฟิล์มบางที่ได้มีค่าสูงด้วย รูปที่ 2.7 เป็นการแสดงระบบ ดีซี สปีดเตอร์ริงอย่างง่าย ด้วยเหตุผลดังกล่าวระบบ ดีซี แมกนีตรอนสปีดเตอร์ริงจึงถูกพัฒนาขึ้นมา โดยใช้สนามแม่เหล็กช่วยทำให้เกิดการไอออไนซ์มากขึ้น ซึ่งระบบ ดีซี สปีดเตอร์ริงจะไม่มี เมื่อมีสนามแม่เหล็กเข้ามาช่วย โดยทำให้สนามแม่เหล็กมีทิศทางกับผิวหน้าของเป้าสารเคลือบและมีทิศทางตั้งฉากกับสนามไฟฟ้าซึ่งจะช่วยเพิ่มระยะทางเดินของอิเล็กตรอนให้ยาวขึ้น อำนาจของสนาม แม่เหล็กจะทำให้อิเล็กตรอนเคลื่อนที่เป็นทางโค้งเข้าชนกับอะตอมของก๊าซเฉื่อยมากขึ้น เมื่อก๊าซเกิด

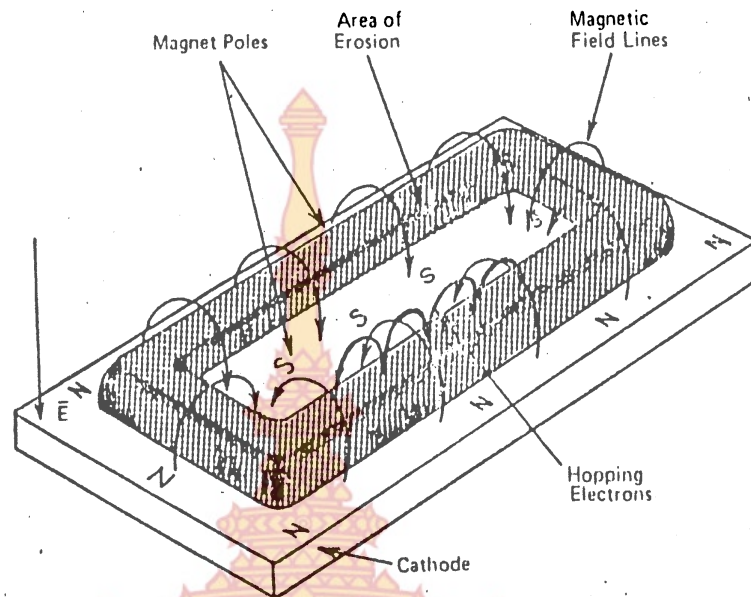
การไอออไนซ์มากขึ้นจะทำให้อัตราการสปีดเตอร์สูงขึ้นด้วย จากทฤษฎีพบว่าถ้าอิเล็กตรอนเคลื่อนที่ภายใต้สนามแม่เหล็กโดยมีทิศตั้งฉากกับสนามแม่เหล็ก สนามแม่เหล็กจะทำให้อิเล็กตรอนเคลื่อนที่เป็นวงกลม แต่ถ้าอิเล็กตรอนทำมุม  $\theta$  กับสนามแม่เหล็กจะทำให้อิเล็กตรอนเคลื่อนที่แบบหมุนควง อิเล็กตรอนมีความเร็วส่วนหนึ่งในแนวขนานกับสนามแม่เหล็ก และจะเคลื่อนที่หมุนควงรอบแนวสนามแม่เหล็ก ระหว่างนี้ถ้าอิเล็กตรอนชนกับอะตอมของก๊าซ แนวการหมุนควงรอบสนามแม่เหล็กจะเปลี่ยนไปถ้าอิเล็กตรอนเคลื่อนที่ในสนามแม่เหล็กและสนามไฟฟ้าซึ่งมีทิศตั้งฉากกัน อำนาจของสนามไฟฟ้าและสนามแม่เหล็กนอกจากจะทำให้อิเล็กตรอนเคลื่อนที่ในแนวโค้งแล้ว ยัง

สามารถทำให้เกิดการเคลื่อนที่ในแนวตั้งฉากกับสนามแม่เหล็กและสนามไฟฟ้า เรียกว่าการเคลื่อนที่แบบลอยเลื่อน (Drift Motion)



รูปที่ 2.8 การเคลื่อนที่ของอิเล็กตรอนในสนามแม่เหล็ก

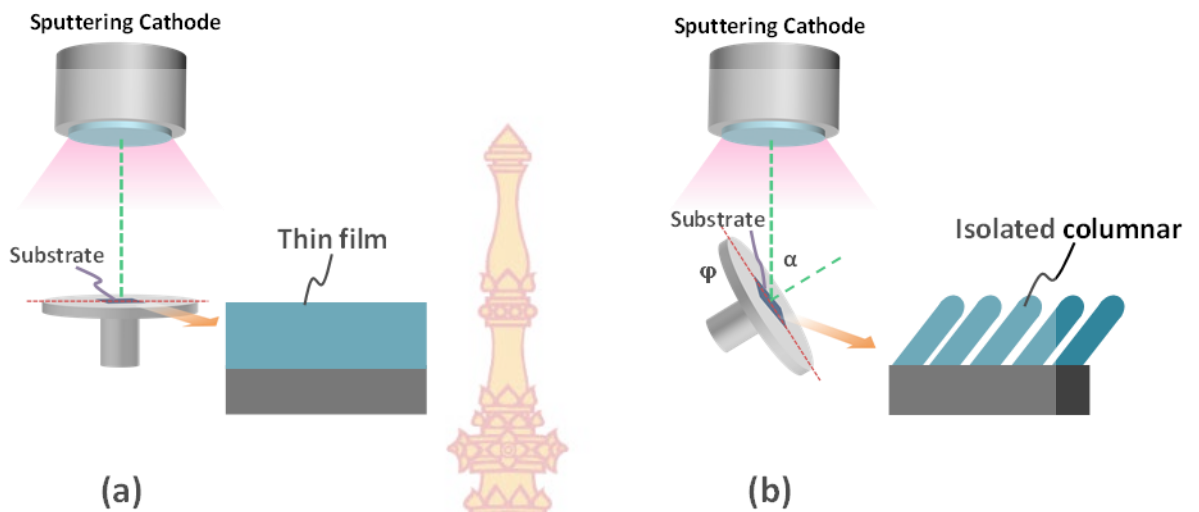
ระบบสปัตเตอร์ริงที่ใช้สนามแม่เหล็กเพื่อช่วยเพิ่มปริมาณไอออนนั้น ถ้าสนามแม่เหล็กมีทิศทางขนานกับสนามไฟฟ้า เรียกว่า สนามตามยาว จะทำให้ประสิทธิภาพการเพิ่มไอออนไม่สูงมากนัก แต่ไม่ทำให้แนวการเกิดโกลด์ดิสชาร์จเปลี่ยนแปลงไป และยังสามารถรักษาความสม่ำเสมอของฟิล์มบางไว้ได้ดี กรณีสนามแม่เหล็กตั้งฉากกับสนามไฟฟ้า เรียกว่า สนามตามขวาง ทำให้เกิดกระบวนการเพิ่มไอออนเกิดขึ้น โดยที่หลังจากไอออนบวกชนกับเป้าสารเคลือบแล้วจะเกิดการปลดปล่อยอิเล็กตรอนลำดับสองออกมา อิเล็กตรอนลำดับสองจะเคลื่อนที่ในลักษณะไซคลอยด์ (Cycloid) ทำให้ถูกกักอยู่ในสนามแม่เหล็กใกล้คาโทด และเคลื่อนที่ลอยเลื่อนไปตามแนวผิวหน้าของคาโทด ดังรูปที่ 2.8 ทำให้อิเล็กตรอนมีโอกาสชนกับอะตอมของก๊าซบริเวณผิวเป้าสารเคลือบได้มากขึ้น จนเพิ่มปริมาณไอออนสูงมาก อิเล็กตรอนที่ไม่ชนกับอะตอมของก๊าซจะเดินทางเป็นวงโค้งเข้าชนเป้าสารเคลือบ และผลิตอิเล็กตรอนลำดับสองมากขึ้นเป็นผลทำให้ไอออนถูกผลิตเป็นปริมาณมาก กรณีใช้สนาม แม่เหล็กทรงกระบอกจะเรียกว่า แมกนีตรอน สปัตเตอร์ริงทรงกระบอก และถ้าใช้สนามแม่เหล็กกับระบบ ดีซี สปัตเตอร์ริง ที่ใช้เป้าแบบแผ่นราบจะเรียกว่า พลาซาร์ แมกนีตรอน สปัตเตอร์ริงดังรูปที่ 2.9



รูปที่ 2.9 การจัดสนามแม่เหล็กและแนวการจัดเป้าสารเคลือบในระบบเคลือบฟิล์มพลาเนาร์แมกนีตรอนสปีดเตอร์ริง

### กระบวนการเคลือบโดยไอเชิงฟิสิกส์ด้วยเทคนิคเอียงมุมและหมุนแผ่นรองรับ

การฟิล์มเคลือบโดยไอเชิงฟิสิกส์ (Physical vapor deposition: PVD) เช่นแบบสปีดเตอร์ริงหรือแบบระเหยสารเป็นกระบวนการที่นิยมและมีการใช้อย่างมากในระดับงานวิจัยและระดับอุตสาหกรรม ปัจจุบันก็ได้มีการนำมาพัฒนาในการสร้างโครงสร้างขนาดนาโนลักษณะต่างๆเช่นแบบแท่ง แบบเกรียว แบบซิกแซก ซึ่งสามารถควบคุมได้จากการปรับมุมระหว่างฟลักสารเคลือบกับแผ่นรองรับ เมื่อฟลักสารเคลือบทำมุมตกอยู่ในแนวขนานกับเส้นปกติจะก่อให้เกิดชั้นฟิล์มแบบทั่วไป แต่เมื่อปรับให้ฟลักสารเคลือบทำมุมมากกว่า 70 องศา กับเส้นปกติก็จะทำให้ฟิล์มแสดงโครงสร้างแบบแท่งคอลัมน์แยกออกจากกันและทำมุมเอียงกับแผ่นรองรับ โดยเทคนิคการเคลือบแบบนี้เรียกว่า Oblique angle deposition โดยสามารถทำได้จากการปรับมุมของแผ่นรองรับกับฟลักสารเคลือบดังแสดงในรูปที่ 2.10



รูปที่ 2.10 การเคลือบฟิล์มบางด้วยเทคนิคสเปตเตอร์ริง (a) แบบปกติ และ (b) Oblique angle deposition

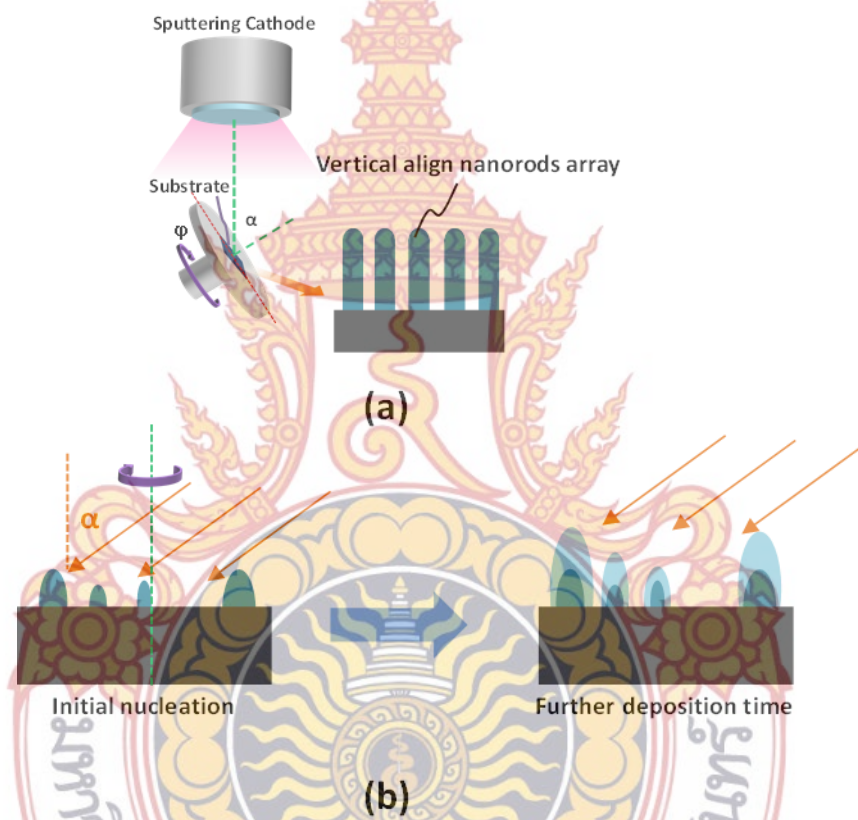
การทำให้เกิดโครงสร้างที่แบบคอลัมนาที่แยกออกจากกันโดยการปรับมุมระหว่างฟลักสารเคลือบกับแผ่นรองรับนั้นสามารถอธิบายได้จากปรากฏการณ์ Shadowing effect โดยเมื่อแผ่นรองรับถูกติดตั้งทำมุมสูงมากกับฟลักสารเคลือบ ส่งผลให้โมเลกุลของสารเคลือบไม่สามารถรวมตัวกันเป็นชั้นฟิล์มบางได้ แต่จะมีลักษณะการเริ่มรวมกันเป็นกลุ่มก้อนเล็กๆ (initial nucleation island) การกระจายตัวอยู่ทั่วพื้นผิว ซึ่งกลุ่มก้อนเล็กๆที่เริ่มต้นนี้ส่งผลให้เกิดการบดบังไม่ให้โมเลกุลสารเคลือบมาติดในบริเวณเล็กๆด้านหลังเนื่องจาก Geometric Shadowing effect ดังแสดงในรูปที่ 2.11 โดยเมื่อทำการเพิ่มเวลาในการเคลือบให้นานขึ้น กลุ่มก้อนเล็กๆก็จะเหมือนเป็นจุดศูนย์กลางที่ให้โมเลกุลของสารเคลือบมาติดต่อกันไปจนมีลักษณะเป็นแท่งคอลัมนาที่แยกออกจากกันและทำมุม  $\beta$  กับแผ่นรองรับ ซึ่งจะมีความสัมพันธ์โดยตรงต่อมุมตกกระทบกับแผ่นรองรับ ( $\alpha$ )



รูปที่ 2.11 การเกิดโครงสร้างแท่งนาโนแบบเอียงด้วยเทคนิค Oblique angle deposition

ทั้งนี้จะเห็นว่าเมื่อเป็นการเคลือบโดยให้มุมระหว่างแผ่นรองรับกับฟลักสารเคลือบคงที่ และไม่มี การหมุนแผ่นรองรับจะทำให้เกิดโครงสร้างที่เป็นลักษณะแท่งนาโนที่ทำมุมเอียงกับทิศทางของไอ

สารเคลือบ แต่เมื่อมีการหมุนแผ่นรองรับเกิดขึ้นในระหว่างทำการเคลือบจะพบว่าสามารถสร้างโครงสร้างนาโนที่มีลักษณะเป็นแท่งตั้งตรงขึ้นมาได้ เนื่องจากเมื่อแผ่นรองรับเกิดการหมุนส่งผลให้ไอสารเคลือบสามารถเข้ามาติดทุกทิศทางของกลุ่ม initial nucleation island ทำให้เกิดเป็นโครงสร้างแบบตั้งตรงขึ้นมาได้ โดยเรียกเทคนิคนี้ว่า glancing angle deposition (GLAD) ดังแสดงในรูปที่ 2.12 ทั้งนี้ความหนาแน่นของจำนวนแท่งนาโน ขนาดเส้นผ่านศูนย์กลางของแท่งนาโนและความพรุนของโครงสร้างแท่งนาโนที่สร้างขึ้นนี้สามารถควบคุมได้โดยการปรับความเร็วในการหมุนแผ่นรองรับ



รูปที่ 2.12 (a) การเคลือบฟิล์มบางด้วยเทคนิคสปีดเตอ และ (b) การเกิดโครงสร้างแท่งนาโนแบบเอียงด้วยเทคนิค glancing angle deposition

#### งานวิจัยที่เกี่ยวข้อง

ปี ค.ศ. 2013 M. Horprathum และคณะได้ทำการศึกษาการตอบสนองต่อก๊าซไนโตรเจนไดออกไซด์ ของทังสเตนไตรออกไซด์โครงสร้างแบบแท่งด้วยเทคนิคการเคลือบมุมเอียงโดยวิธีสปีดเตอริง พบว่าทังสเตนไตรออกไซด์ที่เคลือบที่มุมเอียง  $85^{\circ}$  แสดงโครงสร้างเป็นอนุสรณและแสดงลักษณะโครงสร้างแบบแท่ง ผลการตอบต่อก๊าซไนโตรเจนไดออกไซด์ พบว่าทังสเตนไตรออกไซด์โครงสร้าง

แบบแท่งตอบสนองต่อก๊าซไนโตรเจนไดออกไซด์ได้ดีกว่าฟิล์มบางทั้งสแตนไดรออกไซด์ นอกจากนี้ทั้งสแตนไดรออกไซด์โครงสร้างแบบแท่งที่อุณหภูมิ 500°C ให้ค่าตอบสนองต่อก๊าซไนโตรเจนไดออกไซด์ถึง 27 ที่ก๊าซไนโตรเจนไดออกไซด์ 2 ppm

ปี ค.ศ. 1995 M. Di Giulio และคณะได้ทำการเคลือบฟิล์มบาง SnO<sub>2</sub> ด้วยเทคนิค r.f. reactive sputtering โดยทำการศึกษาเปรียบเทียบการตรวจวัดก๊าซ CO ระหว่างฟิล์มบาง SnO<sub>2</sub> กับฟิล์มบาง SnO<sub>2</sub> ที่โดบด้วย Pt ผลการศึกษาพบว่า ฟิล์มบางทั้งสองแสดงโครงสร้างผลึกของ SnO<sub>2</sub> ที่พีค (110) (200) และ (101) และจากผลการตรวจวัดก๊าซ CO ที่ 500 ppm พบว่า ฟิล์มบาง SnO<sub>2</sub> มีอุณหภูมิทดสอบที่ 300°C มีค่าการตอบสนองต่อก๊าซ 120% ระยะเวลาการตอบสนอง 100 วินาที ระยะเวลาคืนตัว 200 วินาที และฟิล์มบาง SnO<sub>2</sub> ที่โดบด้วย Pt มีอุณหภูมิทดสอบที่ 170°C มีค่าการตอบสนองต่อก๊าซ 400% ระยะเวลาการตอบสนอง 180 วินาที ระยะเวลาคืนตัว 120 วินาที จากผลการทดสอบจะเห็นว่าการโดบด้วย Pt มีผลให้การใช้อุณหภูมิตดสอบน้อยลง และมีการตอบสนองต่อก๊าซเพิ่มสูงขึ้น

ปี ค.ศ. 1999 Vladimir V. Kissine ทำการศึกษาผลกระทบของอัตราการไหลของก๊าซออกซิเจนต่อสมบัติการตรวจวัดก๊าซของฟิล์มบาง SnO<sub>2</sub> โดยการเตรียมด้วยเทคนิค r.f. sputtering จากการศึกษาพบว่าฟิล์มบาง SnO<sub>2</sub> ที่เตรียมในบรรยากาศของก๊าซอาร์กอนมีโครงสร้างผลึกที่มีความเป็นออสัญฐาน และเมื่อนำไปอบที่อุณหภูมิ 600°C ฟิล์มแสดงโครงสร้างผลึกของ SnO<sub>2</sub> และฟิล์มบางที่เตรียมในบรรยากาศผสมของก๊าซอาร์กอนและก๊าซออกซิเจนพบว่าฟิล์มแสดงโครงสร้างผลึกของ SnO<sub>2</sub> มีขนาดเกรนประมาณ 100 nm มีการตอบสนองต่อก๊าซเอทานอลที่ 1500 ppm ผลจากการศึกษาพบว่าอัตราการไหลของก๊าซออกซิเจนส่งผลต่อโครงสร้างผลึกของ SnO<sub>2</sub> จากการเตรียมด้วยเทคนิค r.f. sputtering และยังส่งผลต่อการตอบสนองต่อก๊าซทดสอบ

ปี ค.ศ. 2008 Heyun Zhao ศึกษาผลของ SnO<sub>2</sub> nanorods ต่อการตอบสนองต่อก๊าซเอทานอล พบว่า SnO<sub>2</sub> nanorods มีโครงสร้างผลึกรูทึ่เฟสของ SnO<sub>2</sub> มีลักษณะเป็นแท่งขนาดเส้นผ่านศูนย์กลาง 20 nm ผลการทดสอบการตอบสนองต่อก๊าซเอทานอล 1000 ppm ต่ออุณหภูมิทดสอบมีค่าเพิ่มขึ้นตามอุณหภูมิที่สูงขึ้น และมีค่าการตอบสนองสูงสุดที่ 300°C แต่มีค่าการตอบสนองลดลงเมื่ออุณหภูมิมากกว่า 300°C ซึ่งเป็นผลมาจากไอออนของก๊าซออกซิเจนที่อุณหภูมิต่างๆ



### บทที่ 3

#### วิธีดำเนินการวิจัย

งานวิจัยนี้ได้แบ่งการทดลองเป็น 4 ขั้นตอนหลัก สำหรับประดิษฐ์และศึกษาหัววัดก๊าซชนิดทั้งสเตนออกไซด์และทินออกไซด์โครงสร้างระดับนาโนโดยมีขั้นตอนดังต่อไปนี้

1) ขั้นตอนการประดิษฐ์ Cr-Au Electrode สำหรับใช้เป็นขั้วไฟฟ้าในการตรวจวัดก๊าซด้วยเทคนิคการเคลือบแบบแมกนีตรอนสปัตเตอริง

เริ่มต้นจากการประดิษฐ์มาสก์ (Mask) สำหรับออกแบบลวดลายขั้วไฟฟ้า โดยใช้วิธีการชุบเคลือบผิวด้วยไฟฟ้า จากนั้นนำไปเคลือบฟิล์มสำหรับเป็นขั้วไฟฟ้าโดยใช้เทคนิคการเคลือบแบบแมกนีตรอนสปัตเตอริง

การสร้างมาสก์ด้วยวิธีการชุบเคลือบด้วยไฟฟ้า จะเริ่มต้นจากการออกแบบลวดลายขั้วไฟฟ้า ก่อนจากนั้นนำไปผ่านกระบวนการติดฟิล์ม (Dry Film Lamination) และฉายแสงด้วยเครื่อง Mask Aligner จากนั้นนำไปผ่านกระบวนการชุบเคลือบผิวโลหะด้วยไฟฟ้า ซึ่งโลหะที่ใช้เคลือบนี้เป็นโลหะนิกเกิล จากนั้นเคลือบฟิล์มสำหรับเป็นขั้วไฟฟ้าด้วยเทคนิคการเคลือบแบบแมกนีตรอนสปัตเตอริง โดยใช้เงื่อนไขการเคลือบดังนี้

ตารางที่ 3.1 เงื่อนไขการเคลือบ Cr-Au Electrode

ตัวแปรการเคลือบ	โครเมียม (Cr)	ทอง (Au)
แผ่นรองรับ	Alumina	Alumina coated thin Cr
เป้าสารเคลือบ	Cr (3inch diam, 99.95%)	Au (3inch diam, 99.95%)
ความดันก่อนเคลือบ	$<6.0 \times 10^{-6}$ mbar	$<6.0 \times 10^{-6}$ mbar
อัตราการไหลของอาร์กอน	4.0 sccm	4.0 sccm
ความดันระหว่างเคลือบ	$3.3 \times 10^{-3}$ mbar	$3.3 \times 10^{-3}$ mbar
กระแส	0.3 A	0.2 A
เวลา	3 นาที	5 นาที

2) การสังเคราะห์ทังสเตนไตรออกไซด์และทินออกไซด์โครงสร้างระดับนาโนด้วยวิธีการเคลือบแบบรีแอคทีฟแมกนีตรอนสปัตเตอริงร่วมกับเทคนิคการเคลือบมุมต่ำ โดยใช้เงื่อนไขการเคลือบดังนี้

ตารางที่ 3.2 เงื่อนไขการเคลือบฟิล์มบางทังสเตนออกไซด์

ตัวแปรการเคลือบ	ทังสเตนไตรออกไซด์ (WO <sub>3</sub> )
แผ่นรองรับ	Silicon wafer (100), Electrode
เป้าสารเคลือบ	W (3inch diam, 99.995%)
ความดันก่อนเคลือบ	<6.0x10 <sup>-6</sup> mbar
อัตราการไหลของอาร์กอน	8 sccm
อัตราการไหลของออกซิเจน	24 sccm
มุมที่ใช้ในการเคลือบฟิล์ม	0°, 45°, 60°, 70° และ 85°
อัตราการหมุนแผ่นรองรับ	1.6 rpm, 10 rpm, 20 rpm และ 30 rpm
ความดันระหว่างเคลือบ	5.0x10 <sup>-3</sup> mbar
กำลังไฟฟ้าในการเคลือบ	175 Watt
เวลาในการเคลือบ	60 นาที
อุณหภูมิในการอบฟิล์ม	300°C

ตารางที่ 3.3 เงื่อนไขการเคลือบฟิล์มบางทินออกไซด์

ตัวแปรการเคลือบ	ทินออกไซด์ (SnO <sub>2</sub> )	ทินออกไซด์โครงสร้างรูปร่าง (SnO <sub>2</sub> nanorod)
แผ่นรองรับ	Silicon wafer (100), Electrode	Silicon wafer (100), Electrode
เป้าสารเคลือบ	Sn (3inch diam, 99.99%)	Sn (3inch diam, 99.99%)
ความดันก่อนเคลือบ	< 6x10 <sup>-6</sup> mbar	< 6x10 <sup>-6</sup> mbar
อัตราการไหลของอาร์กอน	12 sccm	12 sccm
อัตราการไหลของออกซิเจน	48 sccm	48 sccm
มุมที่ใช้ในการเคลือบฟิล์ม	-	87°
อัตราการหมุนแผ่นรองรับ	-	5 rpm
ความดันระหว่างเคลือบ	6.0x10 <sup>-3</sup> mbar	6.0x10 <sup>-3</sup> mbar
กำลังไฟฟ้าในการเคลือบ	400 Watt	400 Watt
เวลาในการเคลือบ	60 นาที	60 นาที
อุณหภูมิในการอบฟิล์ม	300°C และ 400°C	300°C และ 400°C

3) การวิเคราะห์สมบัติของฟิล์มบางทั้งสแตนด์ไทรออกไซด์และฟิล์มบางทินออกไซด์โครงสร้างระดับนาโนโดยใช้เครื่องมือดังนี้

3.1 เครื่องมือ X-ray diffraction (XRD) สำหรับวิเคราะห์โครงสร้างผลึก

3.2 เครื่องมือ Field Emission Scanning Electron Microscopy (FE-SEM) สำหรับวิเคราะห์สมบัติทางกายภาพ

4) การทดสอบการตอบสนองต่อก๊าซทดสอบ โดยฟิล์มบางทั้งสแตนด์ไทรออกไซด์ทดสอบการตอบสนองต่อก๊าซเอทานอล และฟิล์มบางทินออกไซด์ทดสอบการตอบสนองต่อก๊าซไนโตรเจนไดออกไซด์

## บทที่ 4

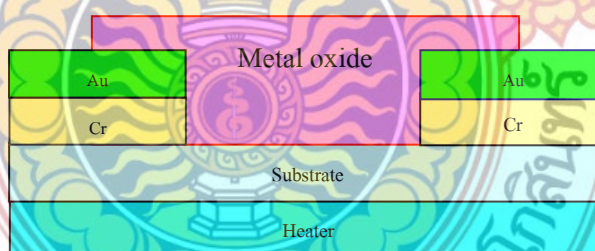
### ผลการดำเนินการวิจัย

รายงานผลการวิจัยในบทนี้เริ่มด้วยการประดิษฐ์ Cr-Au Electrode สำหรับใช้เป็นขั้วไฟฟ้า การศึกษาหัววัดก๊าซชนิดทั้งสแตนด์เอโลนไดรอกไซด์และทินออกไซด์ ตามด้วยการศึกษาคุณสมบัติการตรวจวัดก๊าซโดยมีรายละเอียดดังต่อไปนี้

#### 4.1 การประดิษฐ์ Cr-Au Electrode สำหรับใช้เป็นขั้วไฟฟ้าในการตรวจวัดก๊าซด้วยเทคนิคการเคลือบแบบแมกนีตรอนสปัตเตอริง

เริ่มต้นจากการประดิษฐ์มาสก์ (Mask) สำหรับออกแบบลวดลายขั้วไฟฟ้า โดยใช้วิธีการชุบเคลือบผิวด้วยไฟฟ้า จากนั้นนำไปเคลือบฟิล์มสำหรับเป็นขั้วไฟฟ้าโดยใช้เทคนิคการเคลือบแบบแมกนีตรอนสปัตเตอริง

การสร้างมาสก์ด้วยวิธีการชุบเคลือบด้วยไฟฟ้า จะเริ่มต้นจากการออกแบบลวดลายขั้วไฟฟ้า ก่อนจากนั้นนำไปผ่านกระบวนการติดฟิล์ม (Dry Film Lamination) และฉายแสงด้วยเครื่อง Mask Aligner จากนั้นนำไปผ่านกระบวนการชุบเคลือบผิวโลหะด้วยไฟฟ้า ซึ่งโลหะที่ใช้เคลือบนี้เป็นโลหะนิกเกิล จากนั้นเคลือบฟิล์มสำหรับเป็นขั้วไฟฟ้าด้วยเทคนิคการเคลือบแบบแมกนีตรอนสปัตเตอริง แผนภาพหัววัดก๊าซแสดงในรูปที่ 4.1



รูปที่ 4.1 แผนภาพไดอะแกรมหัววัดก๊าซ

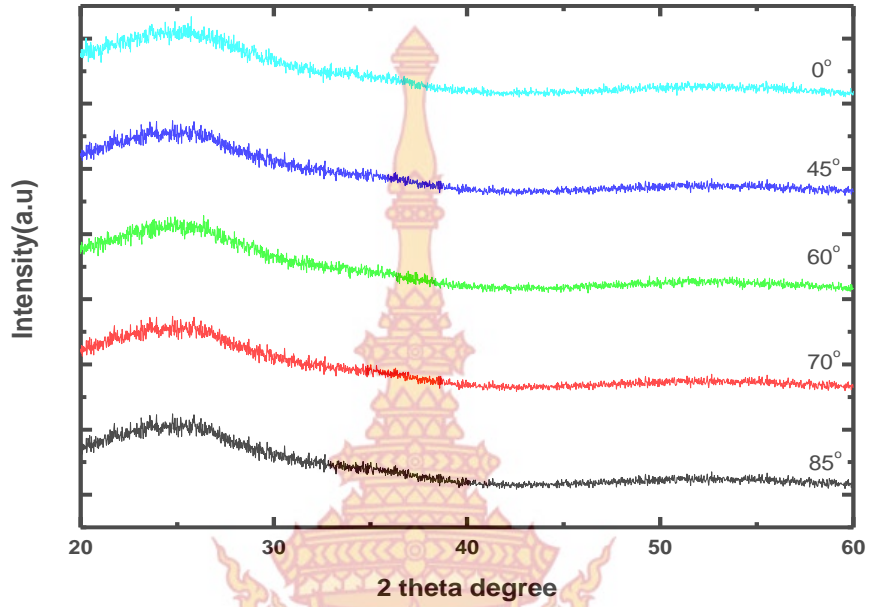
จากเงื่อนไขการเคลือบฟิล์มโลหะสำหรับสร้างขั้วไฟฟ้าที่ได้กำหนดดังรายละเอียดตามตารางที่ 3.1 สำหรับการเคลือบฟิล์มโลหะโครเมียม (Cr) ซึ่งเป็น Adhesive layer นั้น ผลที่ได้จากการปล่อยก๊าซอาร์กอนเข้าไปในระบบ ทำให้ระบบมีความดันประมาณ  $3.3 \times 10^{-3}$  mbar หลังจากเคลือบเป็นเวลา 3 นาที ผลจากการวัดความหนาประมาณ 380 นาโนเมตร ส่วนการเคลือบฟิล์มโลหะทอง (Au) ซึ่งเป็นขั้วไฟฟ้าของเซนเซอร์ เมื่อปล่อยก๊าซอาร์กอนเข้าไปในระบบ ระบบจะมีความดัน

ประมาณ  $3.3 \times 10^{-3}$  mbar ภายหลังจากเคลือบฟิล์มเป็นเวลา 5 นาที ความหนาที่วัดได้มีค่าประมาณ 420 นาโนเมตร ผลการวัดความหนาของฟิล์มจะทำให้ทราบความหยาบหรือความขรุขระของฟิล์มที่เคลือบแบบหยาบๆ ได้ ซึ่งอาจจะเป็นผลมาจากความสะอาดชิ้นงาน ซึ่งมีฝุ่น คราบสกปรกที่มากเกาะภายหลังจากการเคลือบฟิล์ม หรืออาจเป็นผลมาจากความสม่ำเสมอ (Uniform) ของการสเป็คเตอร์เนื่องมาจากตำแหน่งการวางชิ้นงานเปลี่ยนไป

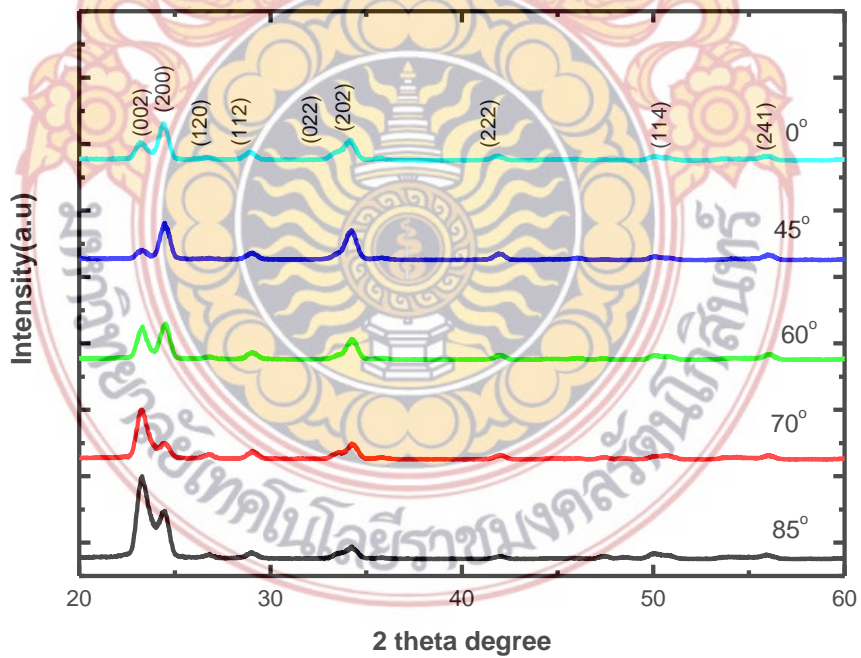
#### 4.2 ผลการศึกษาสมบัติทางกายภาพและสมบัติการตรวจวัดก๊าศของทั้งสแตนไดรออกไซด์โครงสร้างระดับนาโนด้วยเทคนิคการเคลือบมุมต่ำโดยวิธีการเคลือบแบบรีแอคทีฟแมกนีตรอนสเป็คเตอรืง

ในส่วนนี้จะอธิบายการเคลือบฟิล์มบางทั้งสแตนไดรออกไซด์ด้วยด้วยเทคนิคการเคลือบมุมต่ำโดยวิธีการเคลือบแบบรีแอคทีฟแมกนีตรอนสเป็คเตอรืง ลงบนวัสดุรองรับ Si wafer (110) และขั้วไฟฟ้า Cr-Au (Cr-Au electrode) โดยจะอธิบายถึงผลของมุมการเคลือบต่อสมบัติทางกายภาพของฟิล์มบางทั้งสแตนไดรออกไซด์ สมบัติทางกายภาพของฟิล์มบางทั้งสแตนไดรออกไซด์วิเคราะห์ด้วยเครื่อง X-ray diffraction (XRD) และ scanning electron microscope (SEM) และศึกษาสมบัติการตรวจวัดก๊าศเอทานอล

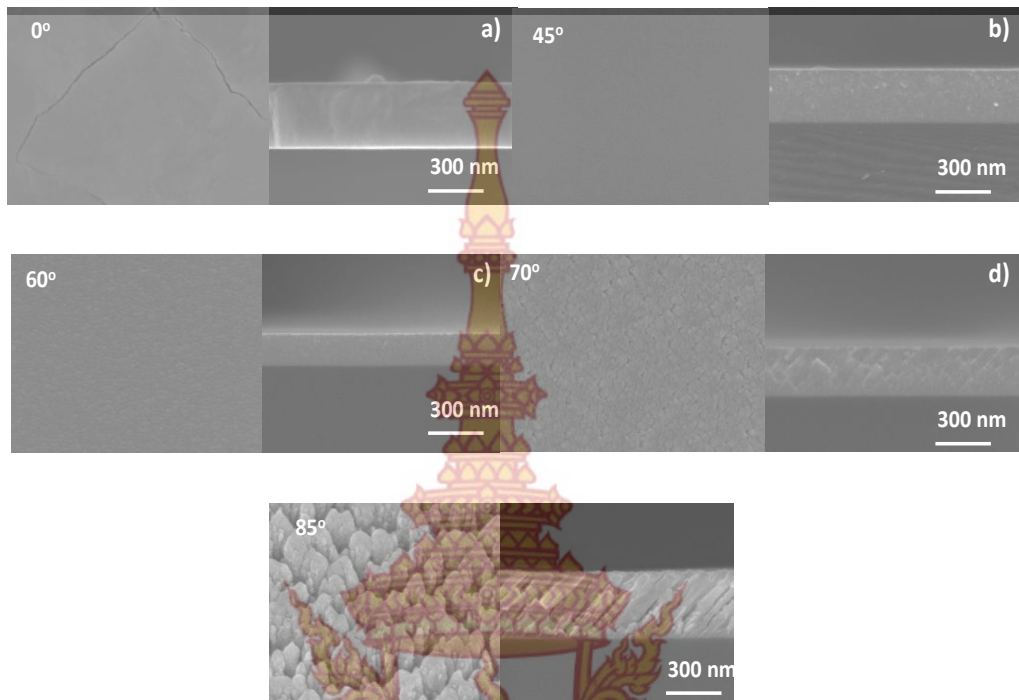
โครงสร้างผลึกของฟิล์มบางทั้งสแตนไดรออกไซด์ที่มุมการเคลือบ  $0^\circ$ ,  $45^\circ$ ,  $60^\circ$ ,  $70^\circ$  และ  $85^\circ$  แสดงด้วยแผนภาพการเลี้ยวเบนรังสีเอ็กซ์ ดังรูปที่ 4.2 พบว่าโครงสร้างผลึกของฟิล์มบางทั้งสแตนไดรออกไซด์แสดงโครงสร้างอัญฐานของทั้งสแตนไดรออกไซด์ที่ทุกมุมของการเคลือบเนื่องจากพลังงานในการเคลือบมีค่าต่ำ เมื่ออบฟิล์มบางทั้งสแตนไดรออกไซด์ที่มุมการเคลือบ  $0^\circ$ ,  $45^\circ$ ,  $60^\circ$ ,  $70^\circ$  และ  $85^\circ$  ด้วยอุณหภูมิ  $300^\circ\text{C}$  พบว่าฟิล์มบางทั้งสแตนไดรออกไซด์ มีการจัดเรียงตัวโครงสร้างผลึกเกิดขึ้น เนื่องจากผลของการอบฟิล์มเป็นการให้พลังงานกับฟิล์มบางทั้งสแตนไดรออกไซด์ทำให้ฟิล์มบางทั้งสแตนไดรออกไซด์มีการจัดเรียงตัวเป็นโครงผลึกได้ ดังแสดงในรูปที่ 4.3



รูปที่4.2 แผนภาพการเลี้ยวเบนรังสีเอ็กซ์ของฟิล์มบางทั้งสแตนไดรออกไซด์ที่มุมการเคลือบ 0°, 45°, 60°, 70° และ 85°



รูปที่4.3 แผนภาพการเลี้ยวเบนรังสีเอ็กซ์ของฟิล์มบางทั้งสแตนไดรออกไซด์ที่มุมการเคลือบ 0°, 45°, 60°, 70° และ 85° ที่อบด้วยอุณหภูมิ 300 °C

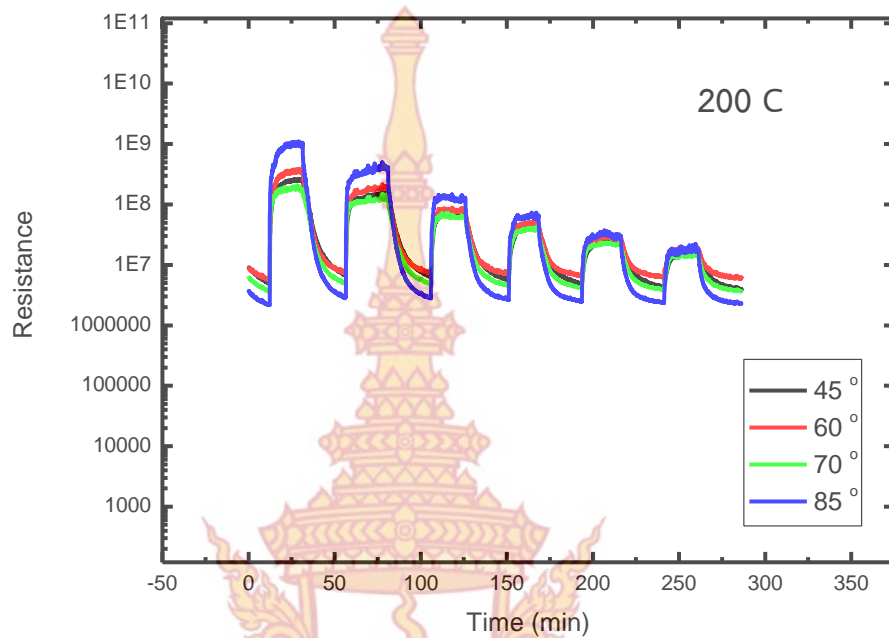


รูปที่ 4.4 แผนภาพพื้นผิวของฟิล์มบางทั้งสแตนไดรออกไซด์ที่มุมการเคลือบ  $0^\circ$ ,  $45^\circ$ ,  $60^\circ$ ,  $70^\circ$  และ  $85^\circ$

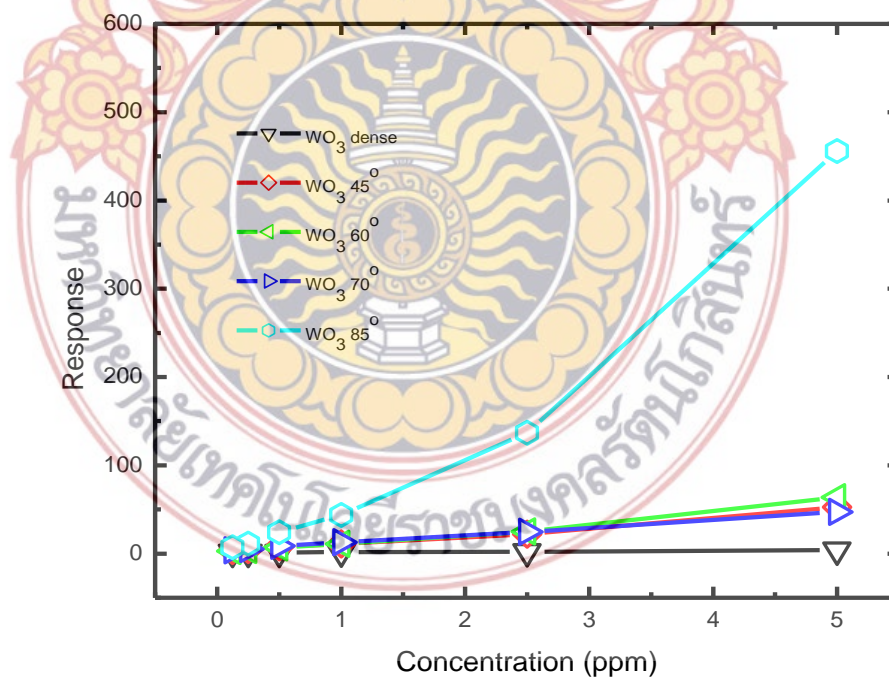
แผนภาพพื้นผิวของฟิล์มบางทั้งสแตนไดรออกไซด์ที่มุมการเคลือบ  $0^\circ$ ,  $45^\circ$ ,  $60^\circ$ ,  $70^\circ$  และ  $85^\circ$  แสดงดังรูปที่ 4.4 พบว่าฟิล์มบางทั้งสแตนไดรออกไซด์ที่เตรียมที่มุมการเคลือบ  $0^\circ$ ,  $45^\circ$ ,  $60^\circ$ ,  $70^\circ$  และ  $85^\circ$  มีลักษณะผิวเป็นโครงสร้างผลึกรูปแท่งเพิ่มมากขึ้นที่มุมการเคลือบเพิ่มขึ้นจาก  $0^\circ$  ถึง  $85^\circ$  โดยแสดงลักษณะผิวเป็นโครงสร้างผลึกรูปแท่งที่ดีที่สุดที่มุมการเคลือบ  $85^\circ$

ผลการตรวจวัดก๊าซเอทานอล (Ethanol) ของฟิล์มบางทั้งสแตนไดรออกไซด์จะทำการศึกษาฟิล์มบางทั้งสแตนไดรออกไซด์ที่เตรียมที่มุมการเคลือบ  $0^\circ$ ,  $45^\circ$ ,  $60^\circ$ ,  $70^\circ$  และ  $85^\circ$  โดยจะทำการวัดในเทอมความต้านทานและความไวในการตรวจวัด ที่อุณหภูมิสำหรับการตรวจวัด  $200^\circ\text{C}$  และ อัตราการไหลของก๊าซเอทานอล  $0.1 - 5 \text{ ppm}$  พบว่าความต้านทานของของฟิล์มบางทั้งสแตนไดรออกไซด์เพิ่มขึ้นเมื่ออยู่ในสภาวะของก๊าซเอทานอลซึ่งเป็นก๊าซรีดิวซ์ แสดงให้เห็นว่าฟิล์มบางทั้งสแตนไดรออกไซด์มีคุณสมบัติของสารกึ่งตัวนำชนิดพี และความไวในการตรวจวัดก๊าซเอทานอลจะมีค่าเพิ่มขึ้นที่มุมการเคลือบเพิ่มขึ้นจาก  $0^\circ$  ถึง  $85^\circ$  เนื่องจากลักษณะพื้นผิวของฟิล์มบางทั้งสแตนไดรออกไซด์มีลักษณะเป็นโครงสร้างผลึกรูปแท่งเพิ่มมากขึ้นที่มุมการเคลือบเพิ่มขึ้นดังแสดงในรูปที่ 4.5

ทำให้ฟิล์มบางทังสเตนไตรออกไซด์มีอัตราส่วนระหว่างพื้นผิวต่อปริมาตรเพิ่มมากขึ้น ซึ่งทำให้เกิดอันตรกิริยาระหว่างผิวฟิล์มกับก๊าซมากขึ้นเช่นกัน



รูปที่ 4.5 แผนภาพความต้านทานของฟิล์มบางทังสเตนไตรออกไซด์โครงสร้างแบบแท่ง สำหรับการตรวจวัดก๊าซเอทานอลที่อุณหภูมิ 200°C

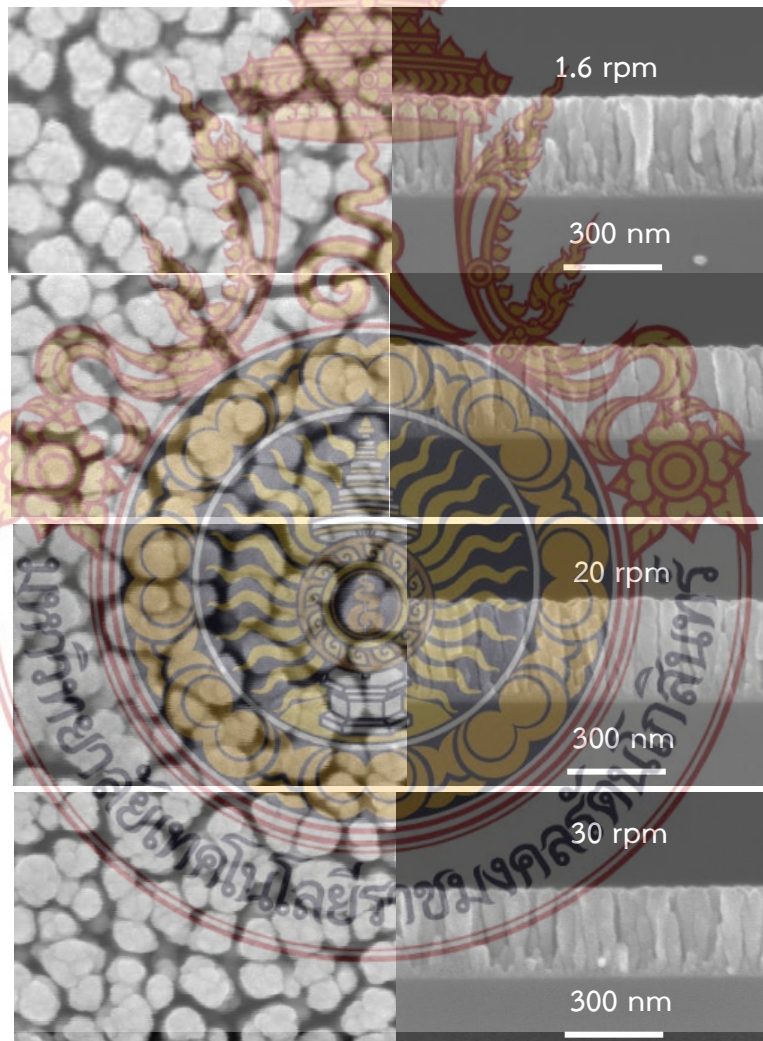


รูปที่ 4.6 ความไวในการตรวจวัดก๊าซเอทานอลของฟิล์มบางทังสเตนไตรออกไซด์โครงสร้างแบบแท่งกับปริมาณก๊าซเอทานอลที่อุณหภูมิ 200°C

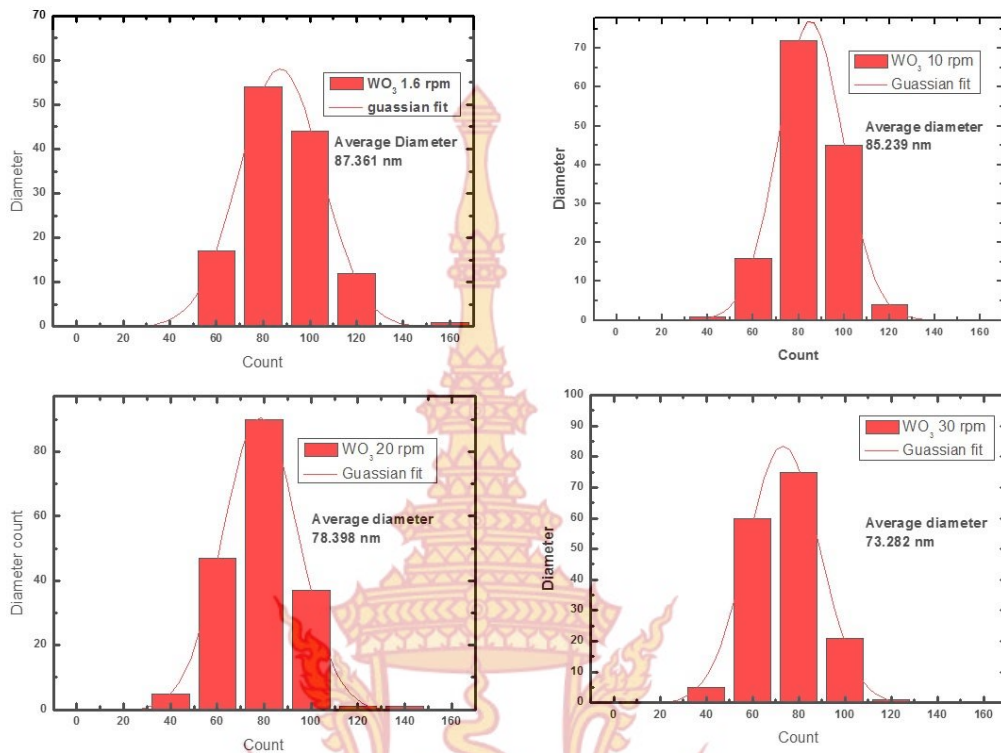


ปริมาณก๊าซเอทานอลเพิ่มขึ้นจาก 0.1 - 5 ppm ทำให้เกิดอันตรกิริยาระหว่างผิวฟิล์มกับก๊าซเพิ่มมากขึ้นจากปริมาณก๊าซเอทานอลที่มากขึ้น ความไวในการตรวจวัดกับปริมาณก๊าซเอทานอลของฟิล์มบางทังสเตนไดรออกไซด์แสดงในรูปที่ 4.6 แสดงให้เห็นว่าความไวในการตรวจวัดก๊าซเอทานอลมีค่าเพิ่มมากขึ้นเมื่อปริมาณก๊าซเอทานอลเพิ่มขึ้น

แผนภาพพื้นผิวของฟิล์มบางทังสเตนไดรออกไซด์ที่มุมการเคลือบ  $85^\circ$  และอัตราการหมุน 1.6 rpm, 5 rpm, 10 rpm 20 rpm และ 30 rpm แสดงดังรูปที่ 4.7 พบว่าฟิล์มบางทังสเตนไดรออกไซด์ที่เตรียมที่อัตราการหมุน 1.6 rpm, 5 rpm, 10 rpm 20 rpm และ 30 rpm มีลักษณะผิวเป็นโครงสร้างผลึกรูปแท่งเหมือนกัน โดยแสดงลักษณะโครงสร้างผลึกรูปแท่งมีขนาดเส้นผ่านศูนย์กลางเล็กลงเมื่ออัตราการหมุนเพิ่มขึ้นดังแสดงในรูปที่ 4.8



รูปที่ 4.7 แผนภาพพื้นผิวของฟิล์มบางทังสเตนไดรออกไซด์ที่มุมการเคลือบ  $85^\circ$  และอัตราการหมุน 1.6 rpm, 10 rpm, 20 rpm และ 30 rpm



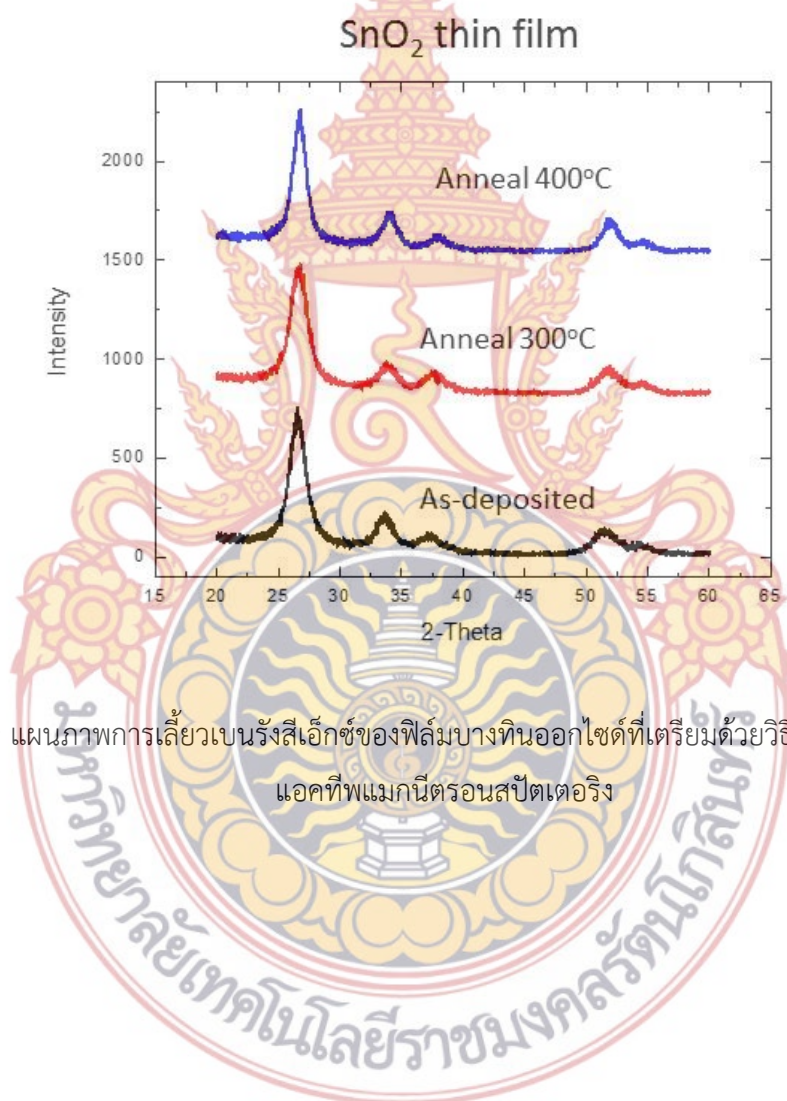
รูปที่ 4.8 แผนภาพแสดง average diameter ของโครงสร้างรูปร่างของฟิล์มบางทั้งสแตนไดร ออกไซด์ที่มุมการเคลือบ  $85^\circ$  และอัตราการหมุน 1.6 rpm, 10 rpm, 20 rpm และ 30 rpm

#### 4.3 ผลการศึกษาสมบัติทางกายภาพและสมบัติการตรวจวัดก๊าซของทินออกไซด์โครงสร้างระดับนาโนด้วยเทคนิคการเคลือบมุมต่ำโดยวิธีการเคลือบแบบรีแอคทีฟแมกนีตรอนสปีดเตอริง

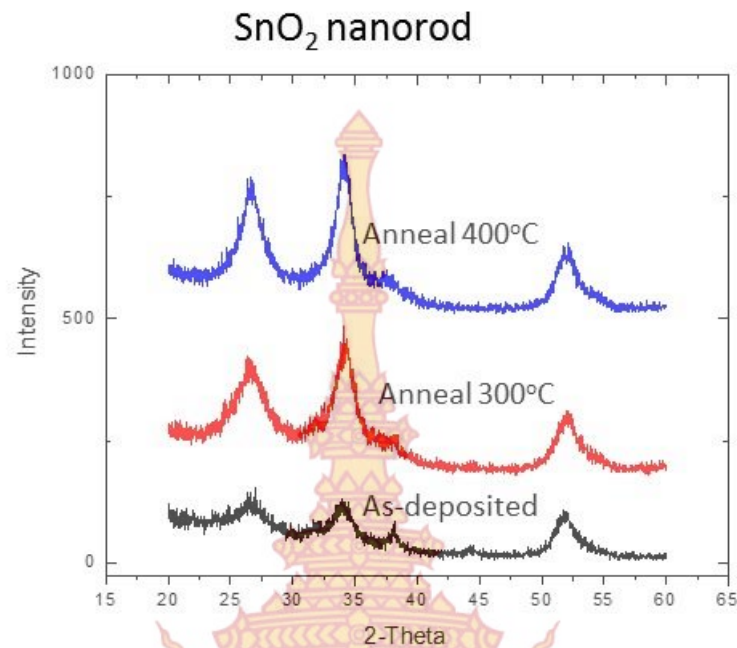
ในส่วนนี้จะอธิบายเปรียบเทียบระหว่างการเคลือบฟิล์มบางทินออกไซด์ด้วยวิธีการเคลือบแบบรีแอคทีฟแมกนีตรอนสปีดเตอริง และเทคนิคการเคลือบมุมต่ำโดยวิธีการเคลือบแบบรีแอคทีฟแมกนีตรอนสปีดเตอริง ลงบนวัสดุรองรับ Si wafer (110) และ ขั้วไฟฟ้า Cr-Au (Cr-Au electrode) โดยจะอธิบายถึงผลของการอบฟิล์มบางทินออกไซด์ สมบัติทางกายภาพของฟิล์มบางทินออกไซด์ โดยการศึกษาสมบัติทางกายภาพของฟิล์มบางทินออกไซด์ด้วยการวิเคราะห์ด้วยเครื่อง X-ray diffraction (XRD) และ scanning electron microscope (SEM) และศึกษาสมบัติการตรวจวัดก๊าซไนโตรเจนไดออกไซด์

โครงสร้างผลึกของฟิล์มบางทินออกไซด์ที่เตรียมด้วยวิธีการเคลือบแบบรีแอคทีฟแมกนีตรอนสปีดเตอริง และเทคนิคการเคลือบมุมต่ำโดยวิธีการเคลือบแบบรีแอคทีฟแมกนีตรอนสปีดเตอริง และ

ฟิล์มบางทिनออกไซด์ที่อุณหภูมิ 300°C และ 400°C แสดงด้วยแผนภาพการเลี้ยวเบนรังสีเอ็กซ์ ดังรูปที่ 4.9 และรูปที่ 4.10 ตามลำดับ พบว่าฟิล์มบางทिनออกไซด์แสดงโครงสร้างผลึกของทिनออกไซด์ เฟส tetragonal ที่พิกัด 26.72°, 34.03° และ 51.91° ทั้งวิธีการเคลือบแบบรีแอคทีฟแมกนีตรอนสปัตเตอริง และเทคนิคการเคลือบมูมต่ำโดยวิธีการเคลือบแบบรีแอคทีฟแมกนีตรอนสปัตเตอริง และมีความเป็นโคงผลึกมากขึ้นเมื่อทำการอบฟิล์มบางทिनออกไซด์ที่อุณหภูมิ 300°C และ 400°C เนื่องจากผลของการอบฟิล์มเป็นการให้พลังงานกับฟิล์มบางทिनออกไซด์ทำให้ฟิล์มบางทिनออกไซด์มีการจัดเรียงตัวเป็นโคงผลึกได้ดียิ่งขึ้น



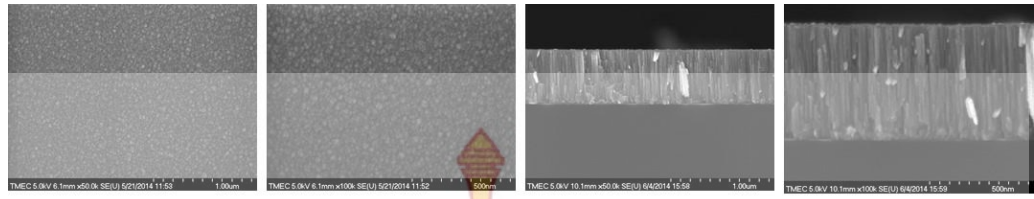
รูปที่ 4.9 แผนภาพการเลี้ยวเบนรังสีเอ็กซ์ของฟิล์มบางทिनออกไซด์ที่เตรียมด้วยวิธีการเคลือบแบบรีแอคทีฟแมกนีตรอนสปัตเตอริง



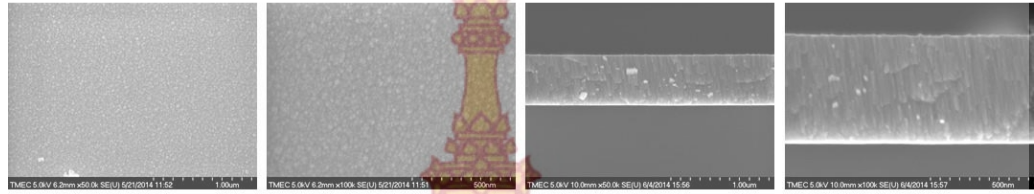
รูปที่ 4.10 แผนภาพการเลี้ยวเบนรังสีเอ็กซ์ของฟิล์มบางทिनออกไซด์ที่เตรียมด้วยเทคนิคการเคลือบหมุนต่ำโดยวิธีการเคลือบแบบรีแอคทีฟแมกนีตรอนสปัตเตอริง

แผนภาพของทिनออกไซด์เตรียมด้วยวิธีการเคลือบแบบรีแอคทีฟแมกนีตรอนสปัตเตอริงริง และอบฟิล์มบางทिनออกไซด์ที่อุณหภูมิ 300°C และ 400°C แสดงในรูปที่ 4.11 พบว่าฟิล์มบางทिनออกไซด์แสดงลักษณะเป็นเกรนที่บริเวณพื้นผิวของฟิล์มบางทिनออกไซด์ และลักษณะเนื้อฟิล์มบางทिनออกไซด์แน่นเป็นเนื้อเดียวกัน เมื่ออบฟิล์มบางทिनออกไซด์ที่อุณหภูมิสูงขึ้นขนาดของเกรนมีขนาดเล็กลงและเนื้อฟิล์มแน่นมากขึ้นเนื่องด้วยฟิล์มบางทिनออกไซด์มีลักษณะเป็นโครงสร้างผลึกมากขึ้น

แผนภาพของทिनออกไซด์เตรียมด้วยเทคนิคการเคลือบหมุนต่ำโดยวิธีการเคลือบแบบรีแอคทีฟแมกนีตรอนสปัตเตอริงและอบฟิล์มบางทिनออกไซด์ที่อุณหภูมิ 300°C และ 400°C แสดงในรูปที่ 4.12 พบว่าฟิล์มบางทिनออกไซด์แสดงลักษณะเป็นเกรนต่างๆกันที่บริเวณพื้นผิวของฟิล์มบางทिनออกไซด์ และเนื้อฟิล์มบางทिनออกไซด์แสดงลักษณะเป็นโครงสร้างผลึกประเภทต่างๆ

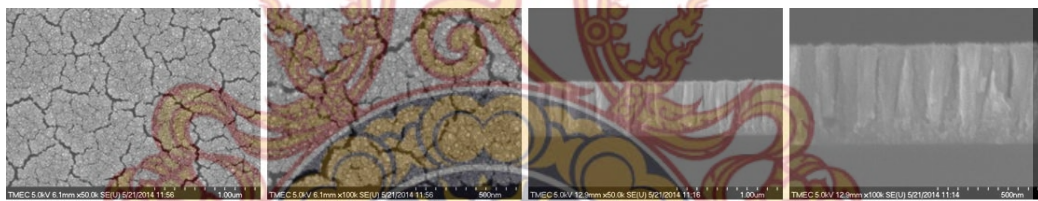


**SnO<sub>2</sub> dense film anneal at 300°C**

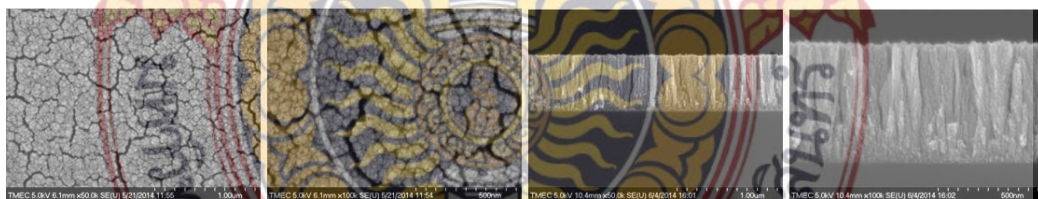


**SnO<sub>2</sub> dense film anneal at 400°C**

รูปที่ 4.11 แผนภาพทินออกไซด์ที่เตรียมด้วยวิธีการเคลือบแบบรีแอคทีฟแมกนีตรอนสปัตเตอริงและอบด้วยอุณหภูมิ 300°C และ 400°C



**SnO<sub>2</sub> nanorod anneal at 300°C**



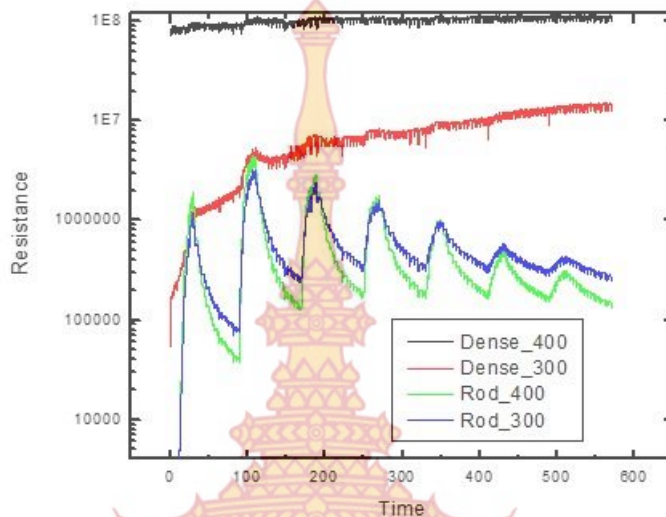
**SnO<sub>2</sub> nanorod anneal at 400°C**

รูปที่ 4.12 แผนภาพทินออกไซด์ที่เตรียมด้วยเทคนิคการเคลือบมุ่มต่ำโดยวิธีการเคลือบแบบรีแอคทีฟแมกนีตรอนสปัตเตอริงและอบด้วยอุณหภูมิ 300°C และ 400°C

การศึกษาการตอบสนองต่อก๊าซไนโตรเจนไดออกไซด์เป็นการวัดการเปลี่ยนแปลงกระแสไฟฟ้าของเซนเซอร์ หรือกล่าวอีกอย่างหนึ่งก็คือห้วงวัดก๊าซมีความต้านทานไฟฟ้าเปลี่ยนแปลงเมื่อมีก๊าซไนโตรเจนไดออกไซด์มาแลกเปลี่ยนไอออนหรือมาดูดซับที่ผิวของฟิล์มบางทินออกไซด์และฟิล์มบางทินออกไซด์โครงสร้างแบบแท่ง ซึ่งจะเห็นได้ว่าฟิล์มบางทินออกไซด์โครงสร้างแบบแท่งจะตอบสนองต่อก๊าซไนโตรเจนไดออกไซด์ได้ดีกว่าฟิล์มบางทินออกไซด์ จากรูปที่ 4.13 รูปที่ 4.14 รูปที่ 4.15 รูปที่ 4.16 รูปที่ 4.17 และรูปที่ 4.18 แสดงแผนภาพความต้านทานของฟิล์มบางทินออกไซด์และฟิล์มบางทินออกไซด์โครงสร้างแบบแท่งสำหรับการตรวจวัดก๊าซไนโตรเจนไดออกไซด์ที่อุณหภูมิ  $60^{\circ}\text{C}$   $80^{\circ}\text{C}$   $100^{\circ}\text{C}$   $150^{\circ}\text{C}$   $200^{\circ}\text{C}$  และ  $250^{\circ}\text{C}$  ตามลำดับ พบว่าความต้านทานของฟิล์มบางทินออกไซด์และฟิล์มบางทินออกไซด์โครงสร้างแบบแท่งเพิ่มขึ้นเมื่ออยู่ในสภาวะของก๊าซไนโตรเจนไดออกไซด์ซึ่งเป็นก๊าซออกซิไดซ์ แสดงให้เห็นว่าฟิล์มบางทินออกไซด์และฟิล์มบางทินออกไซด์โครงสร้างแบบแท่งมีคุณสมบัติของสารกึ่งตัวนำชนิดเอ็น และพบว่าการตอบสนองต่อก๊าซไนโตรเจนไดออกไซด์ของฟิล์มบางทินออกไซด์โครงสร้างแบบแท่งมีค่าการตอบสนองต่อก๊าซไนโตรเจนไดออกไซด์สูงกว่าฟิล์มบางทินออกไซด์ เนื่องจากฟิล์มบางทินออกไซด์โครงสร้างแบบแท่งมีขนาดพื้นที่ผิวต่อปริมาตรสูง จึงทำให้เกิดอันตรกิริยาดูดซับที่ผิวต่อก๊าซไนโตรเจนไดออกไซด์ของฟิล์มบางทินออกไซด์โครงสร้างแบบแท่งได้ดีกว่าฟิล์มบางทินออกไซด์ และพบว่าการตอบสนองต่อก๊าซไนโตรเจนไดออกไซด์ของฟิล์มบางทินออกไซด์และฟิล์มบางทินออกไซด์โครงสร้างแบบแท่งจะมีค่าเพิ่มขึ้นสูงสุดที่อุณหภูมิ  $150^{\circ}\text{C}$  และถ้าเพิ่มอุณหภูมิขึ้นอีกการตอบสนองต่อก๊าซไนโตรเจนไดออกไซด์ของฟิล์มบางทินออกไซด์และฟิล์มบางทินออกไซด์โครงสร้างแบบแท่งจะลดลง ดังแสดงรูปที่ 4.19

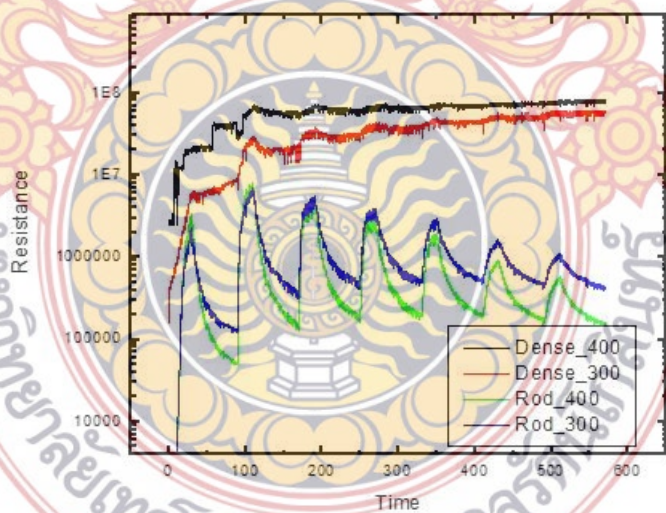


### Operating temperature at 60°C



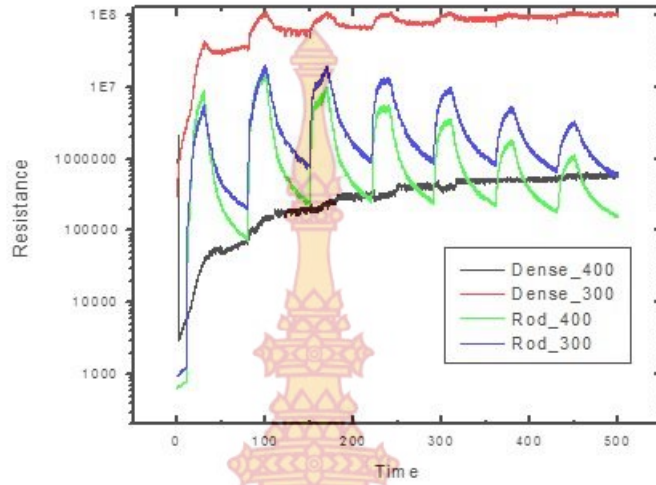
รูปที่ 4.13 แผนภาพความต้านทานของฟิล์มบางทินออกไซด์และฟิล์มบางทินออกไซด์โครงสร้างแบบ  
แท่งสำหรับการตรวจวัดก๊าซไนโตรเจนไดออกไซด์ที่อุณหภูมิ 60°C

### Operating temperature at 80°C



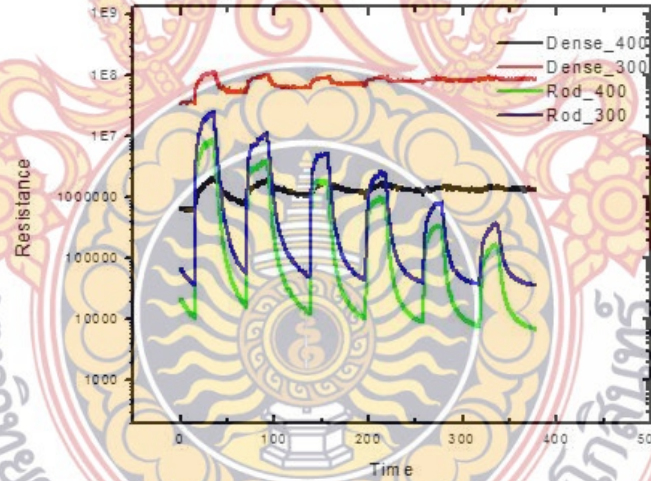
รูปที่ 4.14 แผนภาพความต้านทานของฟิล์มบางทินออกไซด์และฟิล์มบางทินออกไซด์โครงสร้างแบบ  
แท่งสำหรับการตรวจวัดก๊าซไนโตรเจนไดออกไซด์ที่อุณหภูมิ 80°C

### Operating temperature at 100°C



รูปที่ 4.15 แผนภาพความต้านทานของฟิล์มบางทินออกไซด์และฟิล์มบางทินออกไซด์โครงสร้างแบบ  
แท่งสำหรับการตรวจวัดก๊าซไนโตรเจนไดออกไซด์ที่อุณหภูมิ 100°C

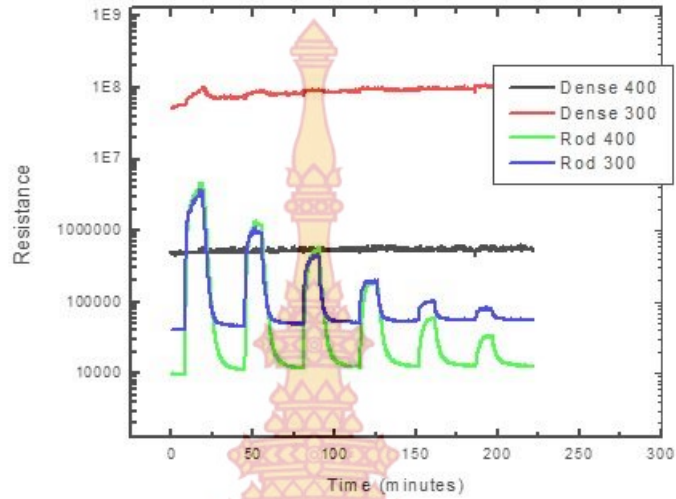
### Operating temperature at 150°C



รูปที่ 4.16 แผนภาพความต้านทานของฟิล์มบางทินออกไซด์และฟิล์มบางทินออกไซด์โครงสร้างแบบ  
แท่งสำหรับการตรวจวัดก๊าซไนโตรเจนไดออกไซด์ที่อุณหภูมิ 150°C

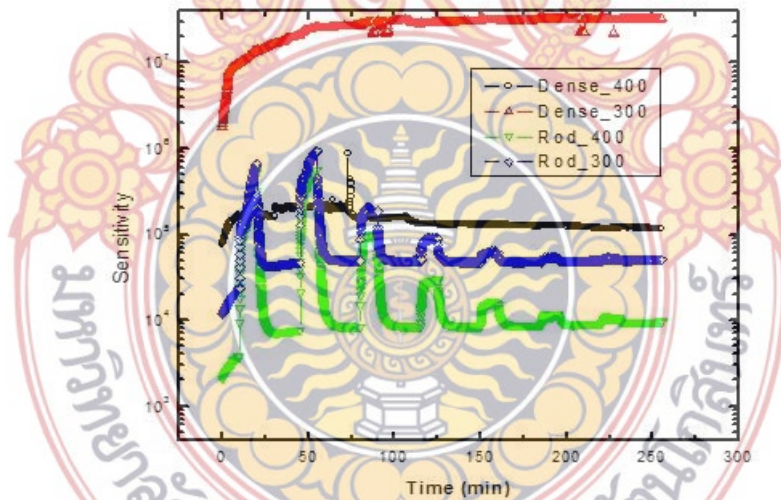


### Operating temperature at 200°C



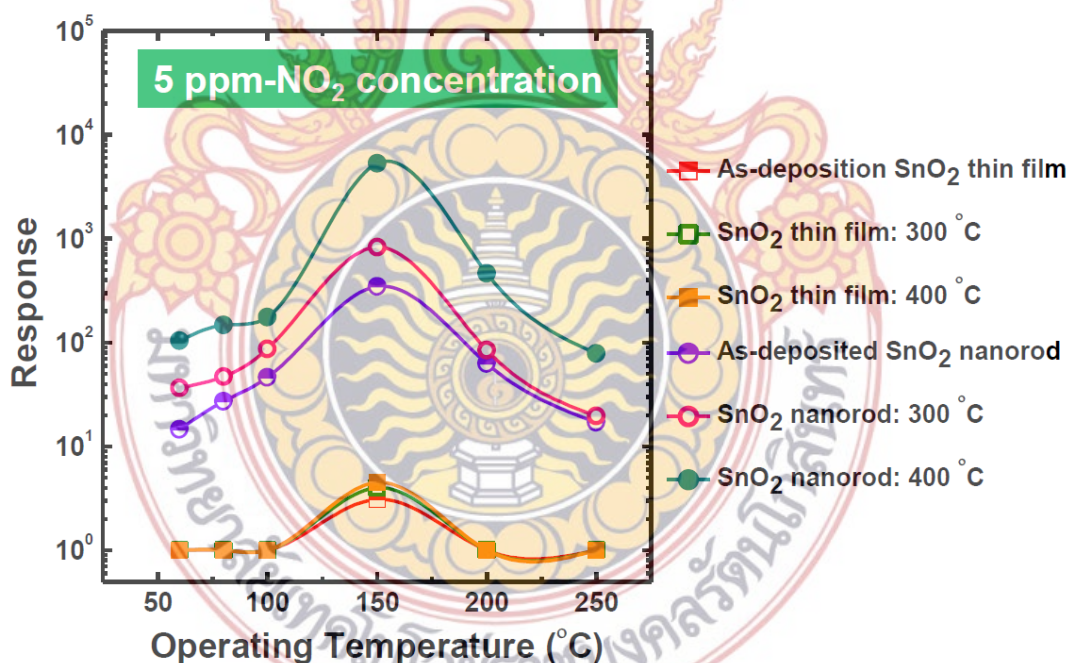
รูปที่ 4.17 แผนภาพความต้านทานของฟิล์มบางทินออกไซด์และฟิล์มบางทินออกไซด์โครงสร้างแบบแท่งสำหรับการตรวจวัดก๊าซไนโตรเจนไดออกไซด์ที่อุณหภูมิ 200°C

### Operating temperature at 250°C



รูปที่ 4.18 แผนภาพความต้านทานของฟิล์มบางทินออกไซด์และฟิล์มบางทินออกไซด์โครงสร้างแบบแท่งสำหรับการตรวจวัดก๊าซไนโตรเจนไดออกไซด์ที่อุณหภูมิ 250°C

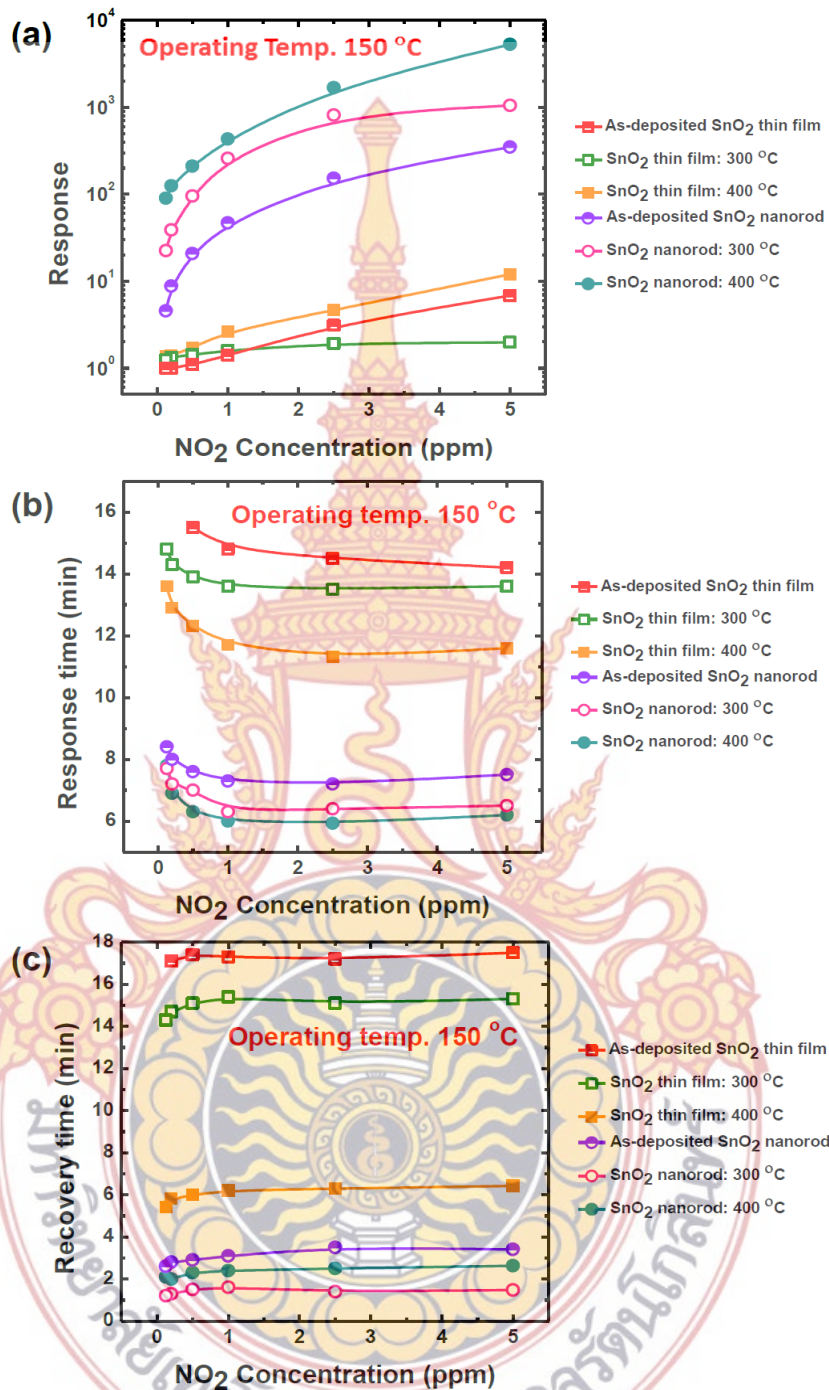
แผนภาพการตอบสนองต่อก๊าซไนโตรเจนไดออกไซด์ของฟิล์มบางทินออกไซด์และฟิล์มบางทินออกไซด์โครงสร้างแบบแท่งที่อุณหภูมิ 150 °C ในรูปที่ 4.19 แสดงให้เห็นว่าการตอบสนองต่อก๊าซไนโตรเจนไดออกไซด์ของฟิล์มบางทินออกไซด์และฟิล์มบางทินออกไซด์โครงสร้างแบบแท่งจะมีค่าเพิ่มขึ้นสูงสุดที่อุณหภูมิ 150 °C เป็นผลมาจากอันตรกิริยาการดูดซับที่ผิวของฟิล์มบางทินออกไซด์และฟิล์มบางทินออกไซด์โครงสร้างแบบแท่ง ที่อุณหภูมิการตรวจวัดต่ำจนถึงอุณหภูมิ 150 °C ออกซิเจนในบรรยากาศมีการไอออไนเซชันเป็นไอออน ( $O^-$  และ  $O^{2-}$ ) ได้น้อย ทำให้ก๊าซไนโตรเจนไดออกไซด์มีการดูดซับที่ผิวของฟิล์มบางทินออกไซด์และฟิล์มบางทินออกไซด์โครงสร้างแบบแท่งได้มาก ทำให้ฟิล์มบางทินออกไซด์และฟิล์มบางทินออกไซด์โครงสร้างแบบแท่งมีการตอบสนองต่อก๊าซไนโตรเจนไดออกไซด์ได้สูง และเมื่อเพิ่มอุณหภูมิเกิน 150 °C ออกซิเจนในบรรยากาศมีการไอออไนเซชันเป็นไอออนได้มากขึ้น ทำให้ออกซิเจนไอออนดูดซับที่ผิวของฟิล์มบางทินออกไซด์และฟิล์มบางทินออกไซด์โครงสร้างแบบแท่งได้มากขึ้น และก๊าซไนโตรเจนไดออกไซด์มีการดูดซับที่ผิวของฟิล์มบางทินออกไซด์และฟิล์มบางทินออกไซด์โครงสร้างแบบแท่งได้น้อยลง ทำให้ฟิล์มบางทินออกไซด์และฟิล์มบางทินออกไซด์โครงสร้างแบบแท่งมีการตอบสนองต่อก๊าซไนโตรเจนไดออกไซด์ได้ลดลงตามไปด้วย



รูปที่ 4.19 แผนภาพการตอบสนองต่อก๊าซไนโตรเจนไดออกไซด์ของฟิล์มบางทินออกไซด์และฟิล์มบางทินออกไซด์โครงสร้างแบบแท่งที่อุณหภูมิ 150 °C

แผนภาพการตอบสนองต่อก๊าซไนโตรเจนไดออกไซด์ที่ปริมาณ 0.1 – 5 ppm ของฟิล์มบางทินออกไซด์และฟิล์มบางทินออกไซด์โครงสร้างแบบแท่งที่อุณหภูมิ 150°C ในรูปที่ 4.20 (a) แสดงให้เห็นว่าปริมาณก๊าซไนโตรเจนไดออกไซด์เพิ่มขึ้นจาก 0.1 - 5 ppm ทำให้เกิดอันตรกิริยาระหว่างผิวฟิล์มกับก๊าซไนโตรเจนไดออกไซด์เพิ่มมากขึ้นจากปริมาณก๊าซไนโตรเจนไดออกไซด์ที่เพิ่มขึ้น การตอบสนองต่อก๊าซไนโตรเจนไดออกไซด์ของฟิล์มบางทินออกไซด์และฟิล์มบางทินออกไซด์โครงสร้างแบบแท่ง มีค่าเพิ่มมากขึ้นเมื่อปริมาณก๊าซไนโตรเจนไดออกไซด์เพิ่มขึ้น และพบว่าฟิล์มบางทินออกไซด์โครงสร้างแบบแท่งสามารถตรวจวัดก๊าซไนโตรเจนไดออกไซด์ที่ปริมาณต่ำ 0.1 ppm ที่อุณหภูมิสำหรับการตรวจวัดที่อุณหภูมิ 150°C นอกจากนั้น ความไวในการตอบสนองต่อก๊าซไนโตรเจนไดออกไซด์และช่วงเวลาคืนกลับการตอบสนองต่อก๊าซไนโตรเจนไดออกไซด์ มีแนวโน้มที่ดีขึ้นขึ้นกับลักษณะโครงสร้างแบบแท่งและการอบฟิล์ม ดังแสดงในรูปที่ 4.20(b)-(c) โดยการตอบสนองต่อก๊าซไนโตรเจนไดออกไซด์ของฟิล์มบางทินออกไซด์โครงสร้างแบบแท่งที่ปริมาณก๊าซไนโตรเจนไดออกไซด์ 5 ppm อบฟิล์มที่อุณหภูมิ 400°C มีค่าความไวในการตอบสนองต่อก๊าซไนโตรเจนไดออกไซด์ประมาณ 5.9 นาที และมีค่าช่วงเวลาคืนกลับการตอบสนองต่อก๊าซไนโตรเจนไดออกไซด์ประมาณ 2.6 นาที





รูปที่ 4.20 (a) แผนภาพการตอบสนองต่อก๊าซไนโตรเจนไดออกไซด์ที่ปริมาณ 0.1 – 5 ppm ของฟิล์มบางทินออกไซด์และฟิล์มบางทินออกไซด์โครงสร้างแบบแท่งที่อุณหภูมิ 150°C (b) แผนภาพความไวในการตอบสนองต่อก๊าซไนโตรเจนไดออกไซด์ของฟิล์มบางทินออกไซด์และฟิล์มบางทินออกไซด์โครงสร้างแบบแท่งที่อุณหภูมิ 150°C (c) แผนภาพช่วงเวลาค้นกลับการตอบสนองต่อก๊าซไนโตรเจนไดออกไซด์ของฟิล์มบางทินออกไซด์และฟิล์มบางทินออกไซด์โครงสร้างแบบแท่งที่อุณหภูมิ 150°C

## บทที่ 5

### สรุปผลการวิจัย

งานวิจัยนี้ได้ทำการศึกษาฟิล์มบางทั้งสแตนไดรออกไซด์และฟิล์มบางทินออกไซด์โดยการเตรียมด้วยวิธีรีแอคทีฟแมกนีตรอนสปัตเตอริงร่วมกับเทคนิคการเคลือบมุมต่ำ โดยทำการวิเคราะห์สมบัติทางกายภาพและสมบัติการตรวจวัดก๊าซ

#### 5.1 สรุปผลการศึกษาสมบัติทางกายภาพและสมบัติการตรวจวัดก๊าซของทั้งสแตนไดรออกไซด์ โครงสร้างระดับนาโนด้วยเทคนิคการเคลือบมุมต่ำโดยวิธีการเคลือบแบบรีแอคทีฟแมกนีตรอนสปัตเตอริง

โครงสร้างผลึกของฟิล์มบางทั้งสแตนไดรออกไซด์ที่มุมการเคลือบ  $0^\circ$ ,  $45^\circ$ ,  $60^\circ$ ,  $70^\circ$  และ  $85^\circ$  พบว่าโครงสร้างผลึกของฟิล์มบางทั้งสแตนไดรออกไซด์แสดงโครงสร้างอัญฐานทุกมุมของการเคลือบ เนื่องจากพลังงานในการเคลือบมีค่าต่ำ เมื่ออบฟิล์มบางทั้งสแตนไดรออกไซด์ ด้วยอุณหภูมิ  $300^\circ\text{C}$  พบว่าฟิล์มบางทั้งสแตนไดรออกไซด์ มีการจัดเรียงตัวโครงสร้างผลึกเกิดขึ้น เนื่องจากผลของการอบฟิล์มเป็นการให้พลังงานกับฟิล์มบางทั้งสแตนไดรออกไซด์ทำให้ฟิล์มบางทั้งสแตนไดรออกไซด์มีการจัดเรียงตัวเป็นโครงสร้างผลึกได้ และพบว่าฟิล์มบางทั้งสแตนไดรออกไซด์ที่เตรียมที่มุมการเคลือบ  $0^\circ$ ,  $45^\circ$ ,  $60^\circ$ ,  $70^\circ$  และ  $85^\circ$  มีลักษณะผิวเป็นโครงสร้างผลึกรูปแท่งเพิ่มมากขึ้นที่มุมการเคลือบเพิ่มขึ้นจาก  $0^\circ$  ถึง  $85^\circ$  โดยแสดงลักษณะผิวเป็นโครงสร้างผลึกรูปแท่งที่ดีที่มุมการเคลือบ  $85^\circ$

ผลการตรวจวัดก๊าซเอทานอล (Ethanol) ของฟิล์มบางทั้งสแตนไดรออกไซด์จะทำการศึกษาฟิล์มบางทั้งสแตนไดรออกไซด์ที่เตรียมที่มุมการเคลือบ  $0^\circ$ ,  $45^\circ$ ,  $60^\circ$ ,  $70^\circ$  และ  $85^\circ$  โดยจะทำการวัดในเทอมความต้านทานและความไวในการตรวจวัด ที่อุณหภูมิสำหรับการตรวจวัด  $200^\circ\text{C}$  และอัตราการไหลของก๊าซเอทานอล  $0.1 - 5$  ppm พบว่าความต้านทานของฟิล์มบางทั้งสแตนไดรออกไซด์เพิ่มขึ้นเมื่ออยู่ในสภาวะของก๊าซเอทานอลซึ่งเป็นก๊าซรีดิวซ์ แสดงให้เห็นว่าฟิล์มบางทั้งสแตนไดรออกไซด์มีคุณสมบัติของสารกึ่งตัวนำชนิดพี และความไวในการตรวจวัดก๊าซเอทานอลจะมีค่าเพิ่มขึ้นที่มุมการเคลือบเพิ่มขึ้นจาก  $0^\circ$  ถึง  $85^\circ$  เนื่องจากลักษณะพื้นผิวของฟิล์มบางทั้งสแตนไดรออกไซด์มีลักษณะเป็นโครงสร้างผลึกรูปแท่งเพิ่มมากขึ้นที่มุมการเคลือบเพิ่มขึ้น ทำให้ฟิล์มบางทั้งสแตนไดรออกไซด์มีอัตราส่วนระหว่างพื้นผิวต่อปริมาตรเพิ่มมากขึ้น ซึ่งทำให้เกิดอันตรกิริยา

ระหว่างผิวฟิล์มกับก๊าซมากขึ้นเช่นกัน และพบว่าความไวในการตรวจวัดก๊าซเอทานอลมีค่าเพิ่มมากขึ้นเมื่อปริมาณก๊าซเอทานอลเพิ่มขึ้น

## 5.2 สรุปผลการศึกษาศสมบัติทางกายภาพและสมบัติการตรวจวัดก๊าซของทินออกไซด์โครงสร้างระดับนาโนด้วยด้วยเทคนิคการเคลือบมุมต่ำโดยวิธีการเคลือบแบบรีแอคทีฟแมกนีตรอนสปีดเตอริง

โครงสร้างผลึกของฟิล์มบางทินออกไซด์ที่เตรียมด้วยวิธีการเคลือบแบบรีแอคทีฟแมกนีตรอนสปีดเตอริง และเทคนิคการเคลือบมุมต่ำโดยวิธีการเคลือบแบบรีแอคทีฟแมกนีตรอนสปีดเตอริง และเทคนิคการเคลือบมุมต่ำโดยวิธีการเคลือบแบบรีแอคทีฟแมกนีตรอนสปีดเตอริง และเทคนิคการเคลือบมุมต่ำโดยวิธีการเคลือบแบบรีแอคทีฟแมกนีตรอนสปีดเตอริง และพบว่ามีค่าเพิ่มมากขึ้นเมื่อทำการอบฟิล์มบางทินออกไซด์ ที่อุณหภูมิ 300°C และ 400°C พบว่าฟิล์มบางทินออกไซด์แสดงโครงสร้างผลึกของทินออกไซด์ เฟส tetragonal ที่พีค 26.72°, 34.03° และ 51.91° ทั้งวิธีการเคลือบแบบรีแอคทีฟแมกนีตรอนสปีดเตอริง และเทคนิคการเคลือบมุมต่ำโดยวิธีการเคลือบแบบรีแอคทีฟแมกนีตรอนสปีดเตอริง และมีความเป็นโครงสร้างมากขึ้นเมื่อทำการอบฟิล์มบางทินออกไซด์ ที่อุณหภูมิ 300°C และ 400°C เนื่องจากผลของการอบฟิล์มเป็นการให้พลังงานกับฟิล์มบางทินออกไซด์ทำให้ฟิล์มบางทินออกไซด์มีการจัดเรียงตัวเป็นโครงสร้างผลึกได้ดียิ่งขึ้น และพบว่าฟิล์มบางทินออกไซด์แสดงโครงสร้างผลึกประเภทเมื่อเคลือบฟิล์มด้วยเทคนิคการเคลือบมุมต่ำโดยวิธีการเคลือบแบบรีแอคทีฟแมกนีตรอนสปีดเตอริง

การศึกษากการตอบสนองต่อก๊าซไนโตรเจนไดออกไซด์เป็นการวัดการเปลี่ยนแปลงกระแสไฟฟ้าของเซนเซอร์ หรือกล่าวอีกอย่างหนึ่งก็คือหัววัดก๊าซมีความต้านทานไฟฟ้าเปลี่ยนแปลงเมื่อมีก๊าซไนโตรเจนไดออกไซด์มาแลกเปลี่ยนไอออนหรือมาดูดซับที่ผิวของฟิล์มบางทินออกไซด์และฟิล์มบางทินออกไซด์โครงสร้างแบบแท่ง ซึ่งจะเห็นได้ว่าฟิล์มบางทินออกไซด์โครงสร้างแบบแท่งจะตอบสนองต่อก๊าซไนโตรเจนไดออกไซด์ได้ดีกว่าฟิล์มบางทินออกไซด์ และพบว่าความต้านทานของฟิล์มบางทินออกไซด์และฟิล์มบางทินออกไซด์โครงสร้างแบบแท่งเพิ่มขึ้นเมื่ออยู่ในสถานะของก๊าซไนโตรเจนไดออกไซด์ซึ่งเป็นก๊าซออกซิไดซ์ แสดงให้เห็นว่าฟิล์มบางทินออกไซด์และฟิล์มบางทินออกไซด์โครงสร้างแบบแท่งมีคุณสมบัติของสารกึ่งตัวนำชนิดเอ็น และการตอบสนองต่อก๊าซไนโตรเจนไดออกไซด์ของฟิล์มบางทินออกไซด์โครงสร้างแบบแท่งมีค่าการตอบสนองต่อก๊าซไนโตรเจนไดออกไซด์สูงกว่าฟิล์มบางทินออกไซด์ เนื่องจากฟิล์มบางทินออกไซด์โครงสร้างแบบแท่งมีขนาดพื้นที่ผิวต่อปริมาตรสูงจึงทำให้เกิดอันตรกิริยาดูดซับที่ผิวต่อก๊าซไนโตรเจนไดออกไซด์ของฟิล์มบางทินออกไซด์โครงสร้างแบบแท่งได้ดีกว่าฟิล์มบางทินออกไซด์ และการตอบสนองต่อก๊าซไนโตรเจนไดออกไซด์ของฟิล์มบางทินออกไซด์และฟิล์มบางทินออกไซด์โครงสร้างแบบแท่งจะมีค่าเพิ่มขึ้นสูงสุดที่อุณหภูมิ 150°C และถ้าเพิ่มอุณหภูมิขึ้นอีกการตอบสนองต่อก๊าซไนโตรเจนไดออกไซด์ของฟิล์มบางทินออกไซด์และฟิล์มบางทินออกไซด์โครงสร้างแบบแท่งจะลดลง เป็นผลมาจากอันตรกิริยาดูดซับ

ที่ผิวของฟิล์มบางทินออกไซด์และฟิล์มบางทินออกไซด์โครงสร้างแบบแท่ง ที่อุณหภูมิการตรวจวัดต่ำจนถึงอุณหภูมิ 150°C ออกซิเจนในบรรยากาศมีการไอออไนเซชันเป็นไอออน ( $O^-$  และ  $O^{2-}$ ) ได้น้อย ทำให้ก๊าซไนโตรเจนไดออกไซด์มีการดูดซับที่ผิวของฟิล์มบางทินออกไซด์และฟิล์มบางทินออกไซด์โครงสร้างแบบแท่งได้มาก ทำให้ฟิล์มบางทินออกไซด์และฟิล์มบางทินออกไซด์โครงสร้างแบบแท่งมีการตอบสนองต่อก๊าซไนโตรเจนไดออกไซด์ได้สูง และเมื่อเพิ่มอุณหภูมิเกิน 150°C ออกซิเจนในบรรยากาศมีการไอออไนเซชันเป็นไอออนได้มากขึ้น ทำให้ออกซิเจนไอออนดูดซับที่ผิวของฟิล์มบางทินออกไซด์และฟิล์มบางทินออกไซด์โครงสร้างแบบแท่งได้มากขึ้น และก๊าซไนโตรเจนไดออกไซด์มีการดูดซับที่ผิวของฟิล์มบางทินออกไซด์และฟิล์มบางทินออกไซด์โครงสร้างแบบแท่งได้น้อยลง ทำให้ฟิล์มบางทินออกไซด์และฟิล์มบางทินออกไซด์โครงสร้างแบบแท่งมีการตอบสนองต่อก๊าซไนโตรเจนไดออกไซด์ได้ลดลงตามไปด้วย

การตอบสนองต่อก๊าซไนโตรเจนไดออกไซด์ของฟิล์มบางทินออกไซด์และฟิล์มบางทินออกไซด์โครงสร้างแบบแท่ง มีค่าเพิ่มมากขึ้นเมื่อปริมาณก๊าซไนโตรเจนไดออกไซด์เพิ่มขึ้น จาก 0.1 - 5 ppm เนื่องจากปริมาณก๊าซไนโตรเจนไดออกไซด์ที่เพิ่มขึ้นทำให้เกิดอันตรกิริยาระหว่างผิวฟิล์มกับก๊าซไนโตรเจนไดออกไซด์ได้มากขึ้น และฟิล์มบางทินออกไซด์โครงสร้างแบบแท่งสามารถตรวจวัดก๊าซไนโตรเจนไดออกไซด์ที่ปริมาณต่ำ 0.1 ppm ที่อุณหภูมิสำหรับการตรวจวัดที่อุณหภูมิ 150°C นอกจากนี้ ความไวในการตอบสนองต่อก๊าซไนโตรเจนไดออกไซด์และช่วงเวลาดีการตอบสนองต่อก๊าซไนโตรเจนไดออกไซด์ มีแนวโน้มที่ดีขึ้นขึ้นกับลักษณะโครงสร้างแบบแท่งและการอบฟิล์ม โดยการตอบสนองต่อก๊าซไนโตรเจนไดออกไซด์ของฟิล์มบางทินออกไซด์โครงสร้างแบบแท่งที่ปริมาณก๊าซไนโตรเจนไดออกไซด์ 5 ppm อบฟิล์มที่อุณหภูมิ 400°C มีค่าความไวในการตอบสนองต่อก๊าซไนโตรเจนไดออกไซด์ประมาณ 5.9 นาที และมีค่าช่วงเวลาดีการตอบสนองต่อก๊าซไนโตรเจนไดออกไซด์ประมาณ 2.6 นาที

## บรรณานุกรม

- Sberveglieri, G., 1992, **Gas Sensors Principle, Operation and Delvelopment**, Kluwer Academic Publishers, Boston, pp. 1-409.
- Winefordner, J.D., 1993, **Physics, Chemistry and Technology of Solid State Gas Sensor Devices**, John Wiley & Sons , New York, pp. 5-125.
- Hussain, O.M., Rao, K.S., 2003, “Characterization of activated reactive evaporated MoO<sub>3</sub> thin films for gas sensor applications”, **Materials Chemistry and Physics**, Vol. 80, pp. 638– 646.
- Sunu, S.S., Prabhu, E., Jayaraman, V., Gnanasekar, K.I., Seshagiri, T.K., Gnanasekaran, T., 2004, “Electrical conductivity and gas sensing properties of MoO<sub>3</sub>”, **Sensors and Actuators B**, Vol. 101, pp. 161–174.
- Barazzouk, S., Tandon, R.P., Hotchandani, S., 2006, “MoO<sub>3</sub>-based sensor for NO, NO<sub>2</sub> and CH<sub>4</sub> detection”, **Sensors and Actuators B**, Vol. 119, pp. 691–694.
- Ramana , C.V., Julien, C.M., 2006, “Chemical and electrochemical properties of molybdenum oxide thin films prepared by reactive pulsed-laser assisted deposition”, **Chemical Physics Letters**, Vol. 428, pp. 114–118.
- Ganguly, A., George, R., 2007, “Synthesis, characterization and gas sensitivity of MoO<sub>3</sub> nanoparticles”, **Bulletin of Material Science**, Vol. 30, No. 2, pp. 183–185.
- Ozturk, S., Kilinc, N., Tasaltin, N., Ozturk, Z.Z., 2011, “Acomparative study on the NO<sub>2</sub> gas sensing properties of ZnO thin films, nanowires And nanorods”, **Thin Solid Films**.
- Xiaoyan,Z., Jianpeng, L., Ming, M., Qingzhong, X., 2011, “ Effect of ethanol gas on the electrical properties of ZnO nanorods”, **Physica E**, Vol. 43, pp. 1056-1060.

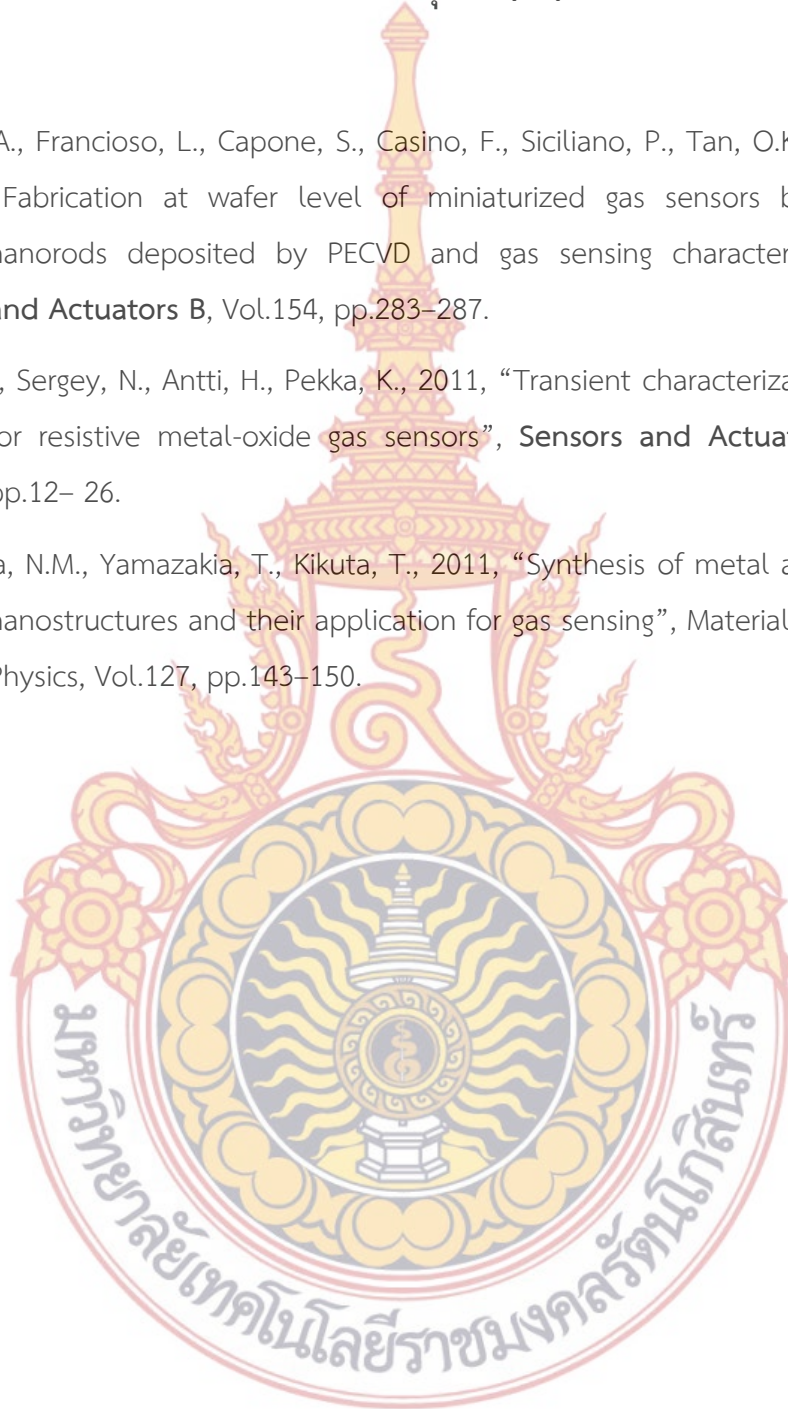


## บรรณานุกรม (ต่อ)

- Shouli, B., Xin, L., Dianqing, L., Song, C., Ruixian, L., Aifan, C., 2011, "Synthesis of ZnO nanorod and its application in NO<sub>2</sub> sensors", **Sensors and Actuators B**, Vol. 153, pp. 110-116.
- M. Horprathuma, K. Limwicheana, A. Wisitsoraatb, P. Eiamchaia, K. Aiempnanakitc, P. Limnonthakuld, N. Nuntawonga, V. Pattantsetakula, A. Tuantranontb, P. Chindaudoma, 2013, "NO<sub>2</sub>-sensing properties of WO<sub>3</sub> nanorods prepared by glancing angle DC magnetron sputtering", **Sensors and Actuators B**, Vol. 176, pp. 685-691.
- Yanbai S., Baoqing Z., Xianmin C., Dezhou W., Jiawei M., Lijun J., Shuling G., Baoyu C., Yongcheng J., 2014, "Microstructure and enhanced H<sub>2</sub>S sensing properties of Pt-loaded WO<sub>3</sub> thin films", **Sensors and Actuators B**, Vol. 193, pp. 273-279.
- Bong, K.M., Soon, D.C., 2004, "SnO<sub>2</sub> thin film gas sensor fabricated by ion beam deposition", **Sensors and Actuators B**, Vol. 98, pp.239-246.
- Yong, S.C., 2001, "New gas sensing mechanism for SnO<sub>2</sub> thin films gas sensors fabricated by using ion beam sputtering", **Sensors and Actuators B**, Vol. 77, pp.200-208.
- Karthigeyan, A., Gupta, R.P., Burgmair, M., Sharma, S.K., Eisele, J., 2002, "Influence of oxidation temperature, film thickness and substrate on NO<sub>2</sub> sensing of SnO<sub>2</sub> ultra thin films", **Sensors and Actuators B**, Vol. 87, pp.321-330.
- Toshinari, Y., Hitosi, O., Cheng, J.J., Atsushi, N., Toshio, K., Noriyuki, N., 2005, "Effect of density and thickness on H<sub>2</sub>-gas sensing property of sputtered SnO<sub>2</sub> films", **Vacuum**, Vol. 77, pp.237-243.

## บรรณานุกรม (ต่อ)

- Forleo, A., Francioso, L., Capone, S., Casino, F., Siciliano, P., Tan, O.K., Hui, H., 2011, "Fabrication at wafer level of miniaturized gas sensors based on SnO<sub>2</sub> nanorods deposited by PECVD and gas sensing characteristics", **Sensors and Actuators B**, Vol.154, pp.283–287.
- Aapo, V., Sergey, N., Antti, H., Pekka, K., 2011, "Transient characterization techniques for resistive metal-oxide gas sensors", **Sensors and Actuators B**, Vol.159, pp.12– 26.
- Shaalana, N.M., Yamazakia, T., Kikuta, T., 2011, "Synthesis of metal and metal oxide nanostructures and their application for gas sensing", **Materials Chemistry and Physics**, Vol.127, pp.143–150.



## ประวัติผู้วิจัย

ชื่อผู้วิจัย	ดร.ไชยยันต์ โอรส
วัน เดือน ปีเกิด	14 มิถุนายน 2523
ประวัติการศึกษา	
ปริญญาตรี	มหาวิทยาลัยศิลปากร จังหวัดนครปฐม ประเทศไทย 2546
ปริญญาโท	มหาวิทยาลัยเทคโนโลยีพระจอมเกล้าธนบุรี กรุงเทพมหานคร ประเทศไทย 2549
ปริญญาเอก	มหาวิทยาลัยเทคโนโลยีพระจอมเกล้าธนบุรี กรุงเทพมหานคร ประเทศไทย 2554
การเผยแพร่ผลงานวิชาการ	<ol style="list-style-type: none"><li>1. <u>C. Oros</u>, A. Wisitsoraat, P. Limsuwan<sup>1</sup>, M. Horpathum, V. Patthanasettakul and A. Tuantranont, 2008, “Gas-sensing Property Evaluation of Reactively Sputtered Chromium Oxide Thin Films”, <i>Advanced Materials Research</i>, Vols.55-57, pp. 285-288.</li><li>2. <u>C. Oros</u>, A. Wisitsoraat, D. Phokharatkul, P. Limsuwan, and A. Tuantranont, 2011 “Carbon Nanotubes Dispersed Molybdenum Oxide Nanocomposite Thin Film Gas Sensor Prepared by Electron Beam Evaporation”, <i>Sensor Letters</i>, Vol. 9, pp. 348-352.</li><li>3. <u>C. Oros</u>, A. Wisitsoraat, D. Phokharatkul, P. Limsuwan and A. Tuantranont, 2011, “Fabrication and Gas-Sensing Characterization of Molybdenum Oxide Nanostructure by Reactive RF Sputtering”, <i>Advanced Materials Research</i>, Vol. 213, pp. 98-102.</li><li>4. <u>C. Oros</u>, A. Wisitsoraat, M. Horpathum, 2013” Fabrication and Characterization of Tin Oxide nanorods prepared by glancing angle DC reactive magnetron sputtering”, <i>Advanced Materials Research</i>, Vol. 770, pp. 189-192.</li><li>5. M. Horprathum, T. Srichaiyaperk, B. Samransuksamer, A. Wisitsoraat, P. Eiamchai, S. Limwichean, C. Chananonwathorn, K. Aiempanakit, N. Nuntawong, V. Patthanasettakul, <u>C. Oros</u>, S. Porntheeraphat, P. Songsiritthigul, H. Nakajima, A. Tuantranont,</li></ol>

and P. Chindaudom, 2014, "Ultrasensitive Hydrogen Sensor Based on Pt-Decorated WO<sub>3</sub> Nanorods Prepared by Glancing-Angle dc Magnetron Sputtering", ACS Appl. Mater. Interfaces, Vol.6, pp. 22051-22060



ชื่อผู้ร่วมวิจัย	ดร.มติ ห่อปทุม
ประวัติการศึกษา	
ปริญญาตรี	B.S. in Physics, Srinakarinwirot University, Thailand, 2003
ปริญญาโท	M.S. in Physics, King Monkut's University of Technology Thonburi, Thailand, 2006
ปริญญาเอก	Ph.D. in Physics, King Monkut's University of Technology Thonburi, Thailand (Candidate)
สาขาวิชาการที่มีความชำนาญพิเศษ	Special experience in thin film technology, sputtering, ion assisted deposition and e-beam evaporation. Research experience both in super-hydrophilic and optoelectronic thin film coating with sputtering and ion assisted e-beam evaporator and in optical measurements using spectroscopic ellipsometry and photometry. Interested research in photocatalytic, surface enhance Raman spectroscopy (SERS), optoelectronic thin films, vacuum design and thin film characterization

